

Izveštaj sa laboratorijske vežbe

Dvanaestoimpulsni ispravljajč

sample

4. juni 2013
12:18

Sadržaj

1	Prazan hod, $I_{OUT} = 0$	2
2	Analiza za $I_{OUT} = 0.7 \text{ A}$	6
3	Analiza za $I_{OUT} = 1 \text{ A}$	21
4	Analiza za $I_{OUT} = 1.5 \text{ A}$	36
5	Analiza za $I_{OUT} = 2 \text{ A}$	51
6	Zavisnosti od I_{OUT}	66
6.1	Efektivne vrednosti napona	67
6.2	Efektivne vrednosti struja	69
6.3	Izobličenja napona	72
6.4	Izobličenja struja	74
6.5	Aktivne snage	77
6.6	Prividne snage	80
6.7	Faktori snage	83
6.8	Displacement Power Factors	86
6.9	Izlaz ispravljajča	89
6.10	Rezultati obrade	90
6.11	Tevenenovi ekvivalenti na izlazu	92

1 Prazan hod, $I_{OUT} = 0$

Tabela 1: No load, input

phase	1	2	3
V_{kRMS} [V]	14.77	14.66	14.68
I_{kRMS} [A]	0.76	0.63	1.02
P_k [W]	-2.87	3.50	2.75
S_k [VA]	11.20	9.24	14.96

$$P_{IN,open} = 3.37 \text{ W}$$

Tabela 2: No load, transformer A

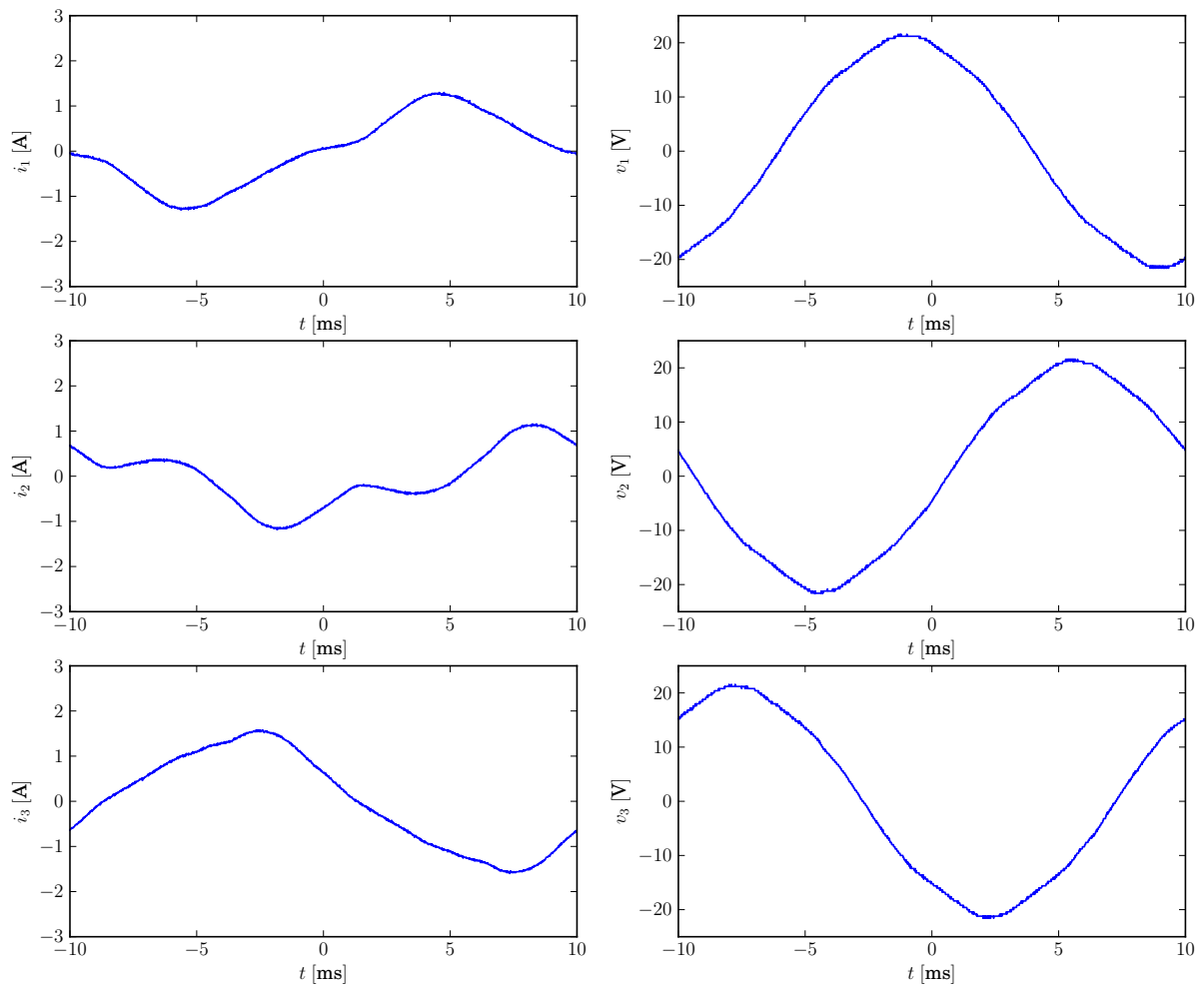
phase	1	2	3
V_{kRMS} [V]	14.79	14.64	14.69
I_{TAkRMS} [A]	0.31	0.45	0.59
P_{TAk} [W]	-1.59	3.39	0.05
S_{TAk} [VA]	4.63	6.63	8.63

$$P_{TA,open} = 1.85 \text{ W}$$

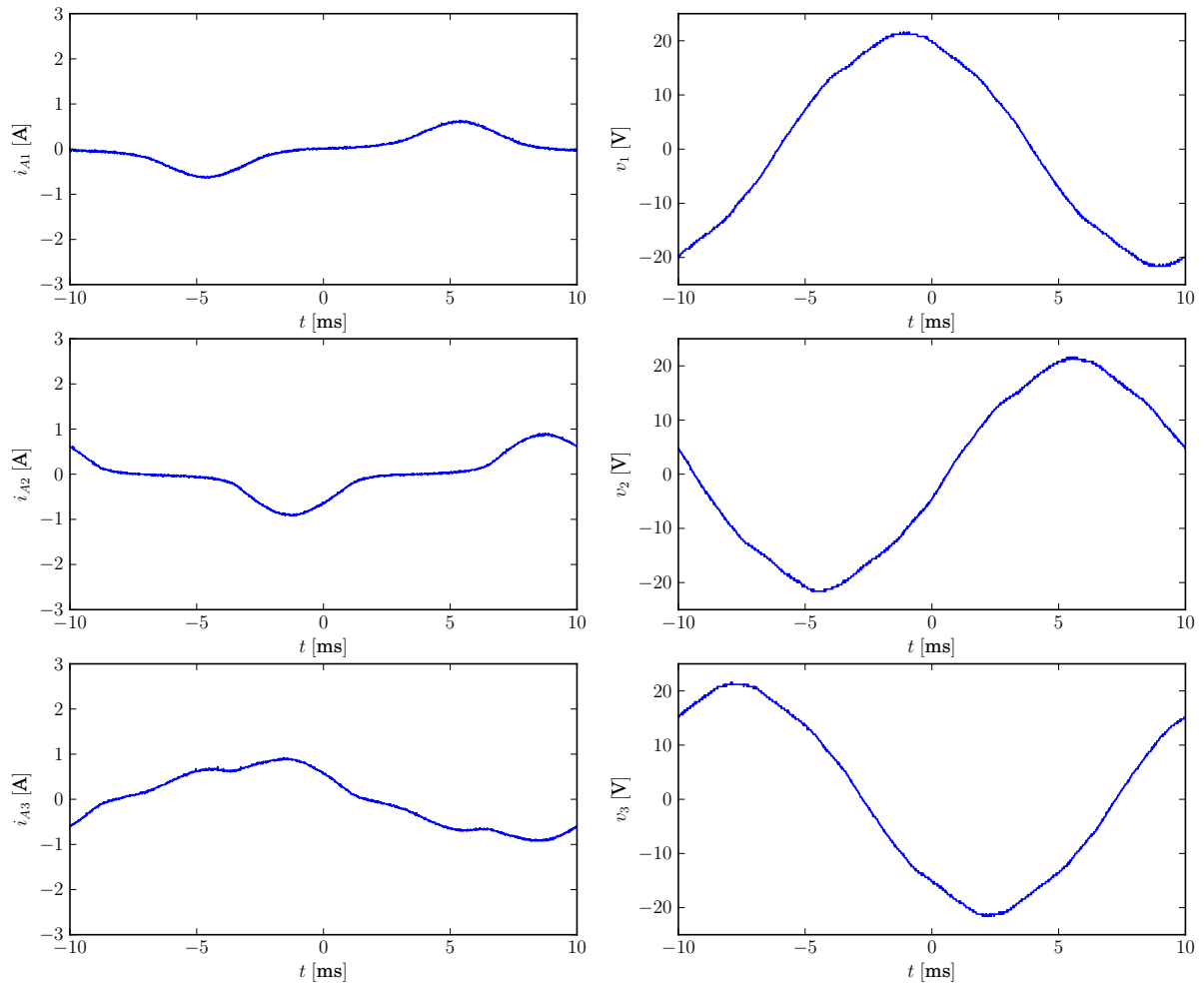
Tabela 3: No load, transformer B

phase	1	2	3
V_{kRMS} [V]	14.81	14.65	14.66
I_{TBkRMS} [A]	0.49	0.26	0.47
P_{TBk} [W]	-1.51	0.21	2.84
S_{TBk} [VA]	7.29	3.76	6.94

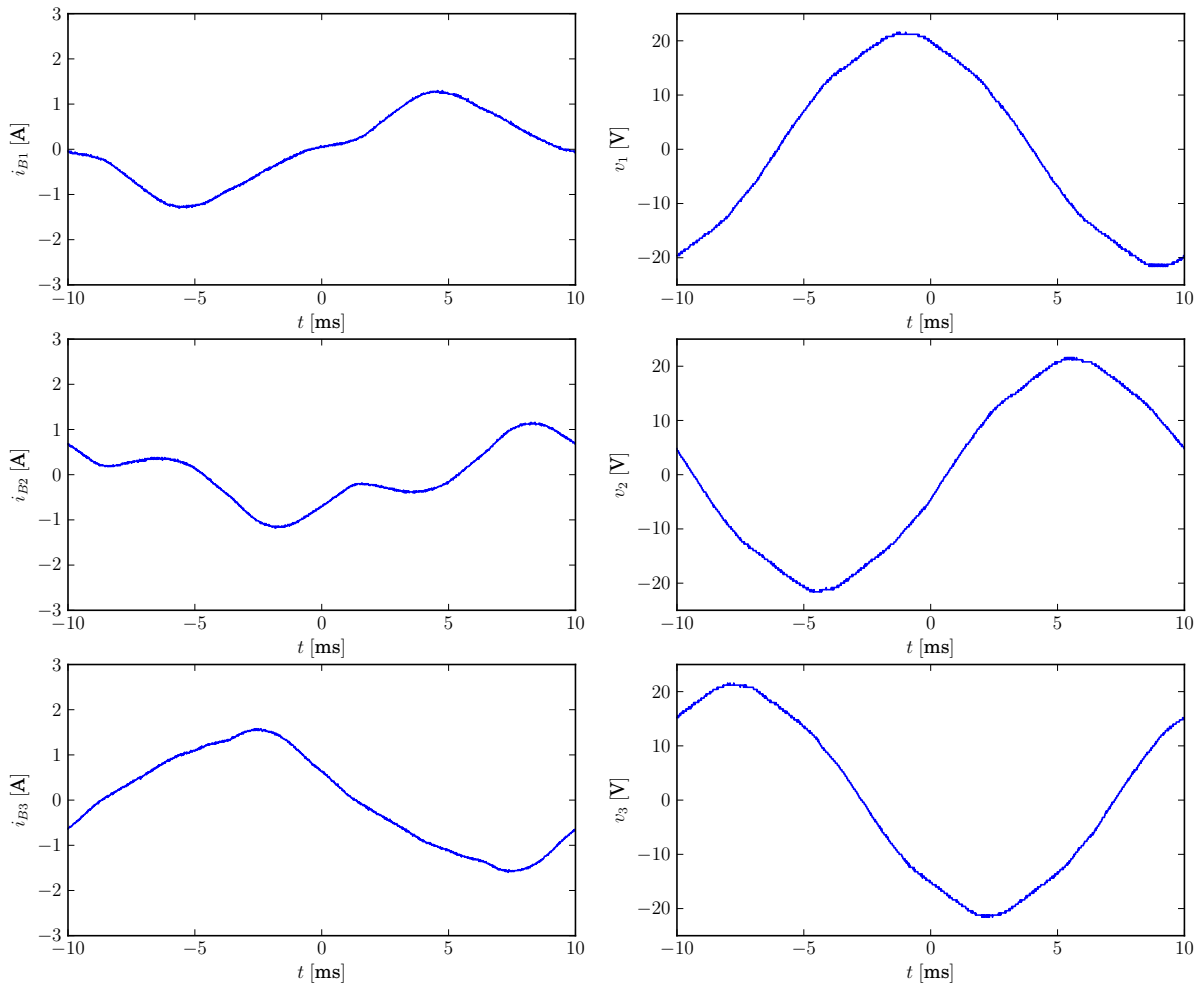
$$P_{TB,open} = 1.54 \text{ W}$$



Slika 1: Input waveforms, no load.

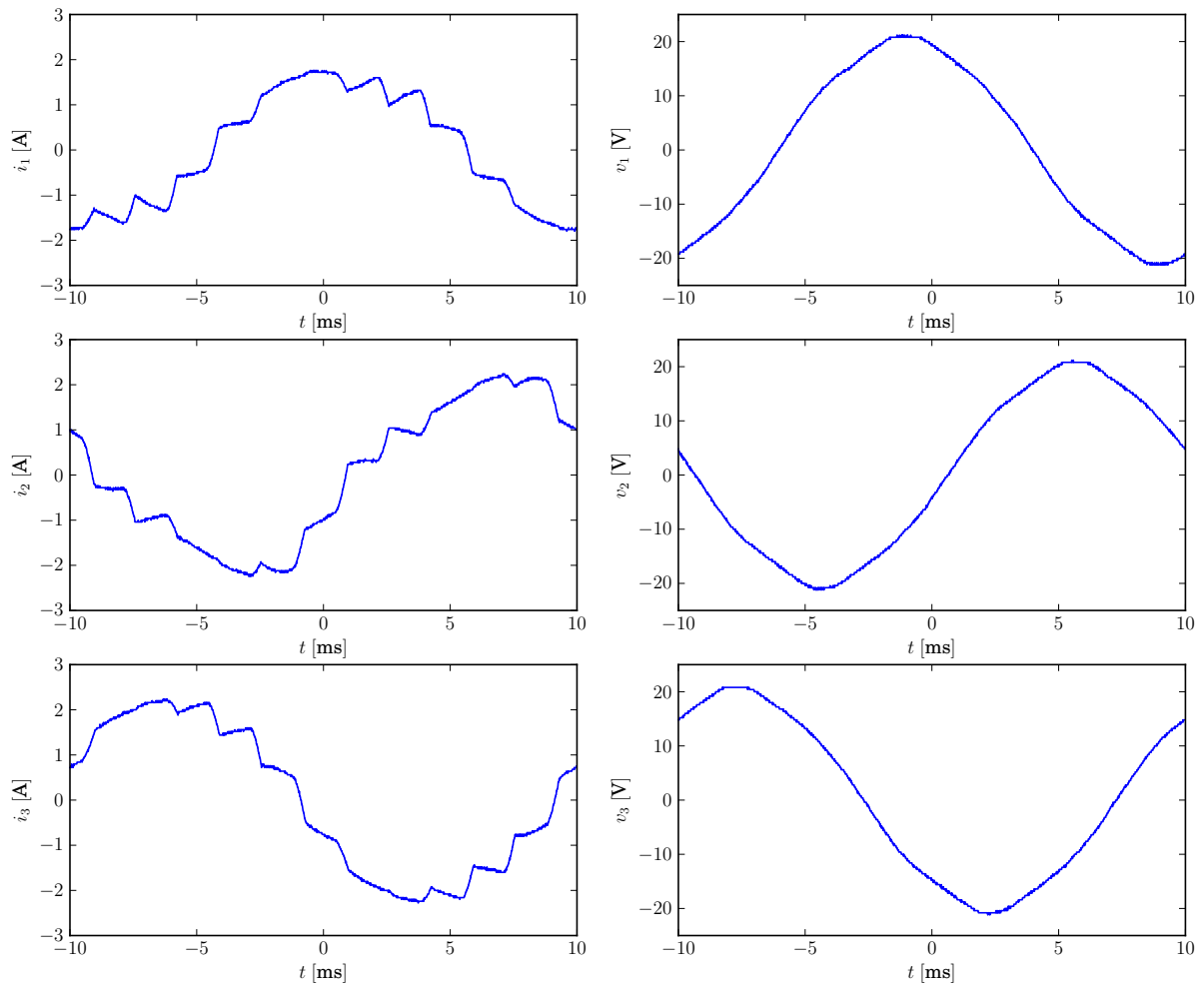


Slika 2: Transformer A waveforms, no load.



Slika 3: Transformer B waveforms, no load.

2 Analiza za $I_{OUT} = 0.7 \text{ A}$



Slika 4: Input waveforms, $I_{OUT} = 0.7 \text{ A}$.

Tabela 4: $I_{OUT} = 0.7 \text{ A}$, input

phase	1	2	3
V_{kRMS} [V]	14.51	14.34	14.34
$THD(v_k)$ [%]	3.10	3.15	3.09
I_{kRMS} [A]	1.24	1.49	1.59
$THD(i_k)$ [%]	15.34	16.98	10.73
P_k [W]	15.61	20.06	19.44
S_k [VA]	17.98	21.30	22.82
PF_k	0.8685	0.9421	0.8519
DPF_k	0.8783	0.9553	0.8575

Tabela 5: $I_{OUT} = 0.7$ A, transformer A

phase	1	2	3
V_{kRMS} [V]	14.51	14.34	14.34
$THD(v_k)$ [%]	3.00	2.95	3.36
I_{TAkRMS} [A]	0.60	0.86	0.77
$THD(i_{TAk})$ [%]	30.75	27.62	21.92
P_{TAk} [W]	7.82	11.24	8.69
S_{TAk} [VA]	8.75	12.33	11.11
PF_{TAk}	0.8934	0.9121	0.7820
DPF_{TAk}	0.9313	0.9434	0.7972

Tabela 6: $I_{OUT} = 0.7$ A, transformer B

phase	1	2	3
V_{kRMS} [V]	14.47	14.39	14.36
$THD(v_k)$ [%]	3.17	3.22	3.17
I_{TBkRMS} [A]	0.67	0.68	0.85
$THD(i_{TBk})$ [%]	26.68	33.19	23.03
P_{TBk} [W]	7.66	8.92	10.78
S_{TBk} [VA]	9.75	9.78	12.20
PF_{TBk}	0.7853	0.9118	0.8836
DPF_{TBk}	0.8156	0.9648	0.9104

Tabela 7: $I_{OUT} = 0.7$ A, rectifier A

phase	1	2	3
V_{AkRMS} [V]	13.80	13.80	13.70
$THD(v_{Ak})$ [%]	3.29	3.73	3.86
I_{RAkRMS} [A]	0.61	0.61	0.61
$THD(i_{RAk})$ [%]	27.40	27.81	28.54
P_{RAk} [W]	8.10	8.07	7.98
S_{RAk} [VA]	8.41	8.41	8.32
PF_{RAk}	0.9632	0.9597	0.9600
DPF_{RAk}	0.9995	0.9993	0.9983

Tabela 8: $I_{OUT} = 0.7$ A, rectifier B

phase	1	2	3
V_{BkRMS} [V]	14.13	13.90	13.84
$THD(v_{Bk})$ [%]	4.47	5.07	4.89
I_{RBkRMS} [A]	0.61	0.61	0.61
$THD(i_{RBk})$ [%]	27.56	27.82	28.25
P_{RBk} [W]	8.24	8.02	7.98
S_{RBk} [VA]	8.64	8.42	8.39
PF_{RBk}	0.9536	0.9517	0.9510
DPF_{RBk}	0.9987	0.9994	0.9987

Tabela 9: $I_{OUT} = 0.7$ A, output

output	rectifier A	rectifier B	complete output
I_{OUT} [A]	0.76	0.76	0.75
V_{OUT} [V]	32.28	32.67	63.04
P_{OUT} [W]	24.52	24.39	47.11

Snage:

1. $P_{IN} = 55.12 \text{ W}$
2. $P_{TA} = 27.75 \text{ W}$
3. $P_{TB} = 27.35 \text{ W}$
4. $P_{RA} = 24.15 \text{ W}$
5. $P_{RB} = 24.24 \text{ W}$
6. $P_{OUTA} = 24.52 \text{ W}$
7. $P_{OUTB} = 24.39 \text{ W}$
8. $P_{OUT} = 47.11 \text{ W}$

Gubici:

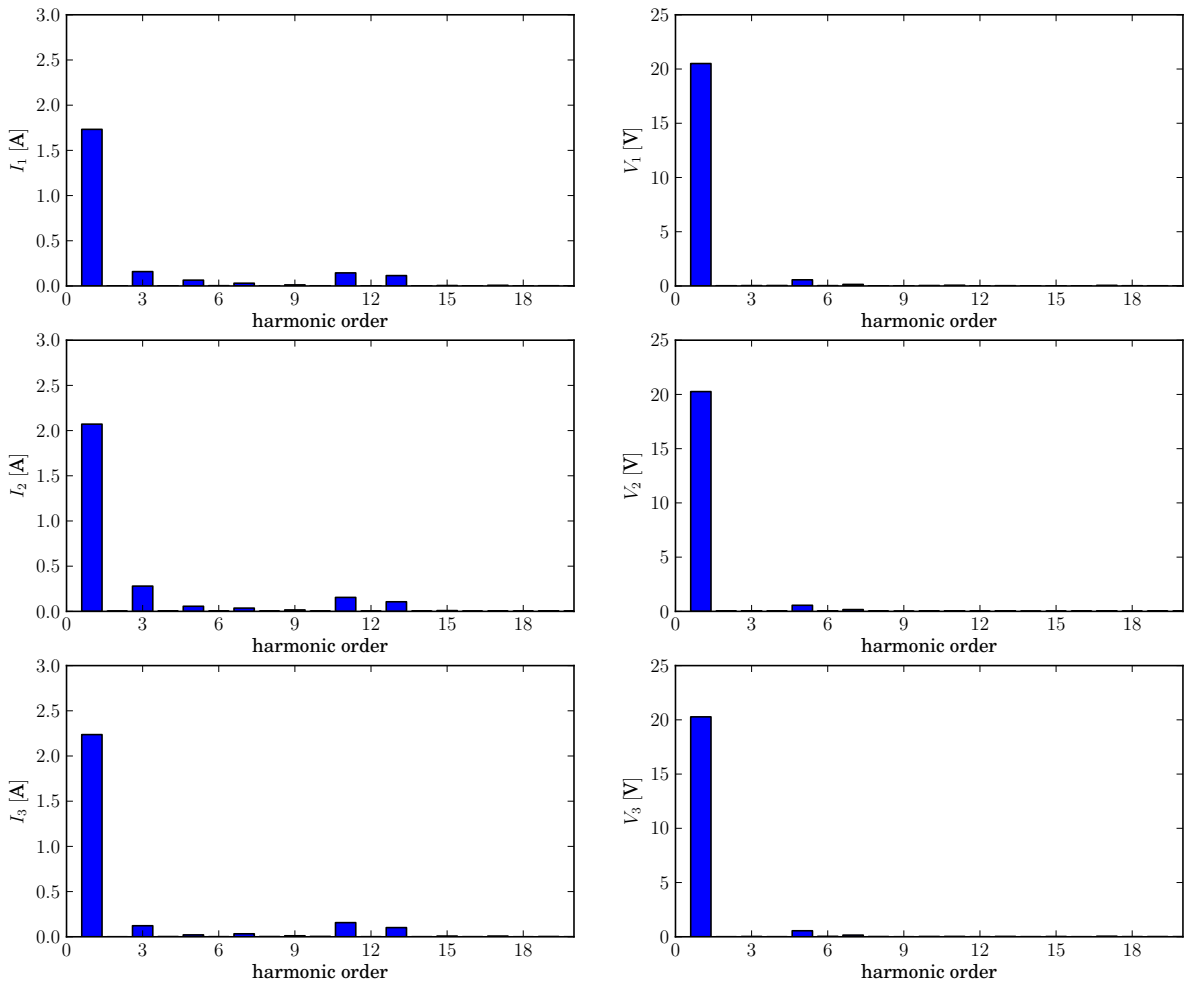
1. $P_{lossTA} = 3.60 \text{ W}$
2. $P_{lossTB} = 3.11 \text{ W}$
3. $P_{lossRA} = -0.37 \text{ W}$
4. $P_{lossRB} = -0.15 \text{ W}$
5. $P_{loss} = P_{IN} - P_{OUT} = 8.01 \text{ W}$

Koeficijenti korisnog dejstva:

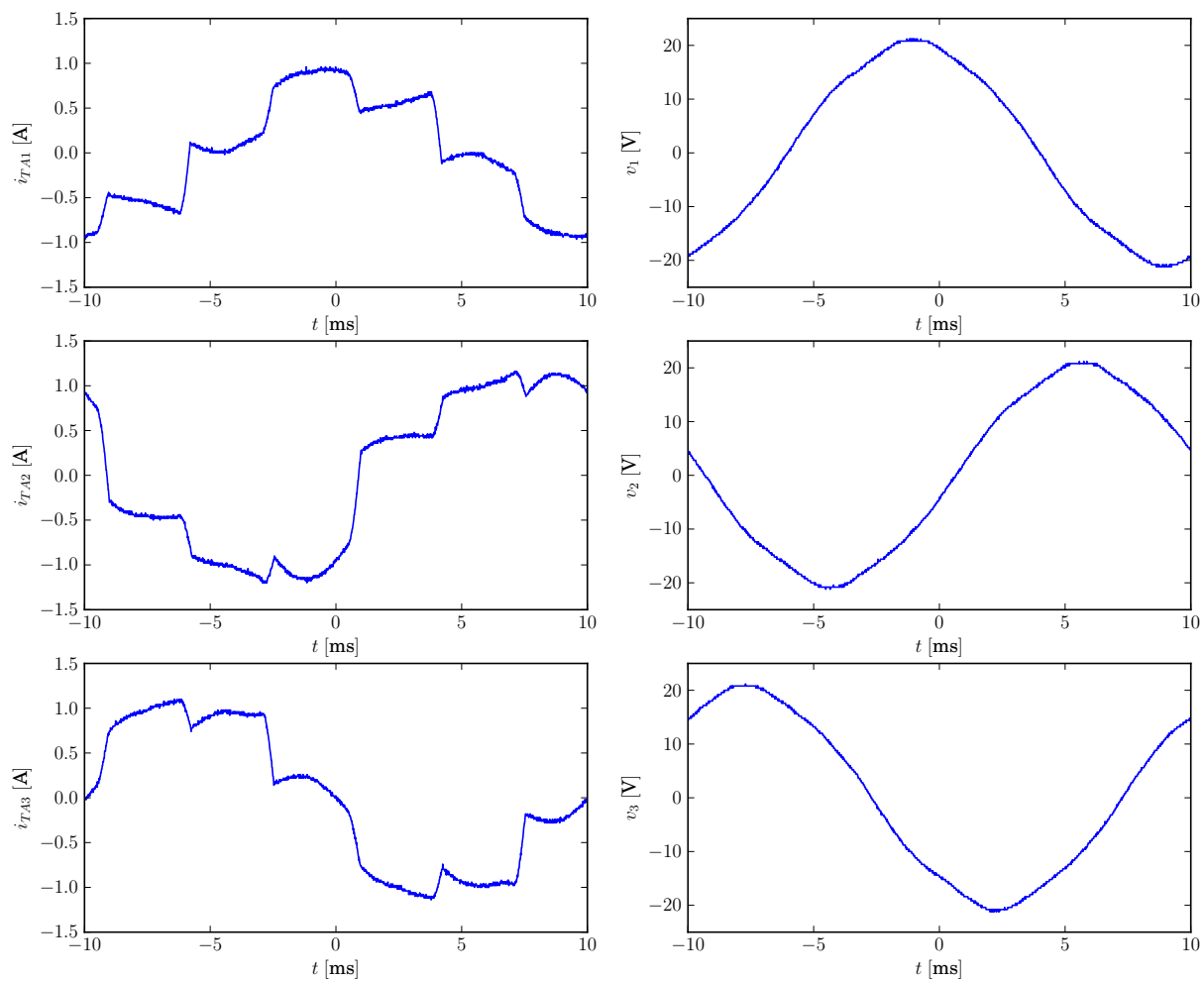
1. $\eta_{TA} = 87.03\%$
2. $\eta_{TB} = 88.62\%$
3. $\eta_{RA} = 101.52\%$
4. $\eta_{RB} = 100.62\%$
5. $\eta = 85.47\%$

Nekonzistentnosti u snagama:

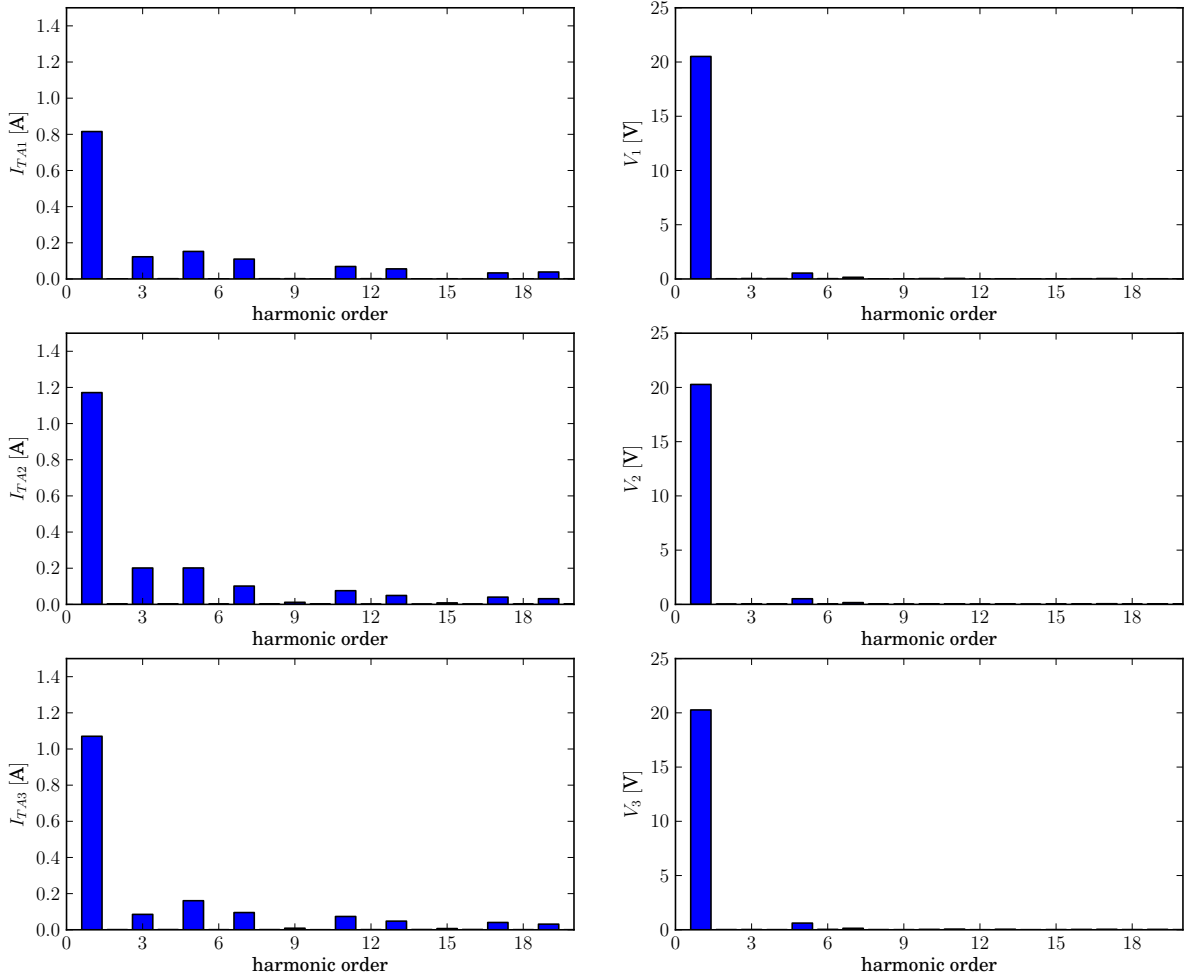
1. $\Delta P_{IN} = P_{IN} - P_{TA} - P_{TB} = 0.01 \text{ W}$
2. $\Delta P_{OUT} = P_{OUT} - P_{OUTA} - P_{OUTB} = -1.80 \text{ W}$
3. $\Delta P_{loss} = P_{IN} - P_{OUT} - \Sigma P_{loss} = 1.82 \text{ W}$



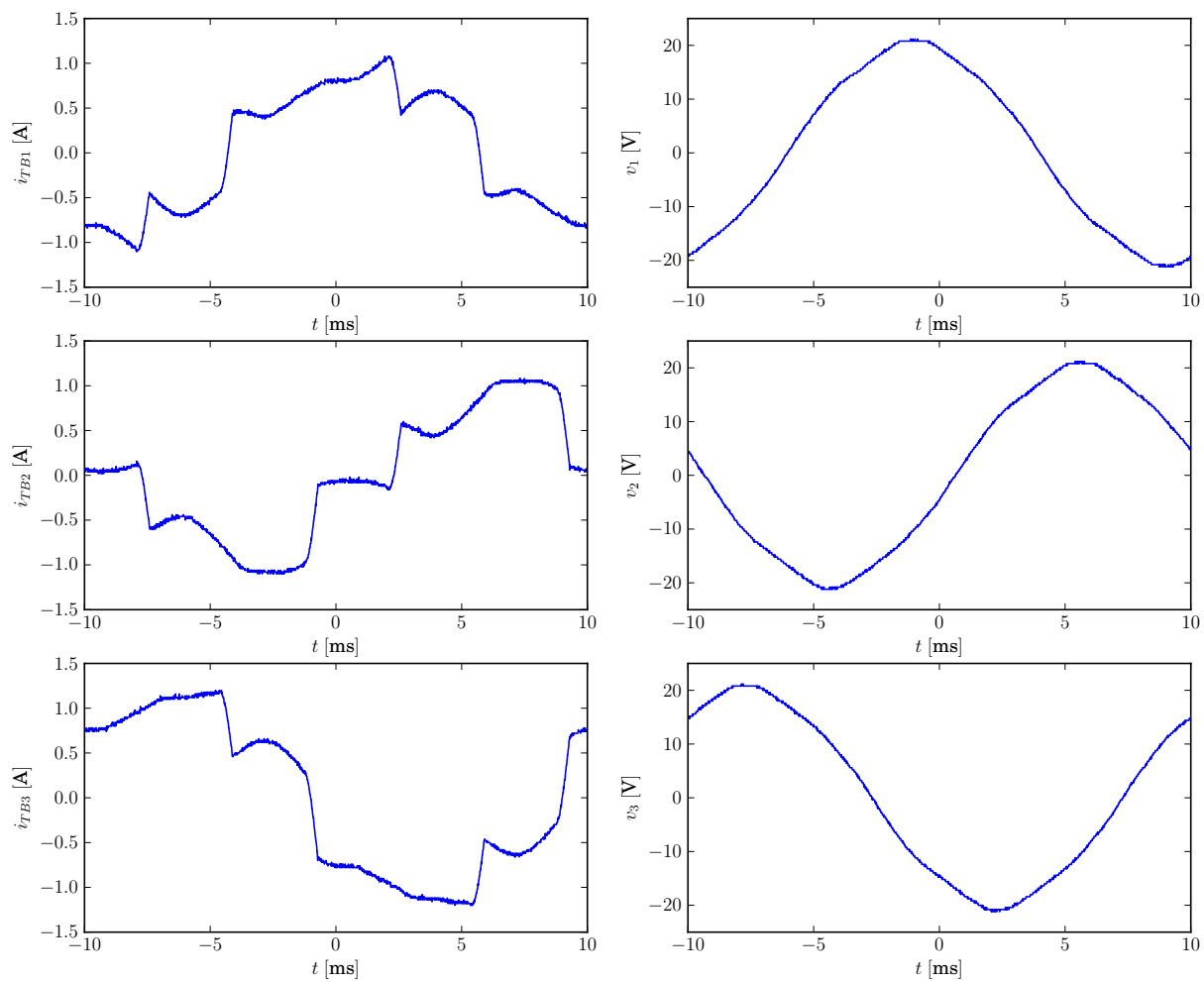
Slika 5: Input spectra, $I_{OUT} = 0.7 A$.



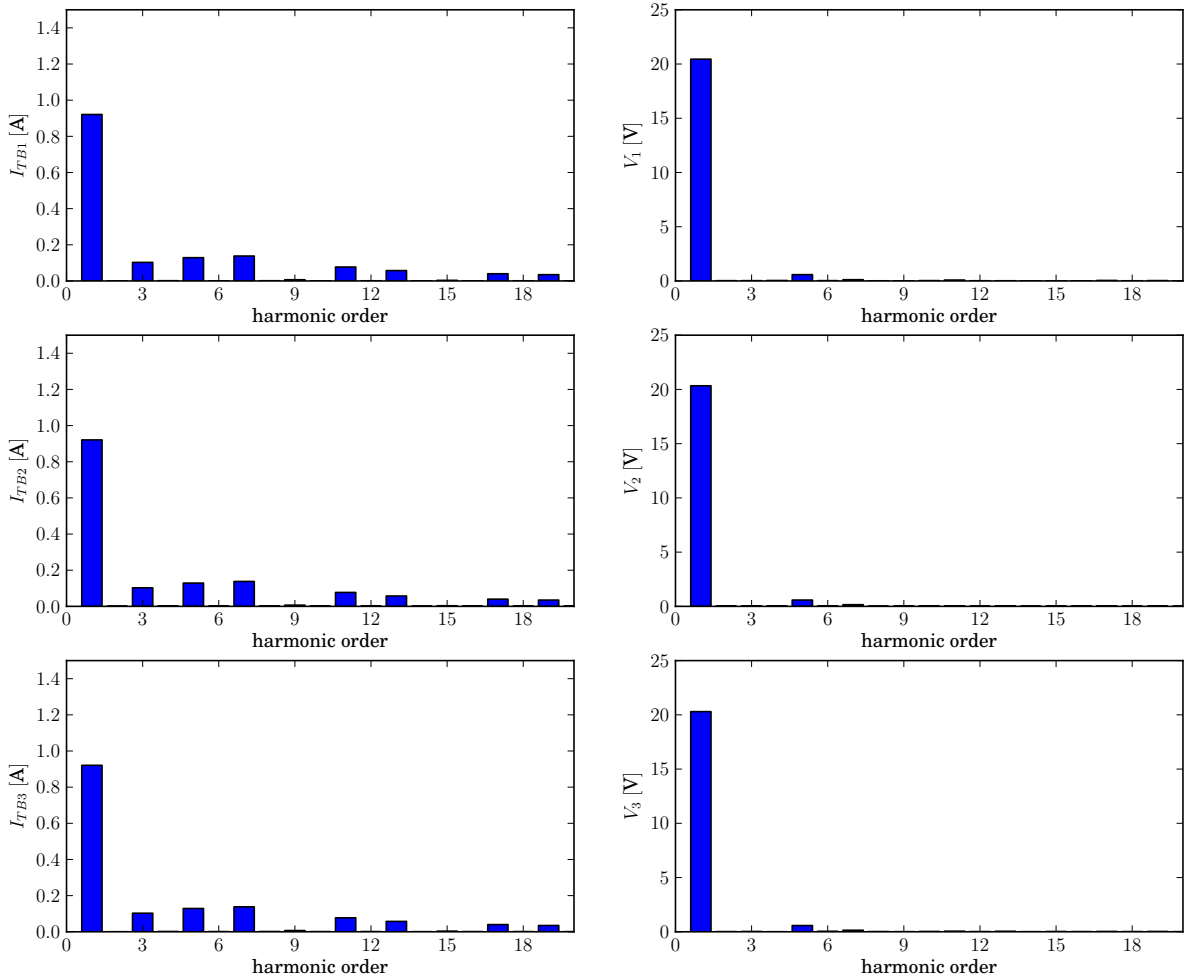
Slika 6: Transformer A waveforms, $I_{OUT} = 0.7$ A.



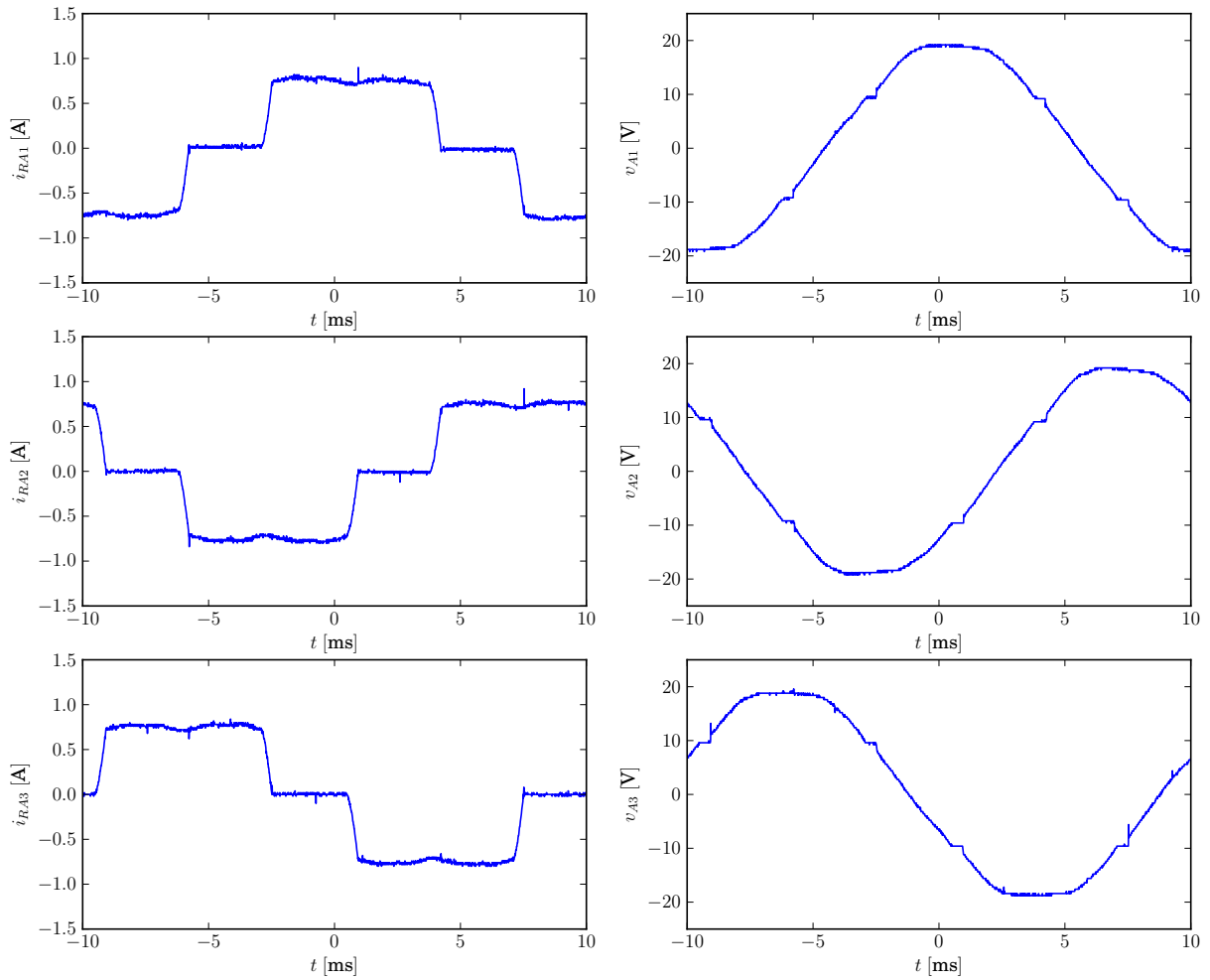
Slika 7: Transformer A spectra, $I_{OUT} = 0.7$ A.



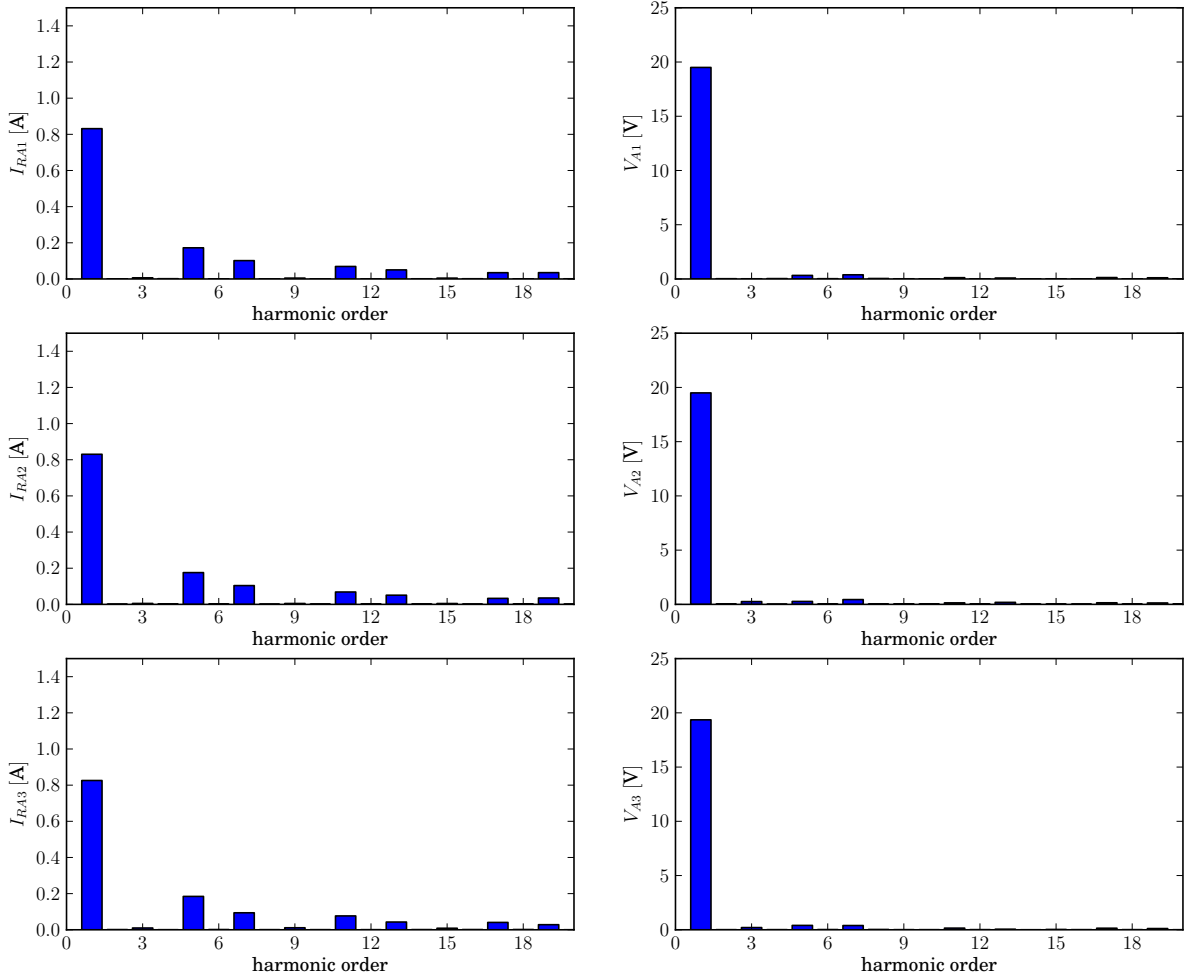
Slika 8: Transformer B waveforms, $I_{OUT} = 0.7$ A.



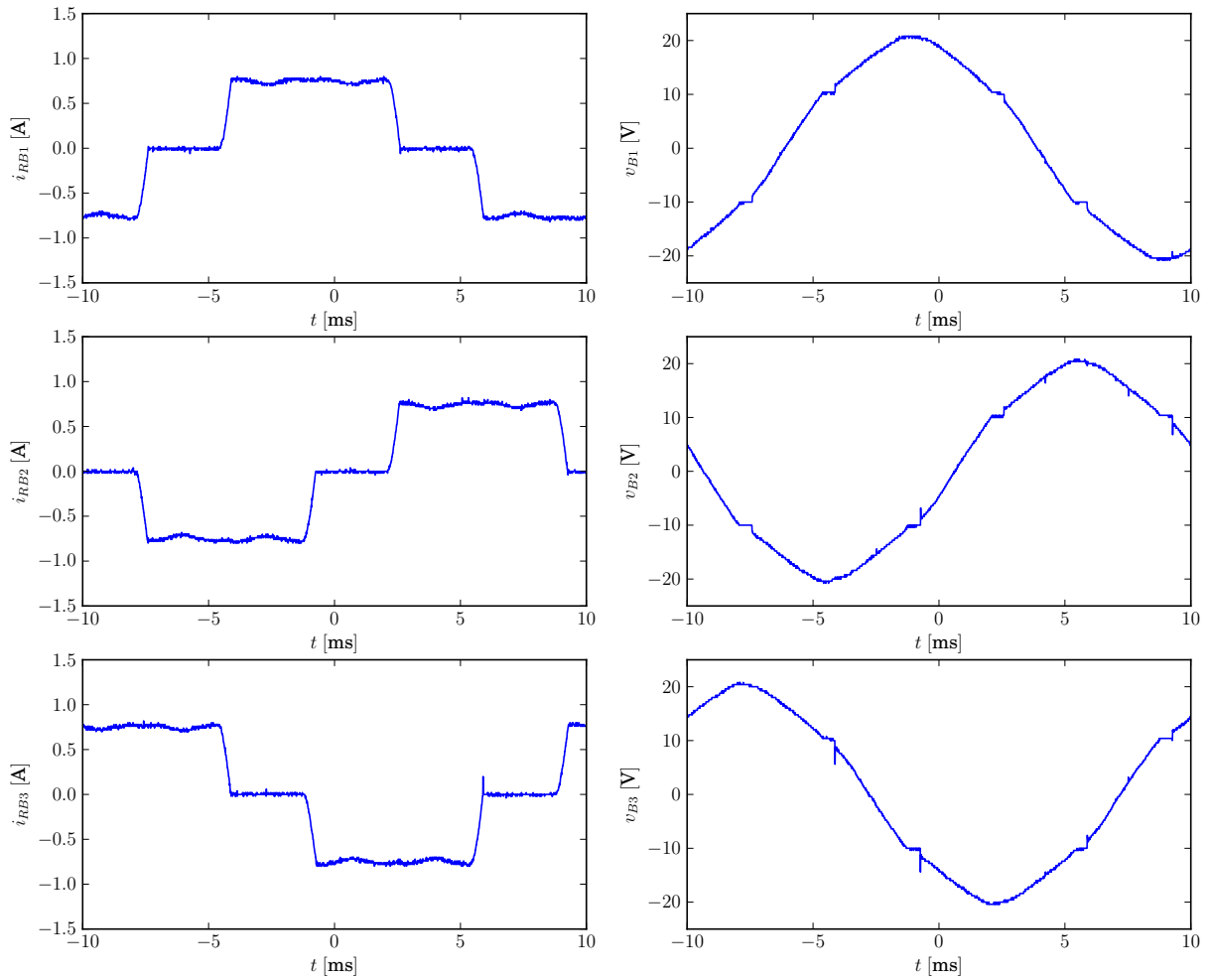
Slika 9: Transformer B spectra, $I_{OUT} = 0.7$ A.



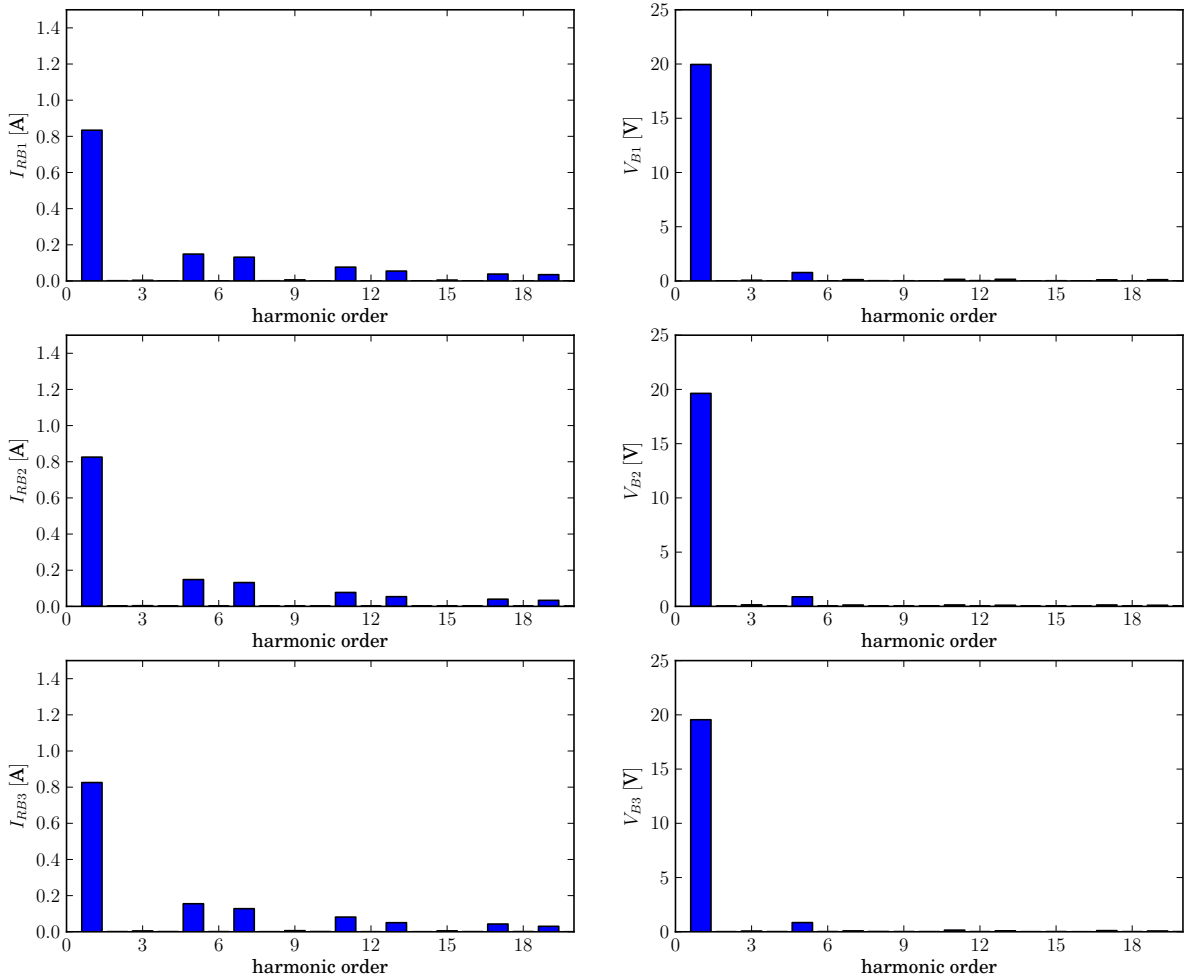
Slika 10: Rectifier A waveforms, $I_{OUT} = 0.7$ A.



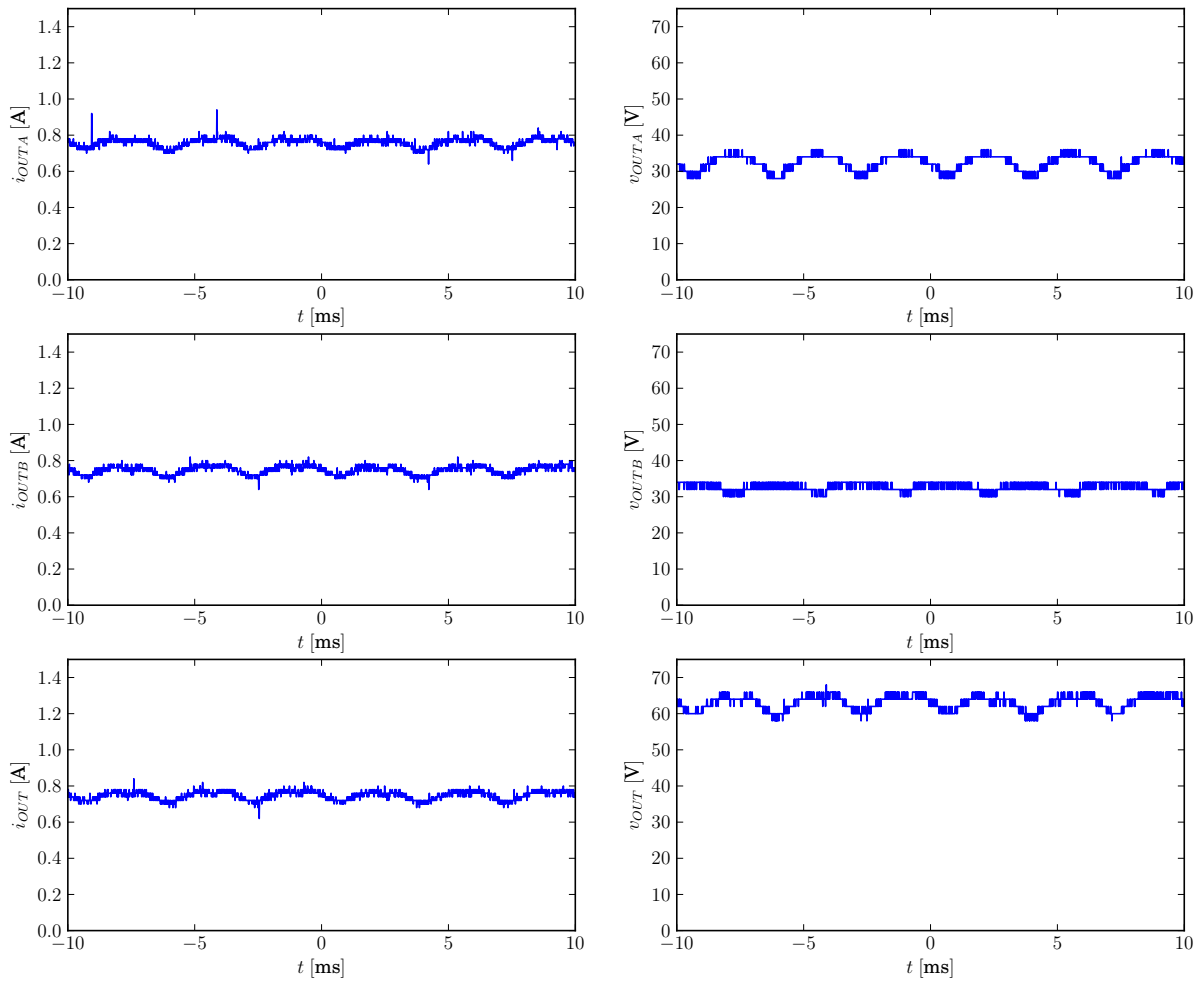
Slika 11: Rectifier A spectra, $I_{OUT} = 0.7$ A.



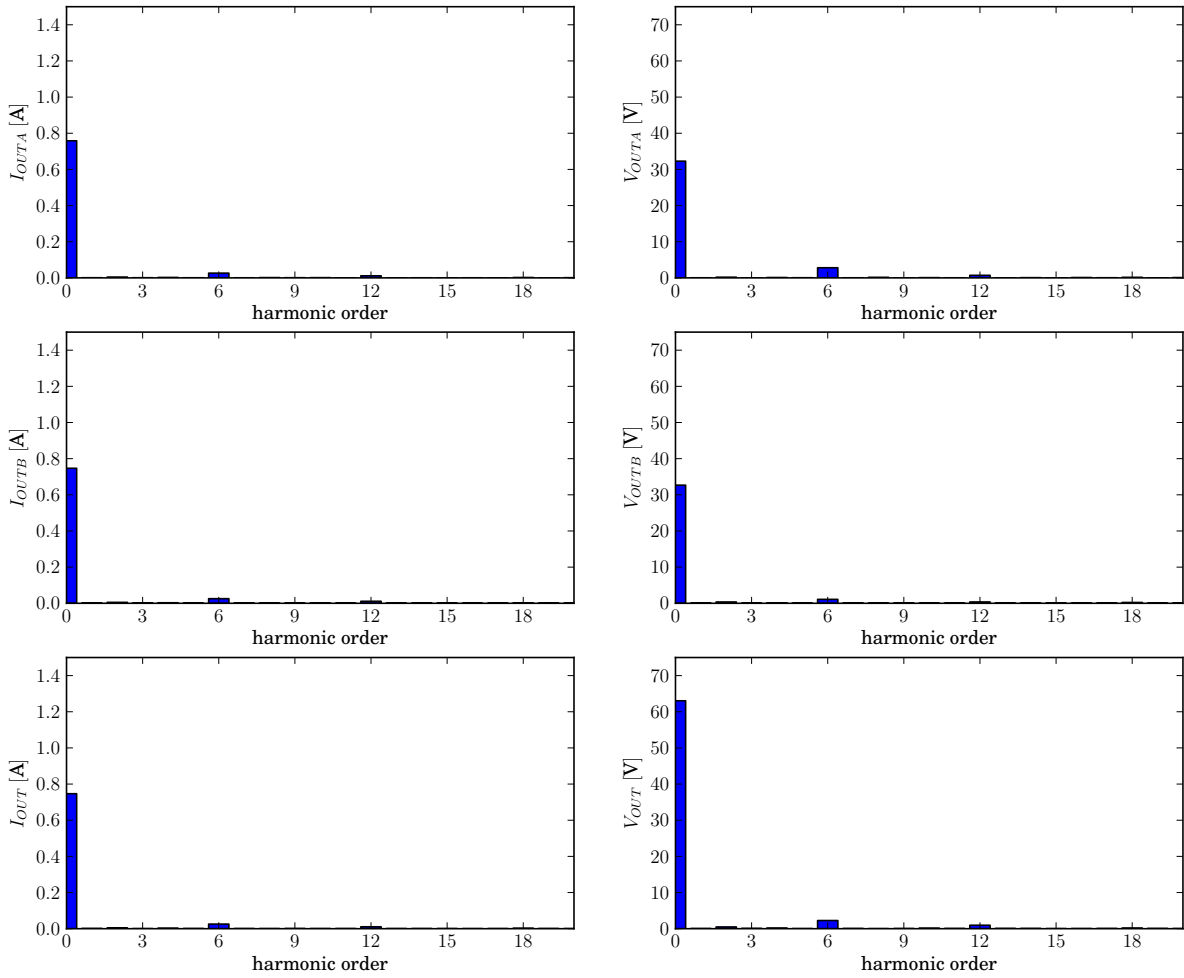
Slika 12: Rectifier B waveforms, $I_{OUT} = 0.7$ A.



Slika 13: Rectifier B spectra, $I_{OUT} = 0.7$ A.

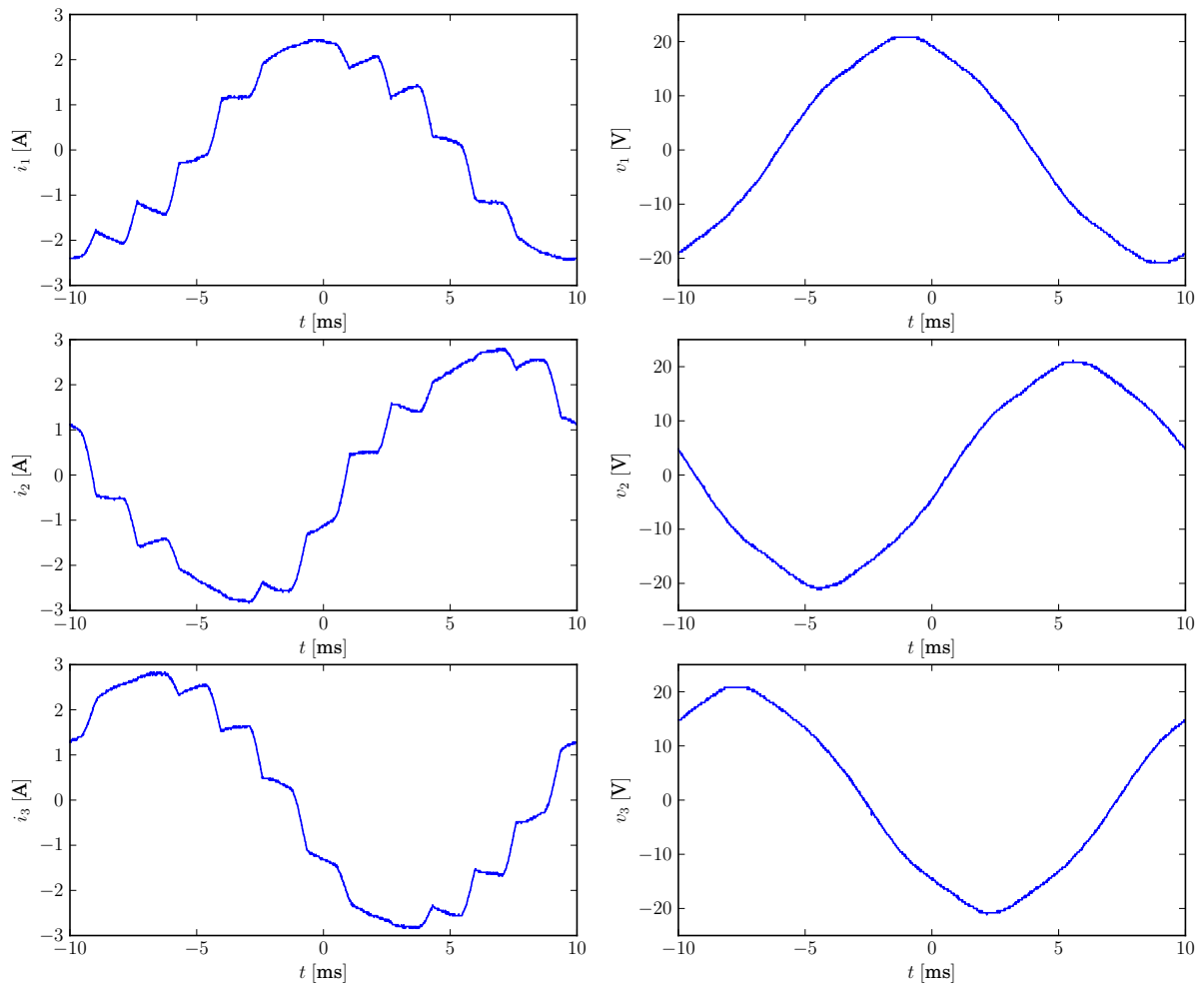


Slika 14: Output waveforms, $I_{OUT} = 0.7$ A.



Slika 15: Output spectra, $I_{OUT} = 0.7$ A.

3 Analiza za $I_{OUT} = 1\text{ A}$



Slika 16: Input waveforms, $I_{OUT} = 1\text{ A}$.

Tabela 10: $I_{OUT} = 1\text{ A}$, input

phase	1	2	3
V_{kRMS} [V]	14.35	14.25	14.27
$THD(v_k)$ [%]	3.00	3.42	3.18
I_{kRMS} [A]	1.69	1.93	1.99
$THD(i_k)$ [%]	12.67	13.56	10.08
P_k [W]	22.66	26.57	26.19
S_k [VA]	24.25	27.50	28.37
PF_k	0.9347	0.9662	0.9231
DPF_k	0.9420	0.9748	0.9283

Tabela 11: $I_{OUT} = 1$ A, transformer A

phase	1	2	3
V_{kRMS} [V]	14.35	14.22	14.26
$THD(v_k)$ [%]	3.04	3.29	3.12
I_{TAkRMS} [A]	0.84	1.07	0.97
$THD(i_{TAk})$ [%]	27.81	25.93	22.91
P_{TAk} [W]	11.30	14.30	12.14
S_{TAk} [VA]	12.09	15.17	13.83
PF_{TAk}	0.9344	0.9428	0.8782
DPF_{TAk}	0.9661	0.9703	0.8974

Tabela 12: $I_{OUT} = 1$ A, transformer B

phase	1	2	3
V_{kRMS} [V]	14.39	14.24	14.20
$THD(v_k)$ [%]	2.97	3.26	3.72
I_{TBkRMS} [A]	0.89	0.91	1.06
$THD(i_{TBk})$ [%]	25.77	28.81	23.16
P_{TBk} [W]	11.21	12.21	13.79
S_{TBk} [VA]	12.78	13.02	15.01
PF_{TBk}	0.8767	0.9374	0.9187
DPF_{TBk}	0.9084	0.9801	0.9482

Tabela 13: $I_{OUT} = 1$ A, rectifier A

phase	1	2	3
V_{AkRMS} [V]	13.18	13.18	13.10
$THD(v_{Ak})$ [%]	3.73	4.60	4.13
I_{RAkRMS} [A]	0.85	0.85	0.84
$THD(i_{RAk})$ [%]	26.96	26.84	27.54
P_{RAk} [W]	10.75	10.73	10.58
S_{RAk} [VA]	11.18	11.17	11.04
PF_{RAk}	0.9618	0.9605	0.9584
DPF_{RAk}	0.9992	0.9989	0.9986

Tabela 14: $I_{OUT} = 1$ A, rectifier B

phase	1	2	3
V_{BkRMS} [V]	13.42	13.22	13.19
$THD(v_{Bk})$ [%]	5.41	5.65	5.65
I_{RBkRMS} [A]	0.85	0.84	0.84
$THD(i_{RBk})$ [%]	26.63	26.74	27.03
P_{RBk} [W]	10.87	10.62	10.59
S_{RBk} [VA]	11.40	11.15	11.14
PF_{RBk}	0.9531	0.9521	0.9512
DPF_{RBk}	0.9990	0.9990	0.9988

Tabela 15: $I_{OUT} = 1$ A, output

output	rectifier A	rectifier B	complete output
I_{OUT} [A]	1.07	1.07	1.07
V_{OUT} [V]	28.89	29.19	58.19
P_{OUT} [W]	30.90	31.21	62.11

Snage:

1. $P_{IN} = 75.43 \text{ W}$
2. $P_{TA} = 37.74 \text{ W}$
3. $P_{TB} = 37.20 \text{ W}$
4. $P_{RA} = 32.07 \text{ W}$
5. $P_{RB} = 32.08 \text{ W}$
6. $P_{OUTA} = 30.90 \text{ W}$
7. $P_{OUTB} = 31.21 \text{ W}$
8. $P_{OUT} = 62.11 \text{ W}$

Gubici:

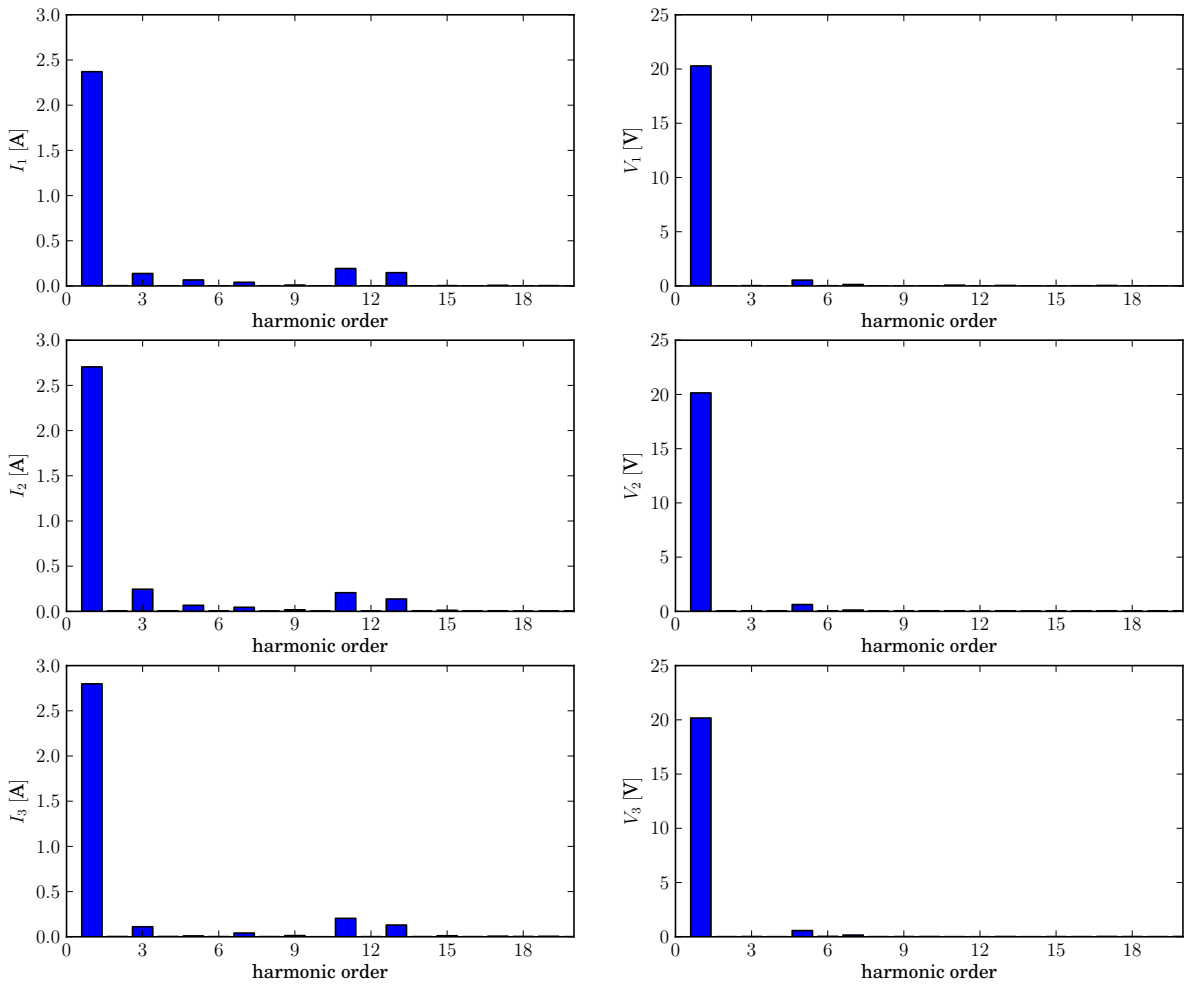
1. $P_{lossTA} = 5.67 \text{ W}$
2. $P_{lossTB} = 5.12 \text{ W}$
3. $P_{lossRA} = 1.17 \text{ W}$
4. $P_{lossRB} = 0.87 \text{ W}$
5. $P_{loss} = P_{IN} - P_{OUT} = 13.32 \text{ W}$

Koeficijenti korisnog dejstva:

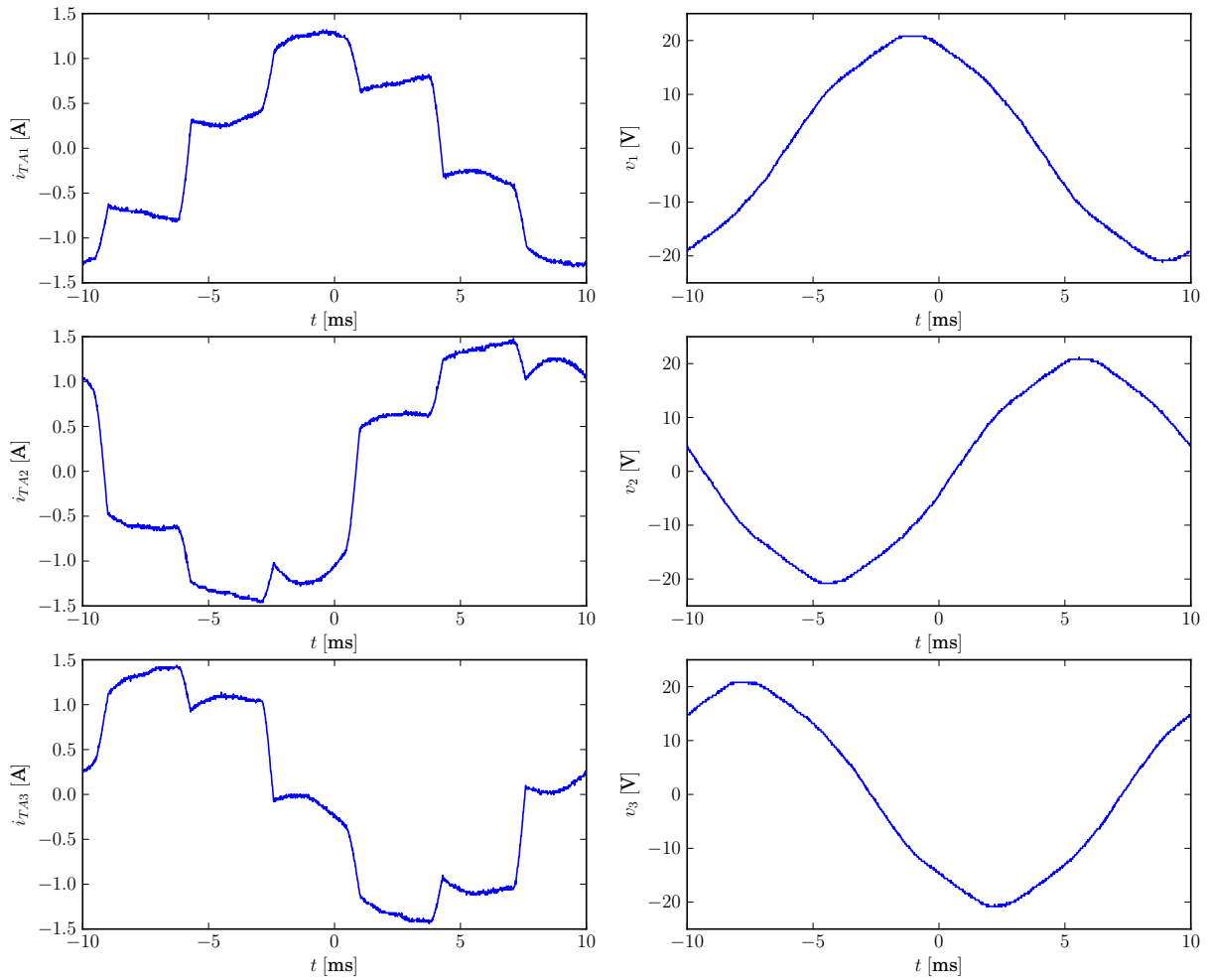
1. $\eta_{TA} = 84.96\%$
2. $\eta_{TB} = 86.23\%$
3. $\eta_{RA} = 96.35\%$
4. $\eta_{RB} = 97.29\%$
5. $\eta = 82.34\%$

Nekonzistentnosti u snagama:

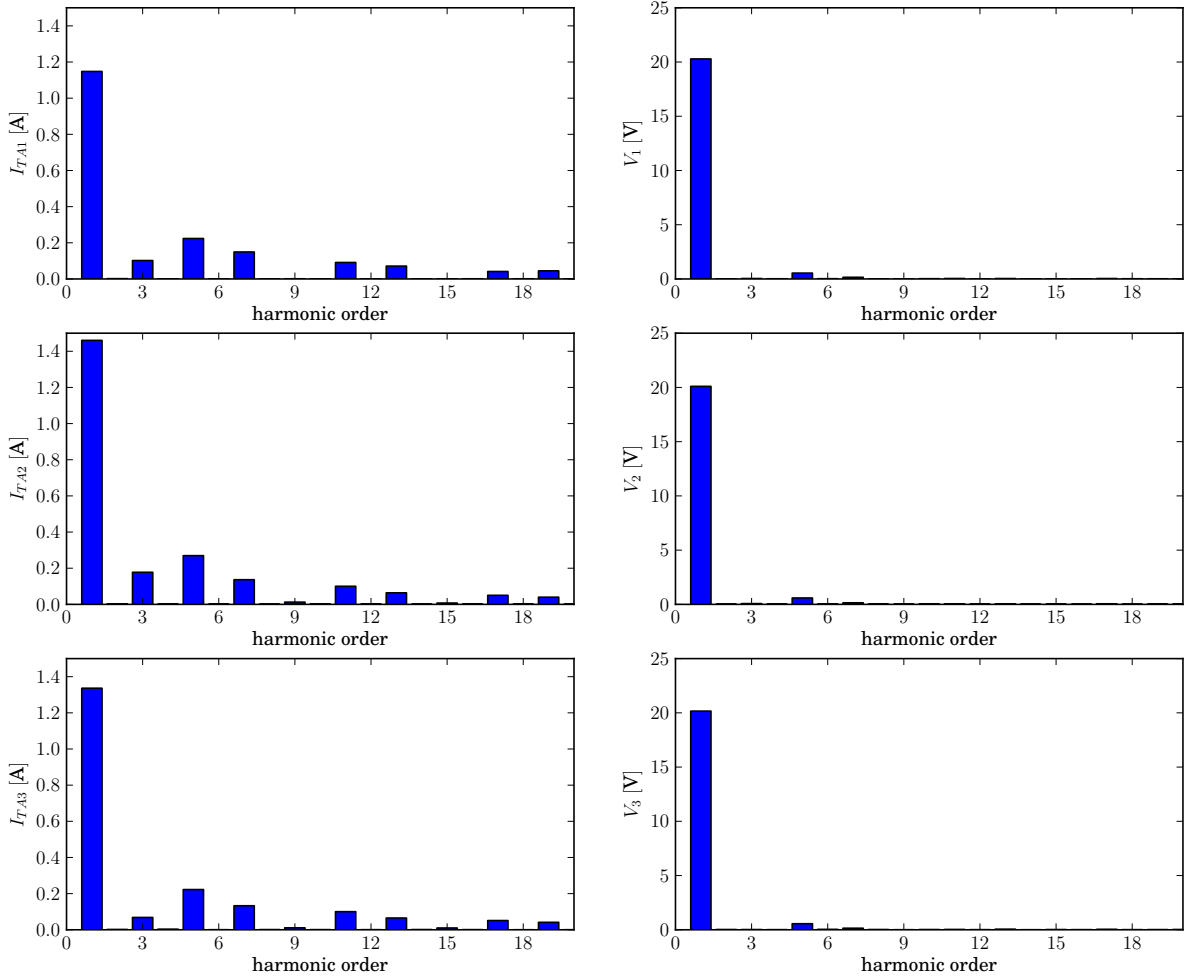
1. $\Delta P_{IN} = P_{IN} - P_{TA} - P_{TB} = 0.49 \text{ W}$
2. $\Delta P_{OUT} = P_{OUT} - P_{OUTA} - P_{OUTB} = 0.00 \text{ W}$
3. $\Delta P_{loss} = P_{IN} - P_{OUT} - \Sigma P_{loss} = 0.49 \text{ W}$



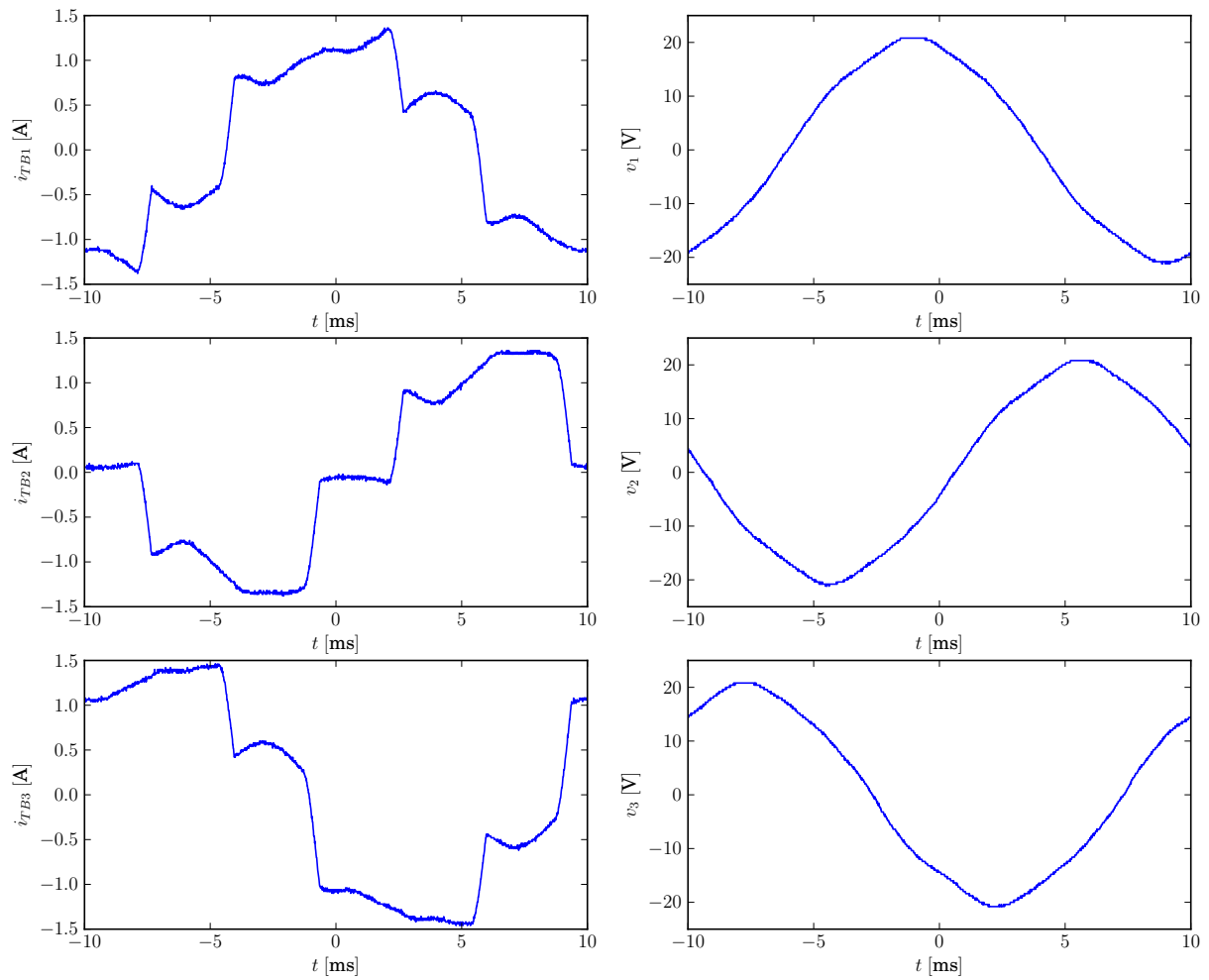
Slika 17: Input spectra, $I_{OUT} = 1$ A.



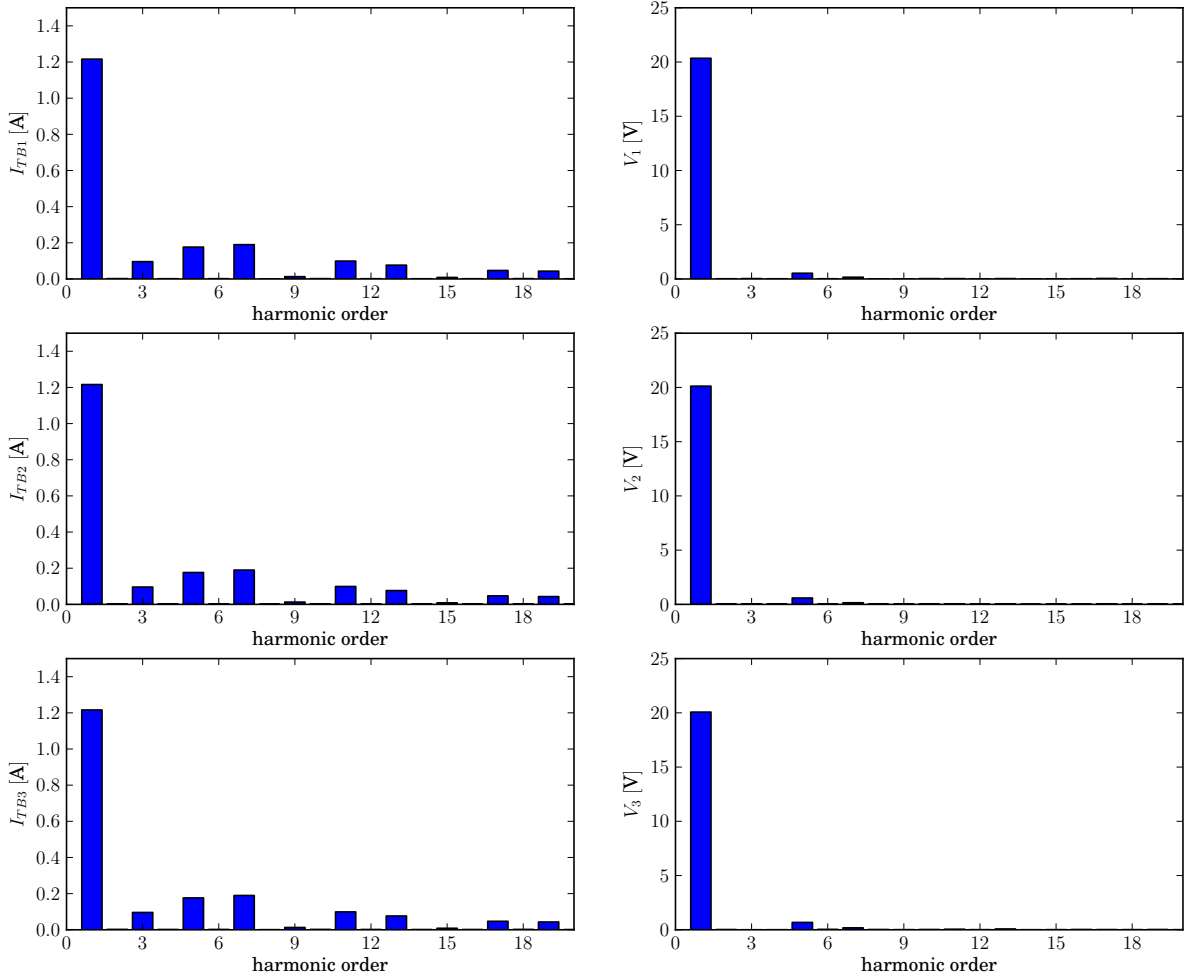
Slika 18: Transformer A waveforms, $I_{OUT} = 1$ A.



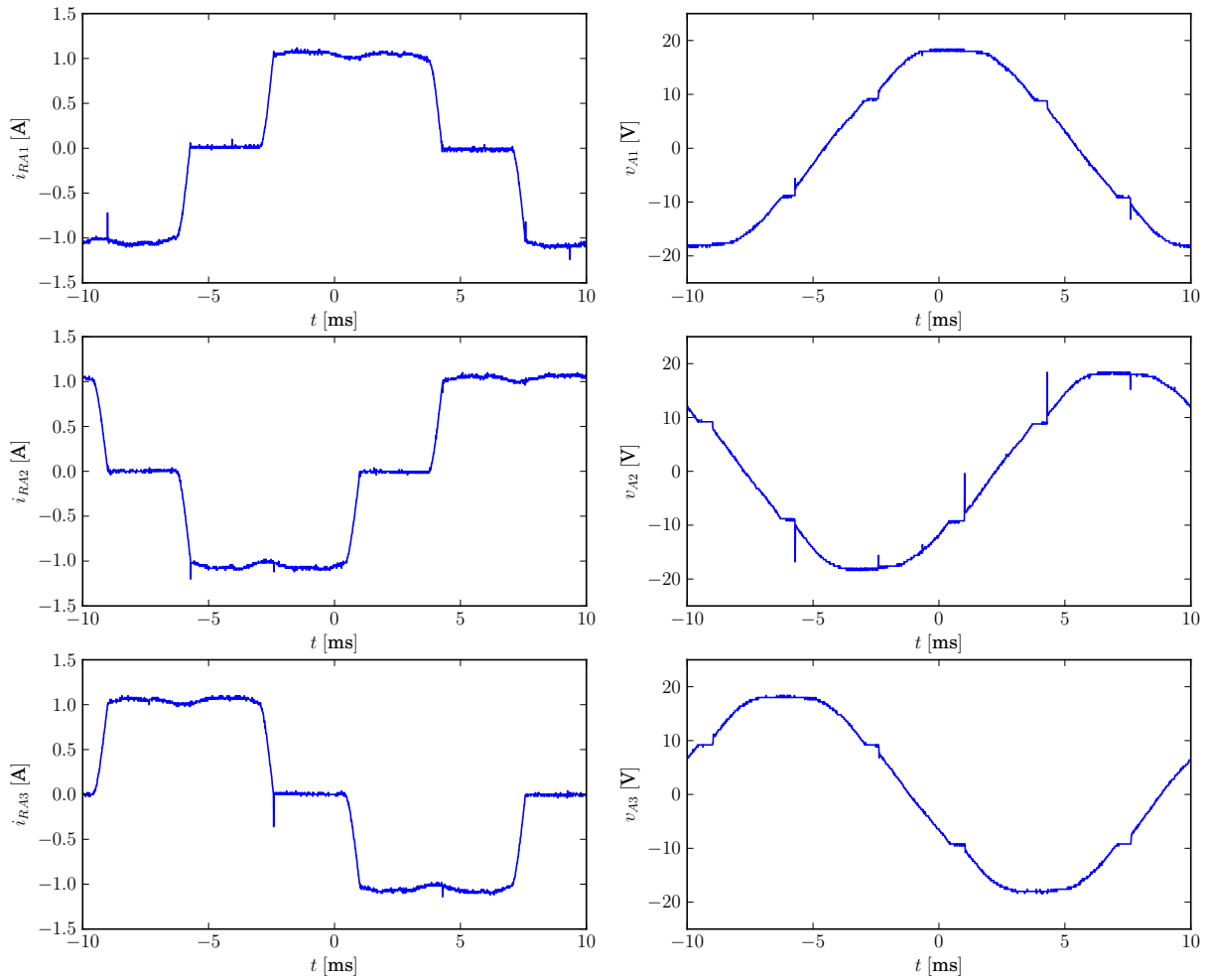
Slika 19: Transformer A spectra, $I_{OUT} = 1$ A.



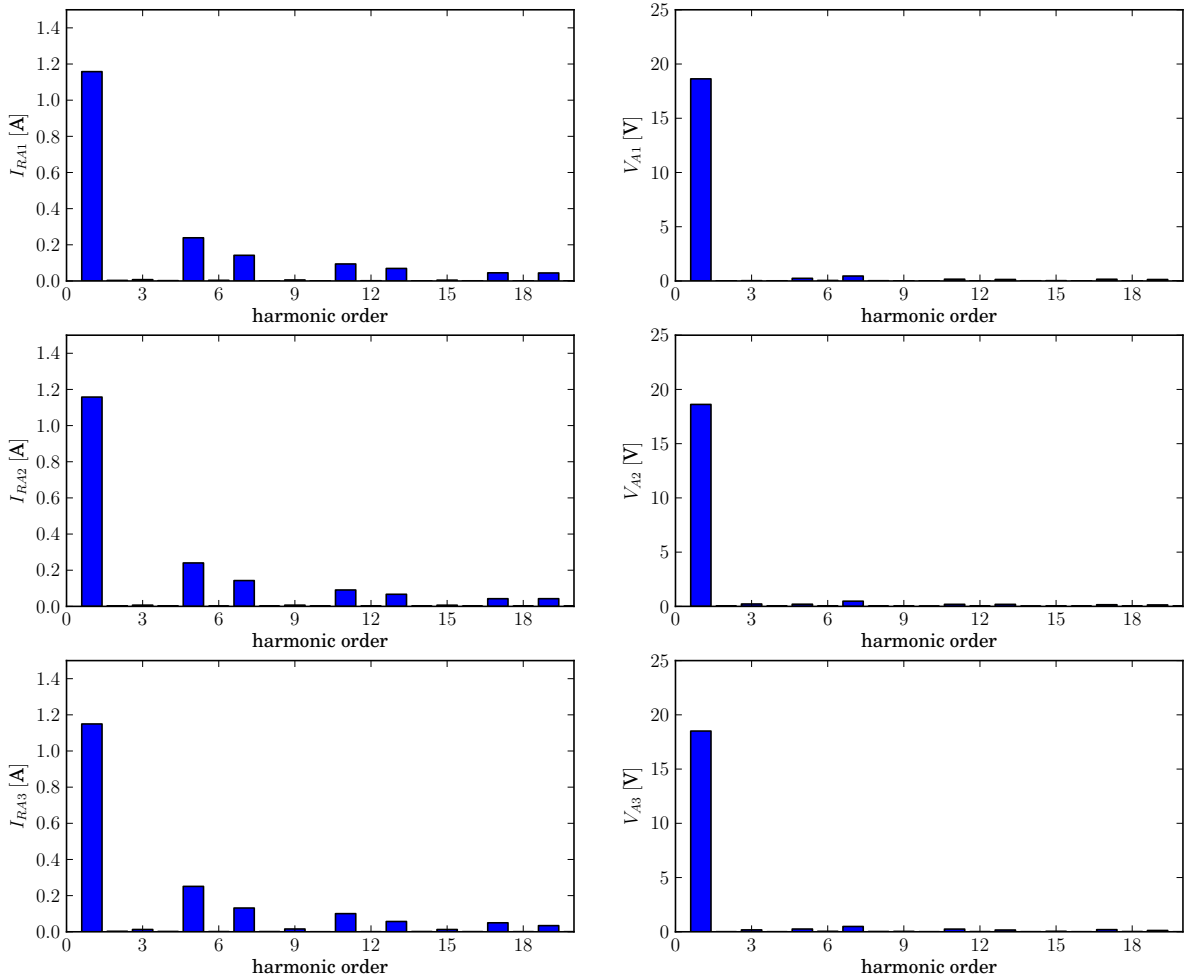
Slika 20: Transformer B waveforms, $I_{OUT} = 1$ A.



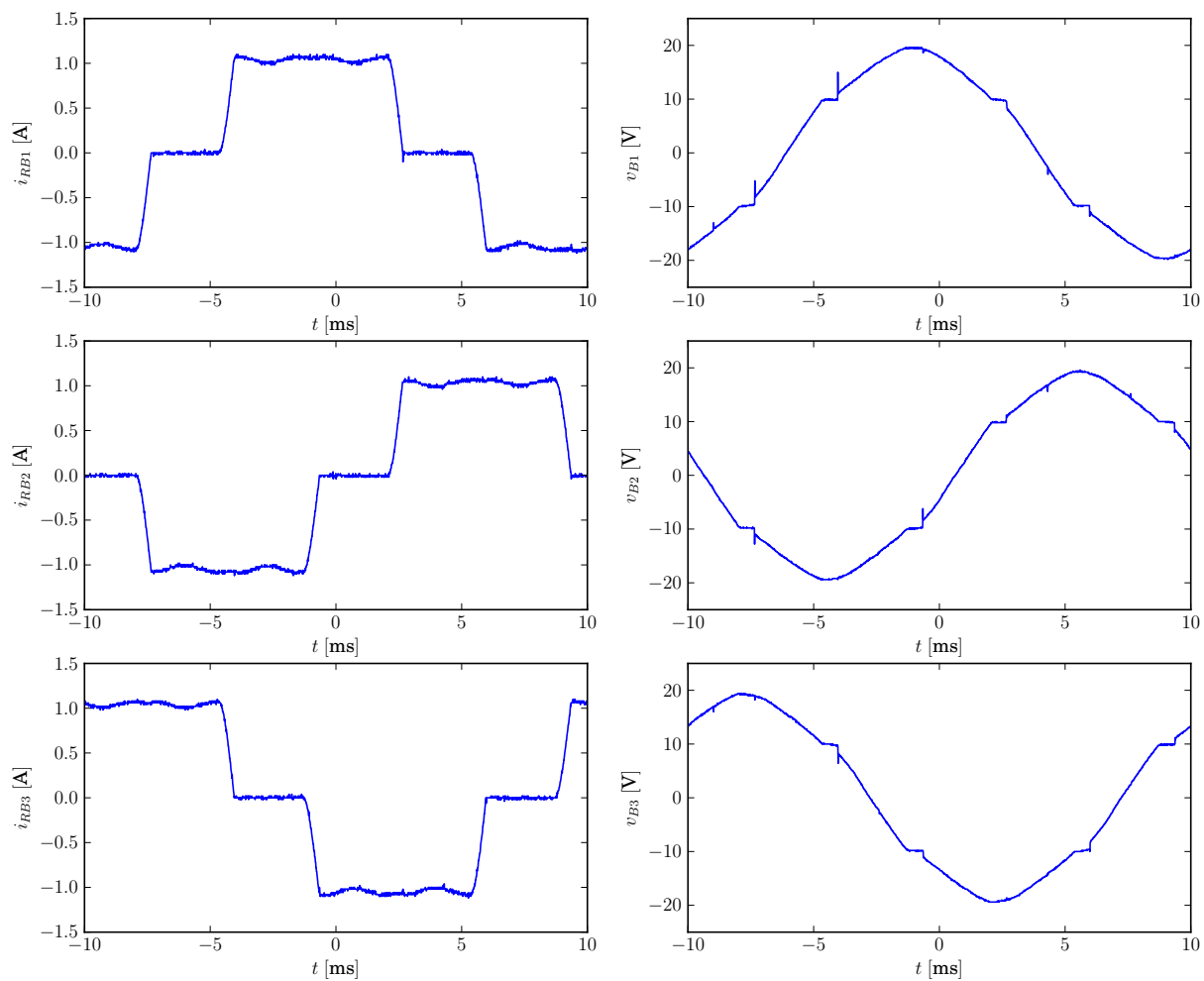
Slika 21: Transformer B spectra, $I_{OUT} = 1$ A.



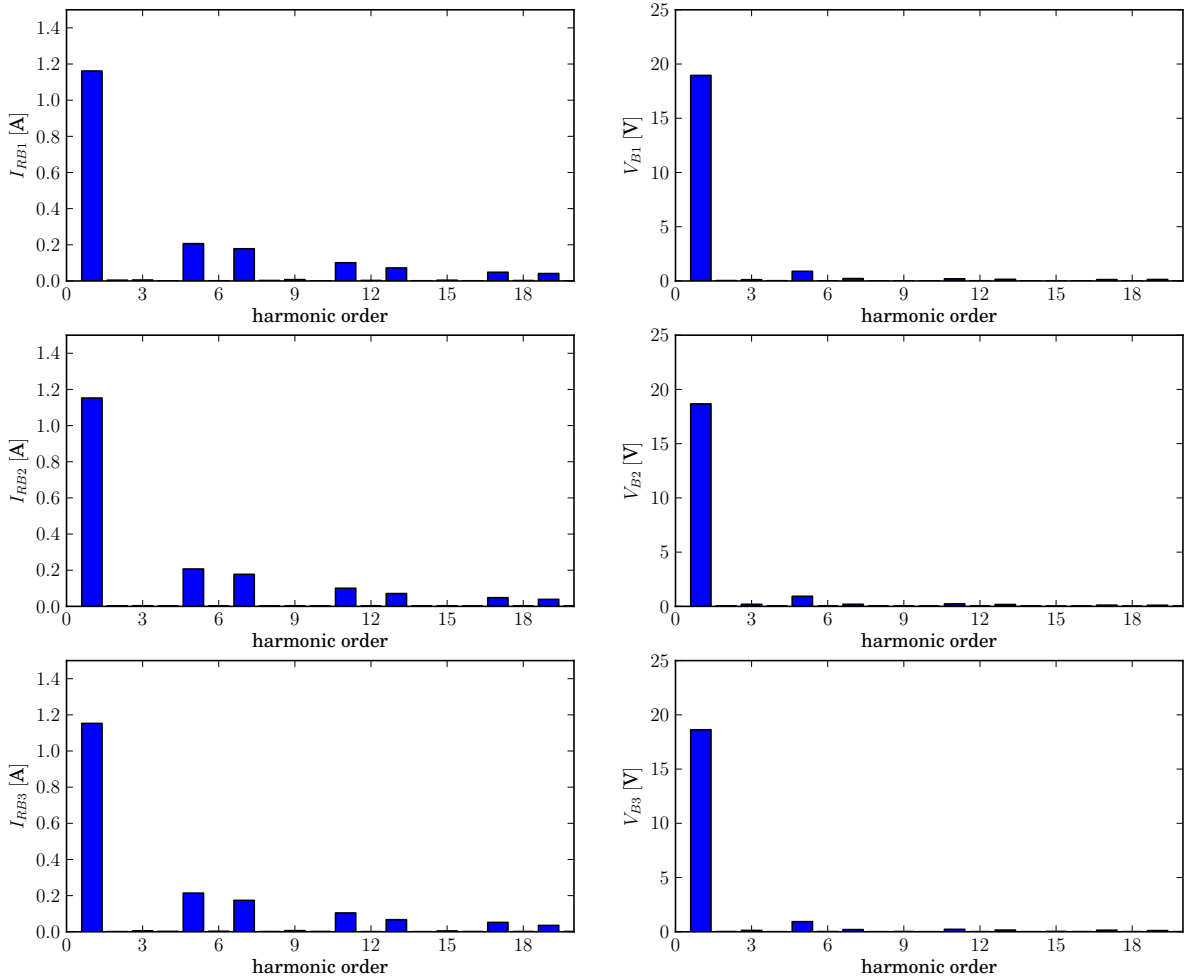
Slika 22: Rectifier A waveforms, $I_{OUT} = 1$ A.



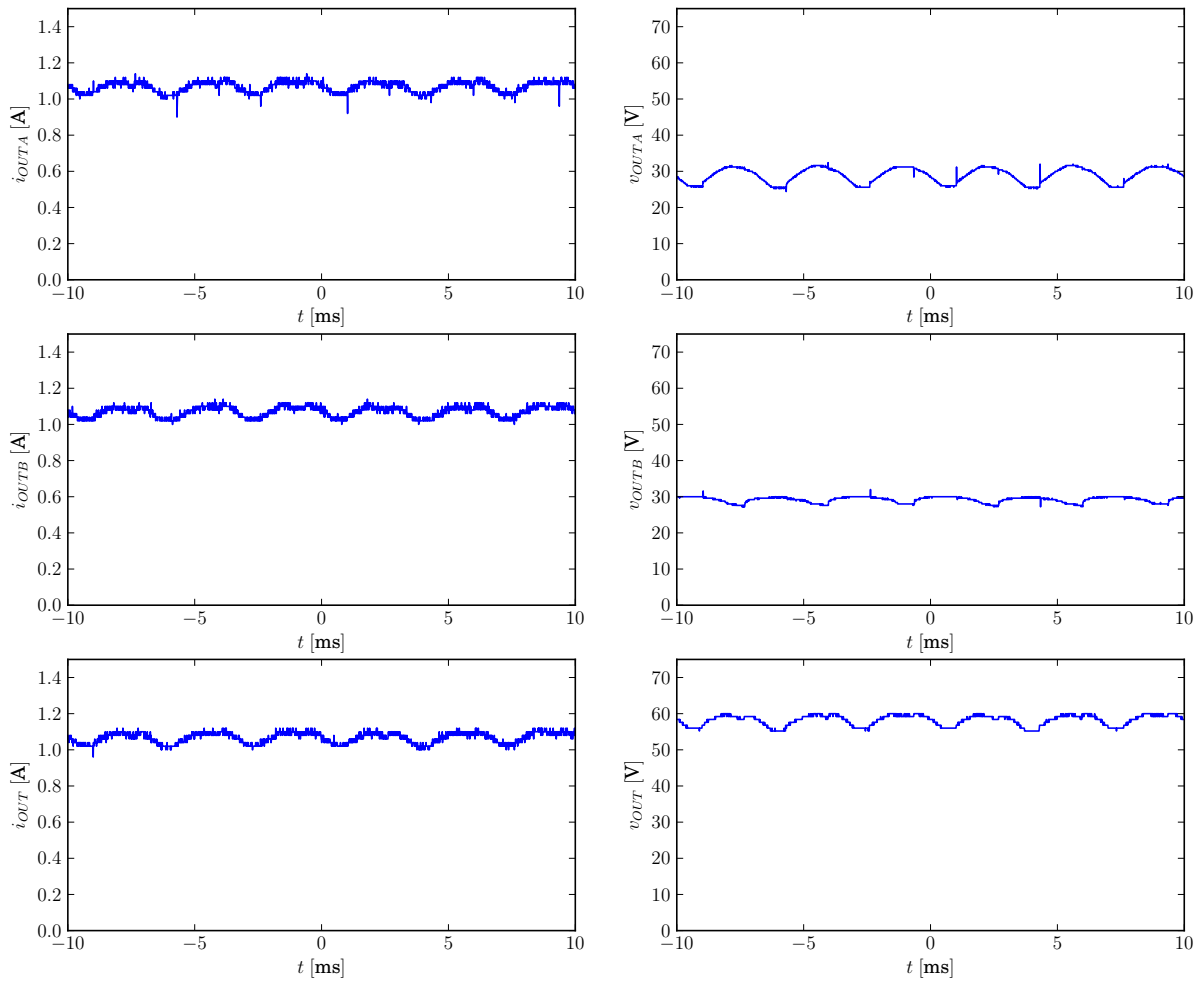
Slika 23: Rectifier A spectra, $I_{OUT} = 1$ A.



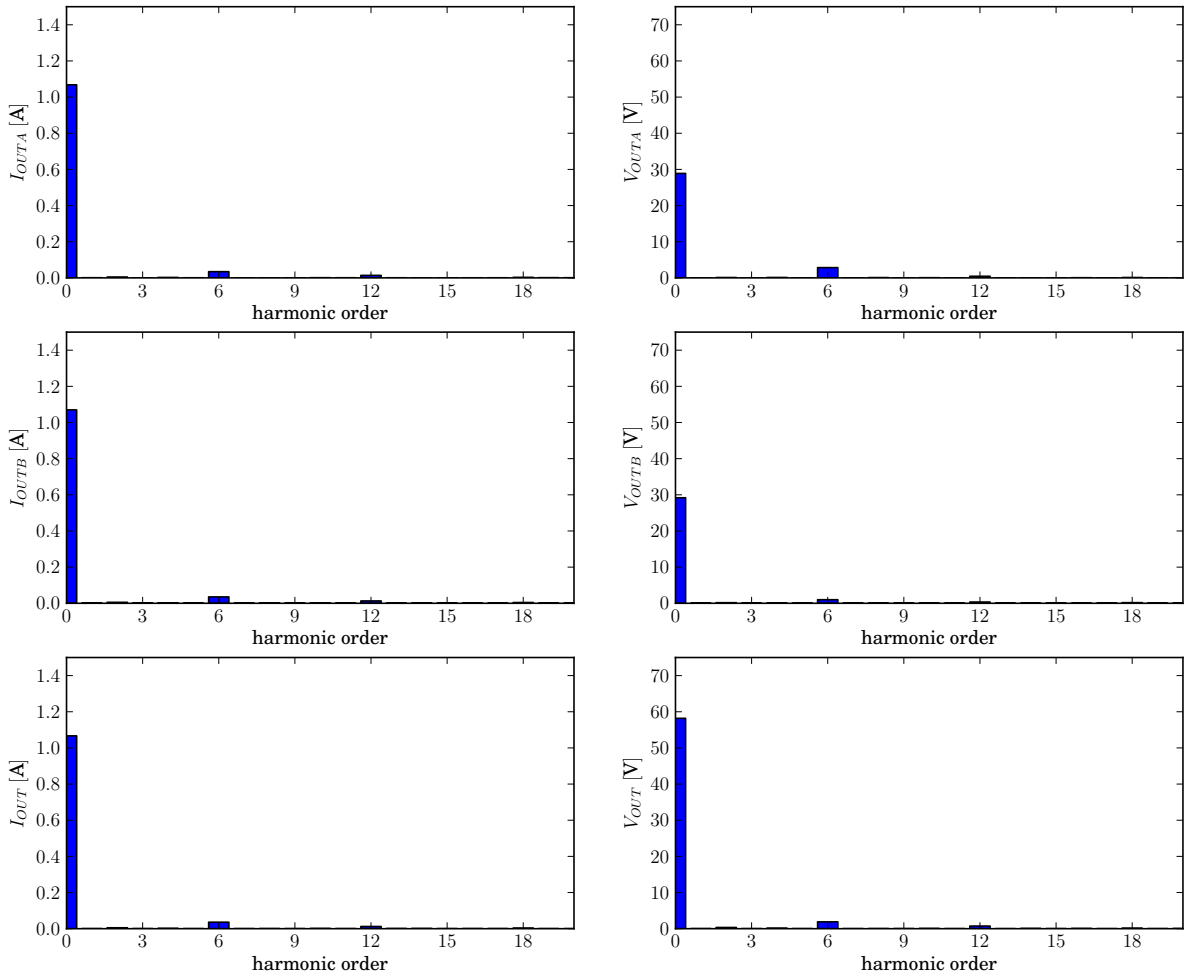
Slika 24: Rectifier B waveforms, $I_{OUT} = 1\text{ A}$.



Slika 25: Rectifier B spectra, $I_{OUT} = 1$ A.

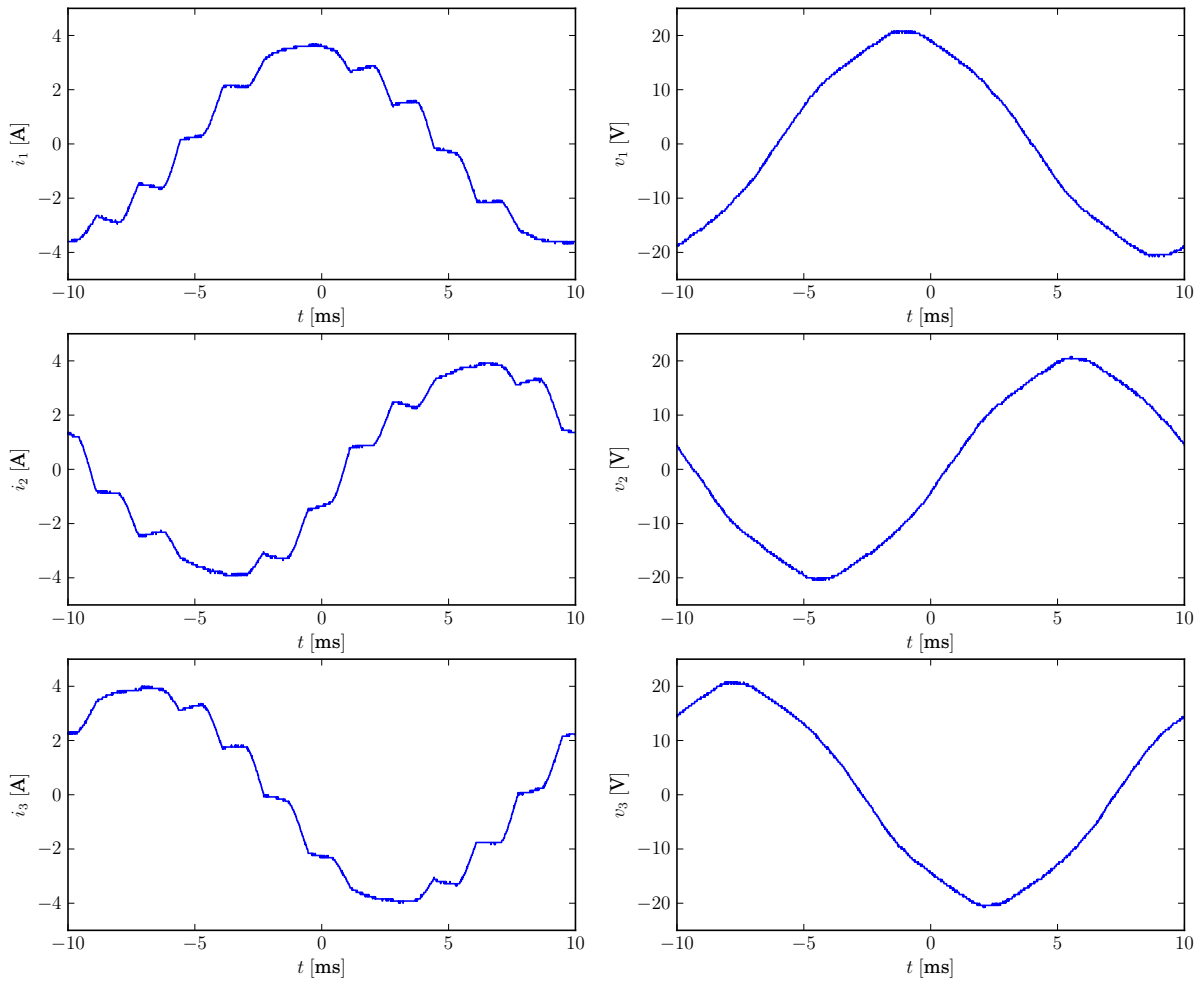


Slika 26: Output waveforms, $I_{OUT} = 1$ A.



Slika 27: Output spectra, $I_{OUT} = 1$ A.

4 Analiza za $I_{OUT} = 1.5 \text{ A}$



Slika 28: Input waveforms, $I_{OUT} = 1.5 \text{ A}$.

Tabela 16: $I_{OUT} = 1.5 \text{ A}$, input

phase	1	2	3
V_{kRMS} [V]	14.19	13.92	14.07
$THD(v_k)$ [%]	3.08	3.25	3.17
I_{kRMS} [A]	2.53	2.73	2.77
$THD(i_k)$ [%]	10.18	10.51	8.83
P_k [W]	34.94	37.40	37.66
S_k [VA]	35.96	38.03	39.05
PF_k	0.9717	0.9836	0.9643
DPF_k	0.9768	0.9892	0.9686

Tabela 17: $I_{OUT} = 1.5$ A, transformer A

phase	1	2	3
V_{kRMS} [V]	14.15	14.03	14.06
$THD(v_k)$ [%]	3.37	3.60	3.13
I_{TAkRMS} [A]	1.28	1.46	1.37
$THD(i_{TAk})$ [%]	25.46	24.15	23.33
P_{TAk} [W]	17.41	19.77	18.05
S_{TAk} [VA]	18.13	20.55	19.21
PF_{TAk}	0.9601	0.9624	0.9397
DPF_{TAk}	0.9855	0.9850	0.9609

Tabela 18: $I_{OUT} = 1.5$ A, transformer B

phase	1	2	3
V_{kRMS} [V]	14.20	14.05	14.07
$THD(v_k)$ [%]	3.07	3.17	3.07
I_{TBkRMS} [A]	1.30	1.34	1.45
$THD(i_{TBk})$ [%]	24.08	25.39	22.80
P_{TBk} [W]	17.27	18.02	19.35
S_{TBk} [VA]	18.47	18.85	20.41
PF_{TBk}	0.9350	0.9562	0.9480
DPF_{TBk}	0.9655	0.9907	0.9764

Tabela 19: $I_{OUT} = 1.5$ A, rectifier A

phase	1	2	3
V_{AkRMS} [V]	12.10	12.08	12.03
$THD(v_{Ak})$ [%]	5.05	5.21	5.23
I_{RAkRMS} [A]	1.26	1.26	1.26
$THD(i_{RAk})$ [%]	25.21	25.44	25.82
P_{RAk} [W]	14.66	14.64	14.47
S_{RAk} [VA]	15.26	15.27	15.11
PF_{RAk}	0.9601	0.9589	0.9580
DPF_{RAk}	0.9984	0.9981	0.9981

Tabela 20: $I_{OUT} = 1.5$ A, rectifier B

phase	1	2	3
V_{BkRMS} [V]	12.50	12.33	12.31
$THD(v_{Bk})$ [%]	7.41	7.86	7.34
I_{RBkRMS} [A]	1.26	1.25	1.25
$THD(i_{RBk})$ [%]	24.85	24.78	25.37
P_{RBk} [W]	14.96	14.66	14.63
S_{RBk} [VA]	15.72	15.42	15.39
PF_{RBk}	0.9516	0.9504	0.9504
DPF_{RBk}	0.9983	0.9983	0.9982

Tabela 21: $I_{OUT} = 1.5$ A, output

output	rectifier A	rectifier B	complete output
I_{OUT} [A]	1.59	1.59	1.59
V_{OUT} [V]	26.37	26.83	53.34
P_{OUT} [W]	41.92	42.53	84.65

Snage:

1. $P_{IN} = 110.00 \text{ W}$
2. $P_{TA} = 55.24 \text{ W}$
3. $P_{TB} = 54.64 \text{ W}$
4. $P_{RA} = 43.78 \text{ W}$
5. $P_{RB} = 44.24 \text{ W}$
6. $P_{OUTA} = 41.92 \text{ W}$
7. $P_{OUTB} = 42.53 \text{ W}$
8. $P_{OUT} = 84.65 \text{ W}$

Gubici:

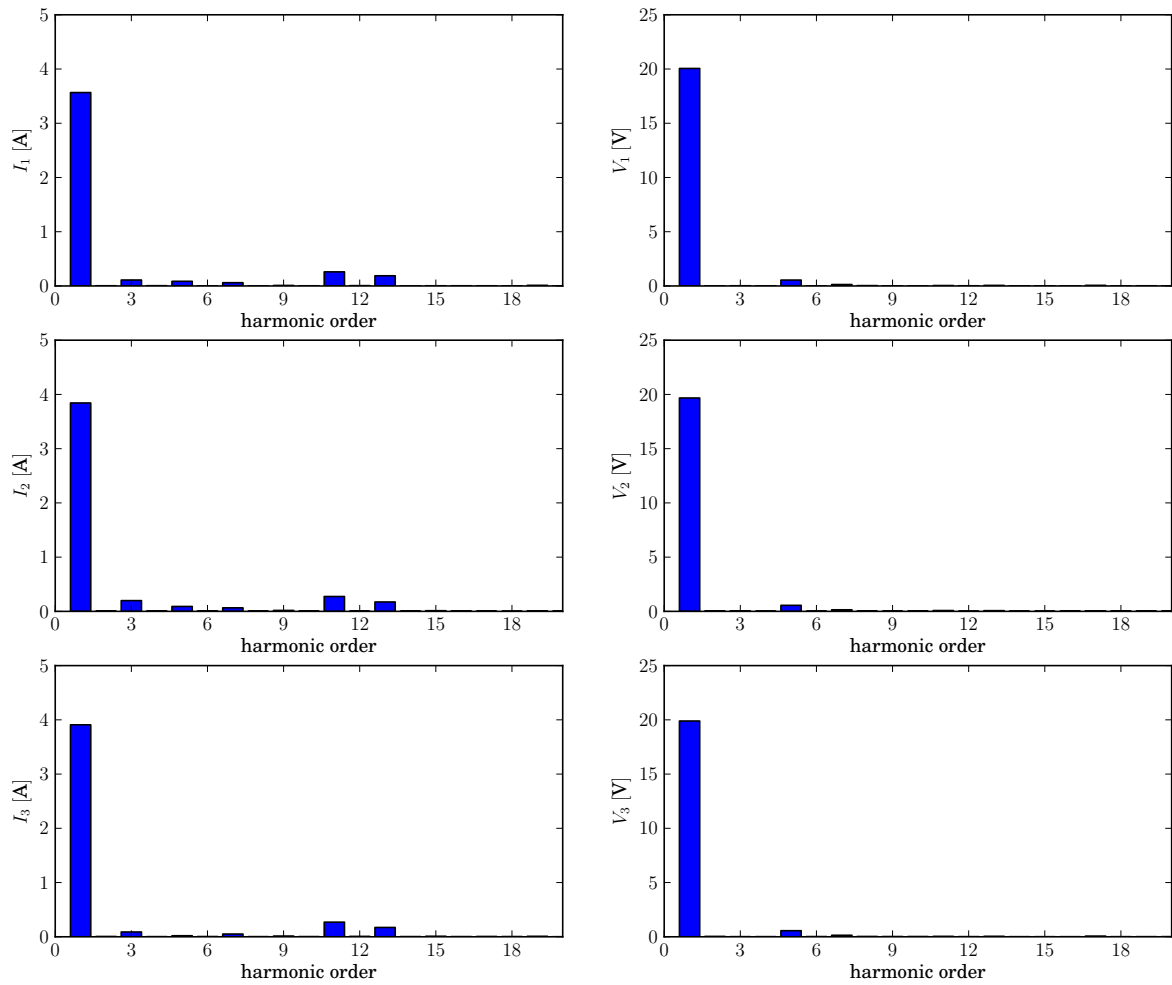
1. $P_{lossTA} = 11.46 \text{ W}$
2. $P_{lossTB} = 10.40 \text{ W}$
3. $P_{lossRA} = 1.86 \text{ W}$
4. $P_{lossRB} = 1.71 \text{ W}$
5. $P_{loss} = P_{IN} - P_{OUT} = 25.35 \text{ W}$

Koeficijenti korisnog dejstva:

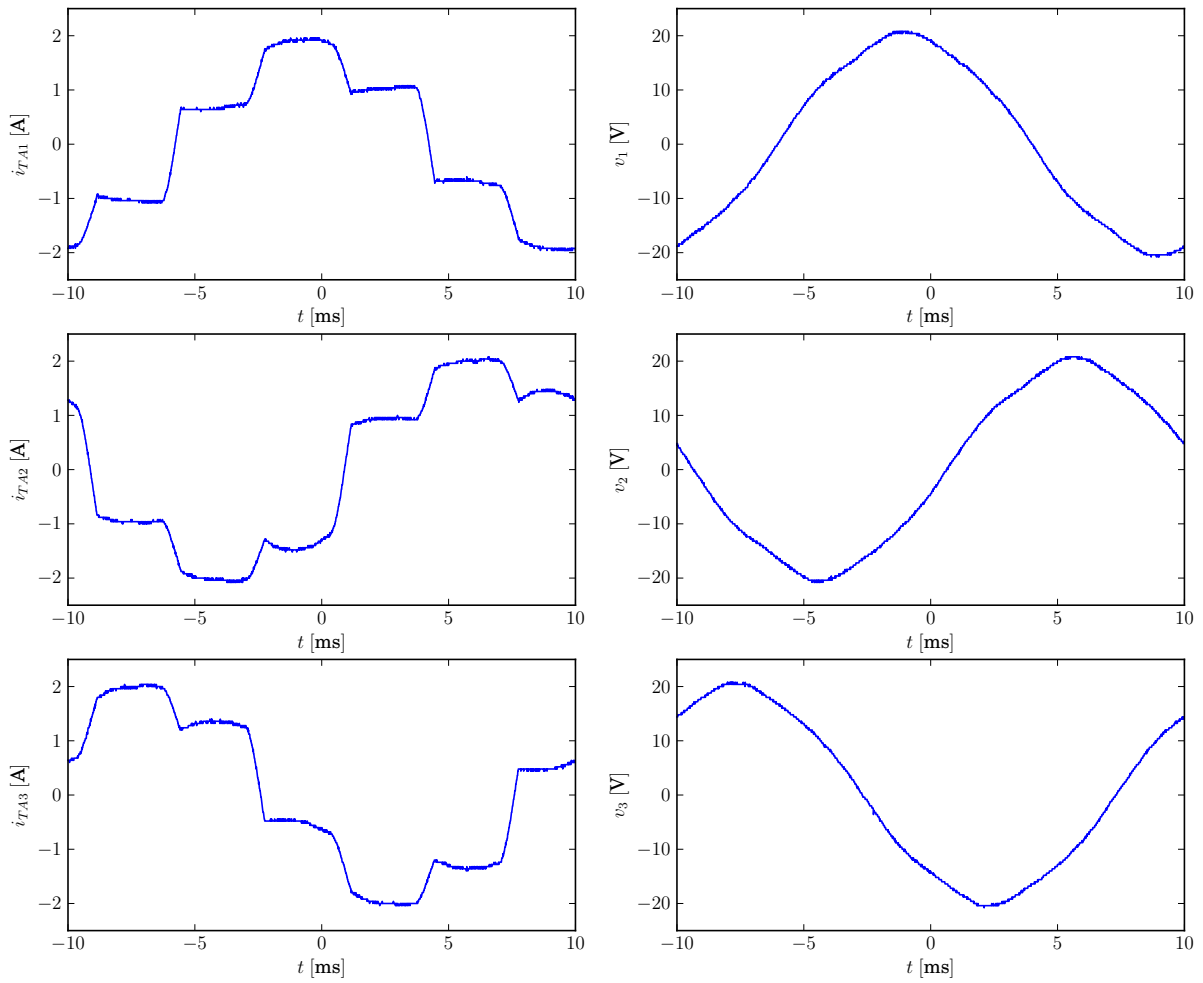
1. $\eta_{TA} = 79.25\%$
2. $\eta_{TB} = 80.97\%$
3. $\eta_{RA} = 95.75\%$
4. $\eta_{RB} = 96.14\%$
5. $\eta = 76.96\%$

Nekonzistentnosti u snagama:

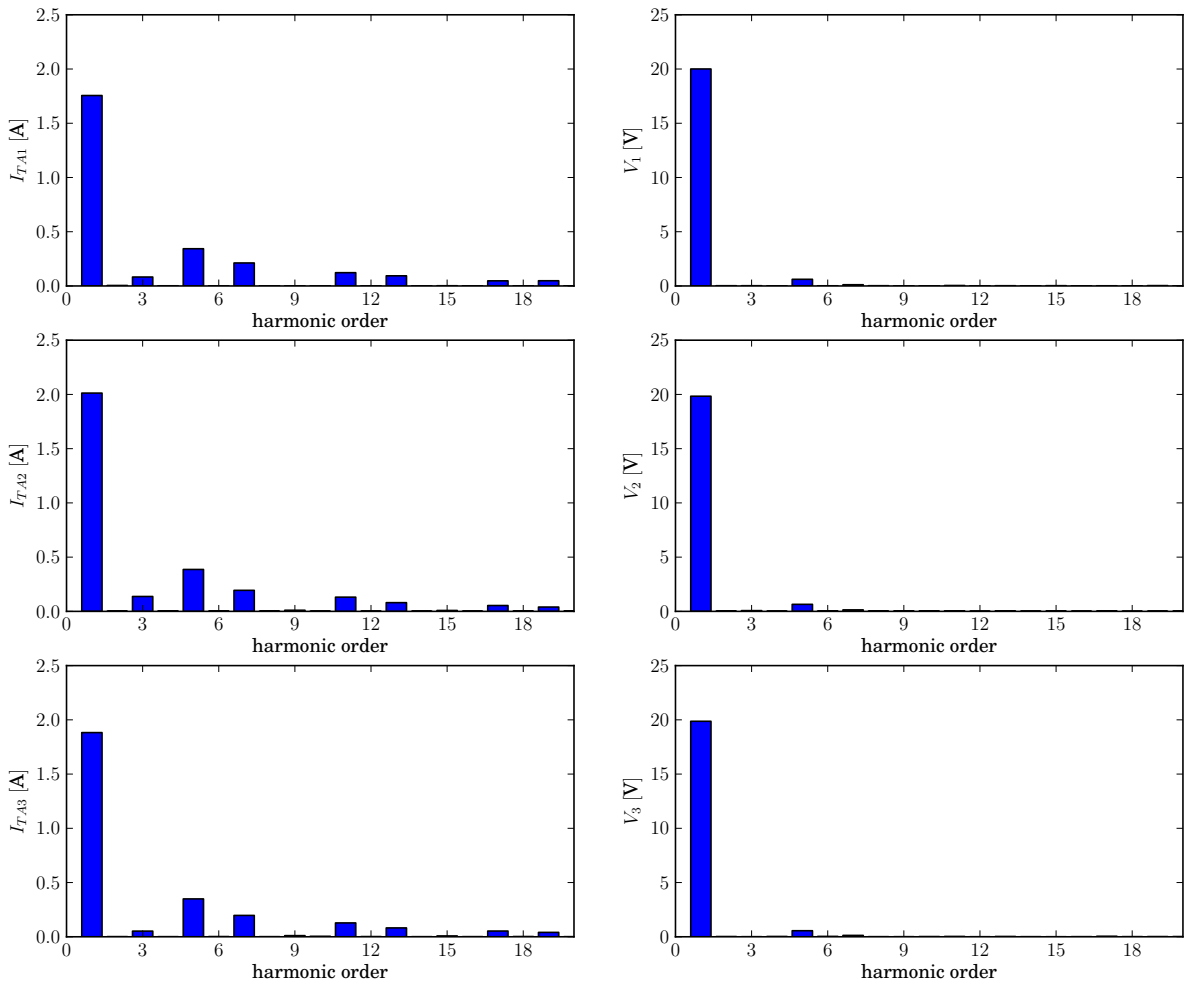
1. $\Delta P_{IN} = P_{IN} - P_{TA} - P_{TB} = 0.12 \text{ W}$
2. $\Delta P_{OUT} = P_{OUT} - P_{OUTA} - P_{OUTB} = 0.20 \text{ W}$
3. $\Delta P_{loss} = P_{IN} - P_{OUT} - \Sigma P_{loss} = -0.08 \text{ W}$



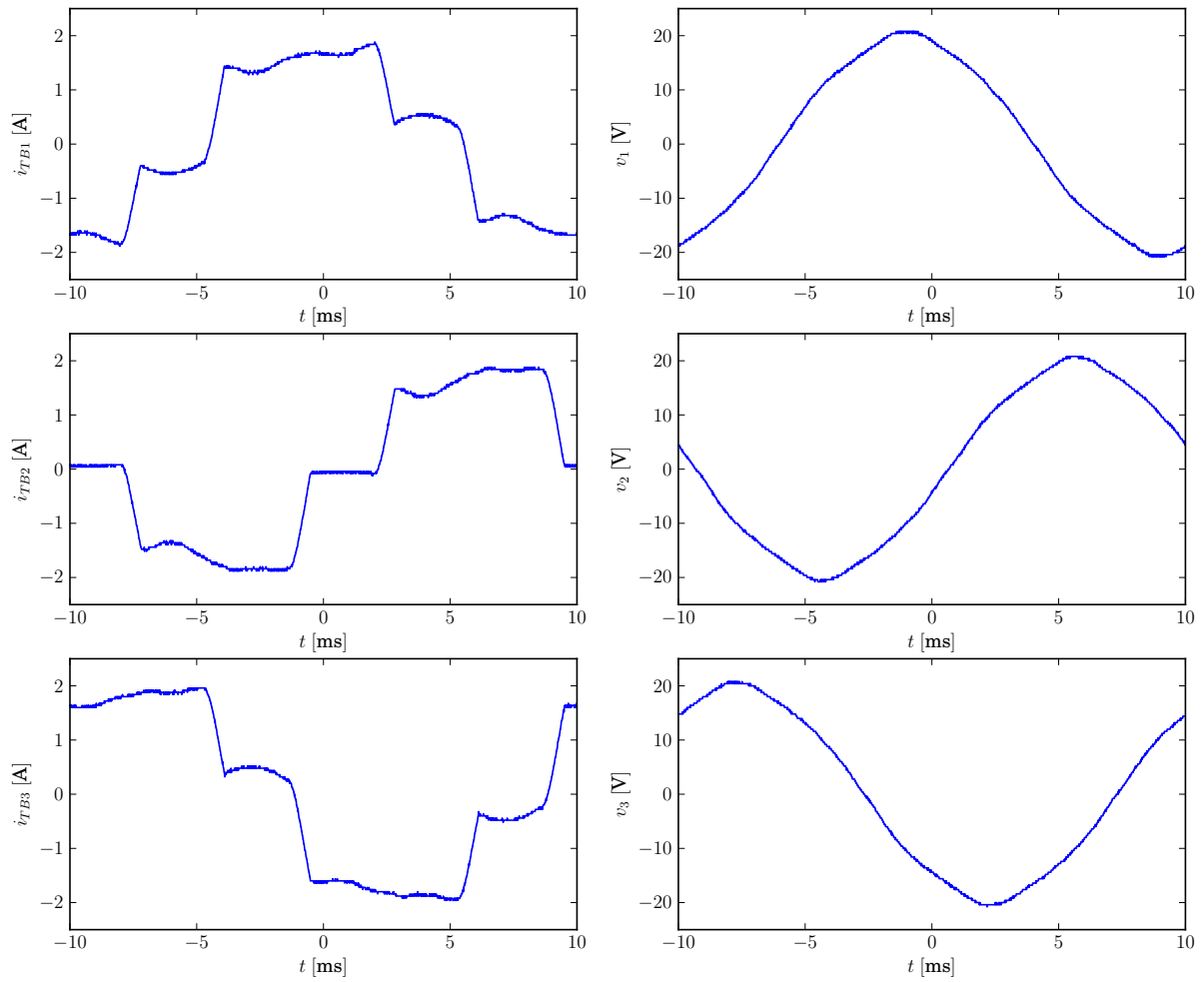
Slika 29: Input spectra, $I_{OUT} = 1.5$ A.



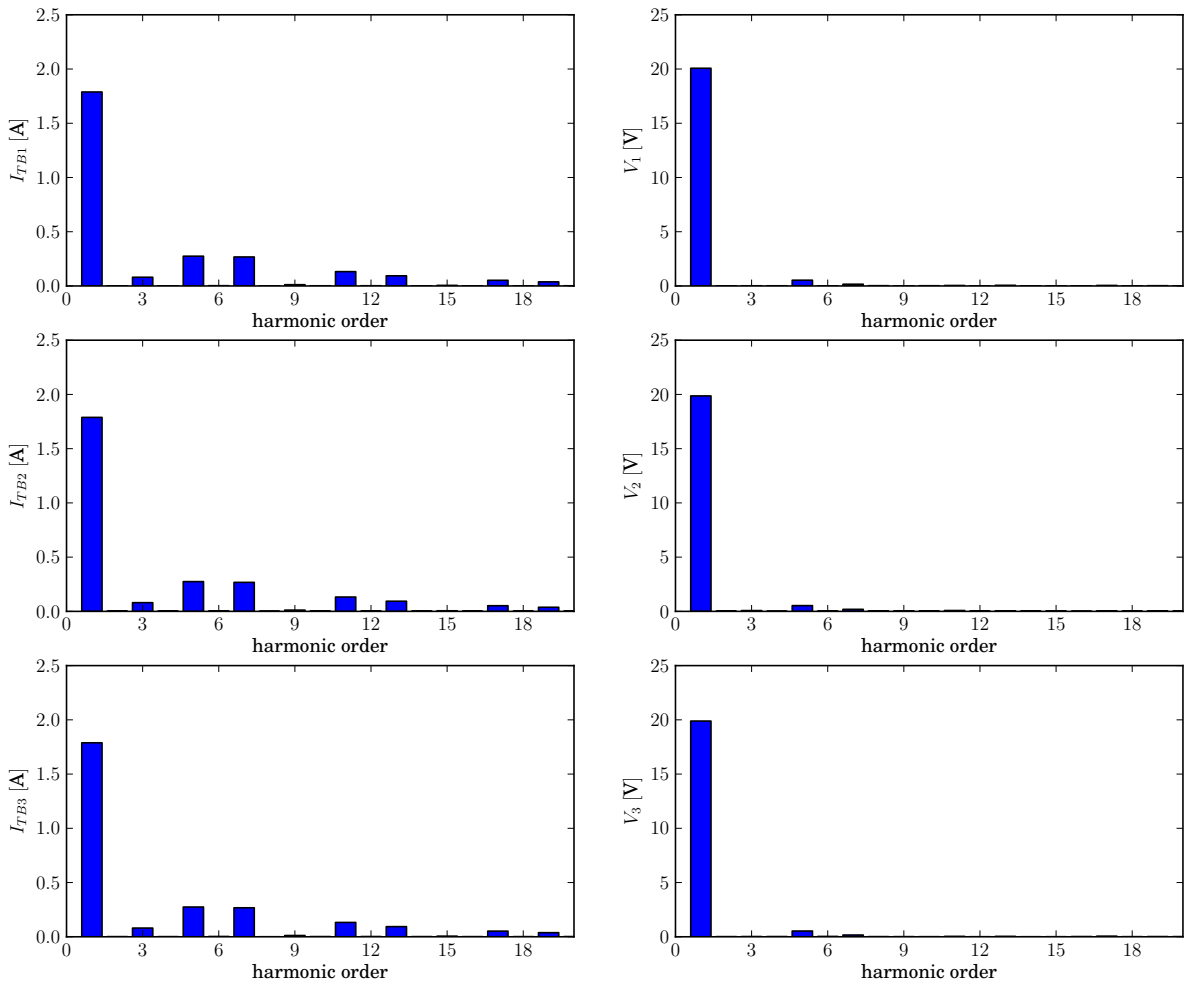
Slika 30: Transformer A waveforms, $I_{OUT} = 1.5$ A.



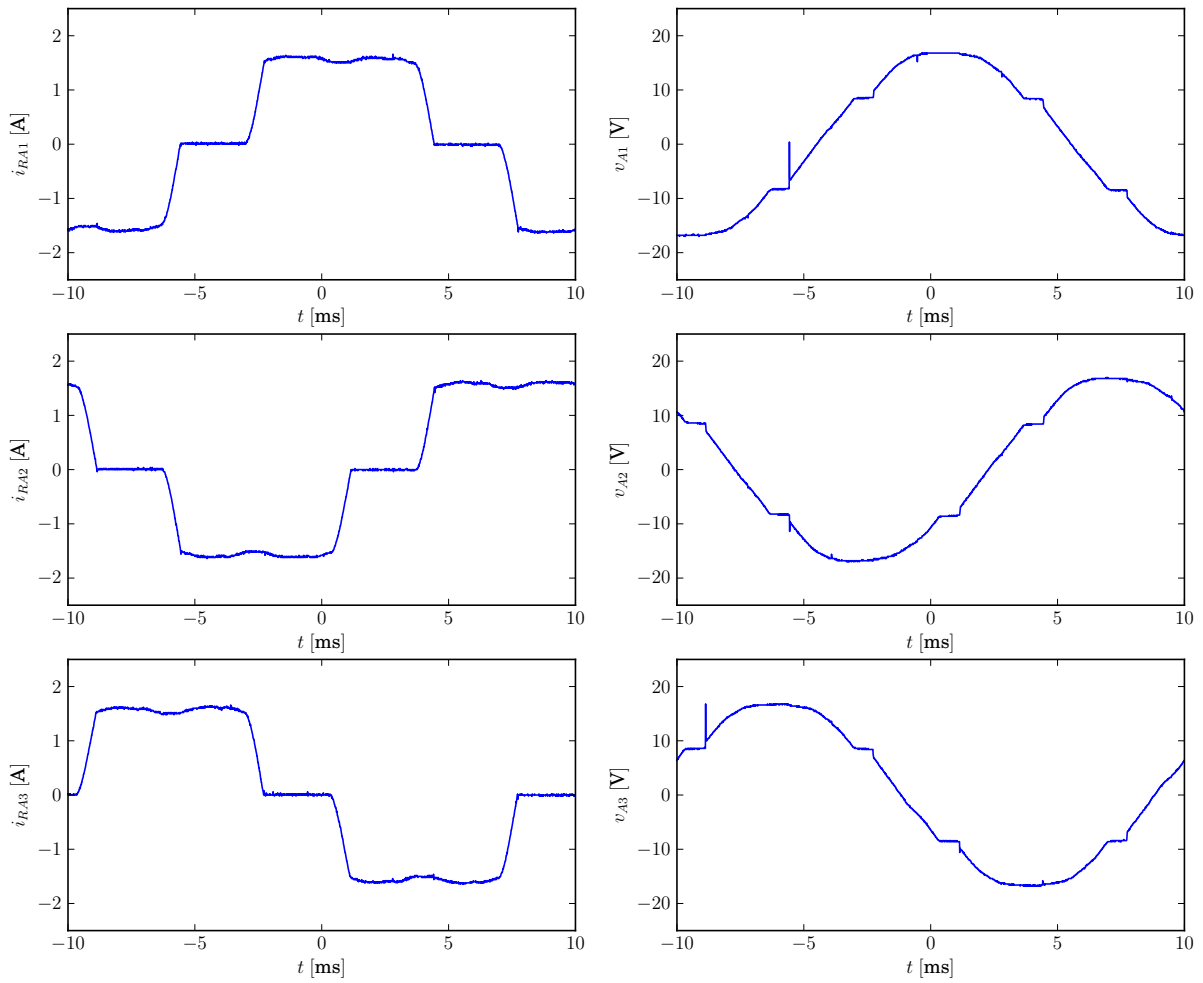
Slika 31: Transformer A spectra, $I_{OUT} = 1.5$ A.



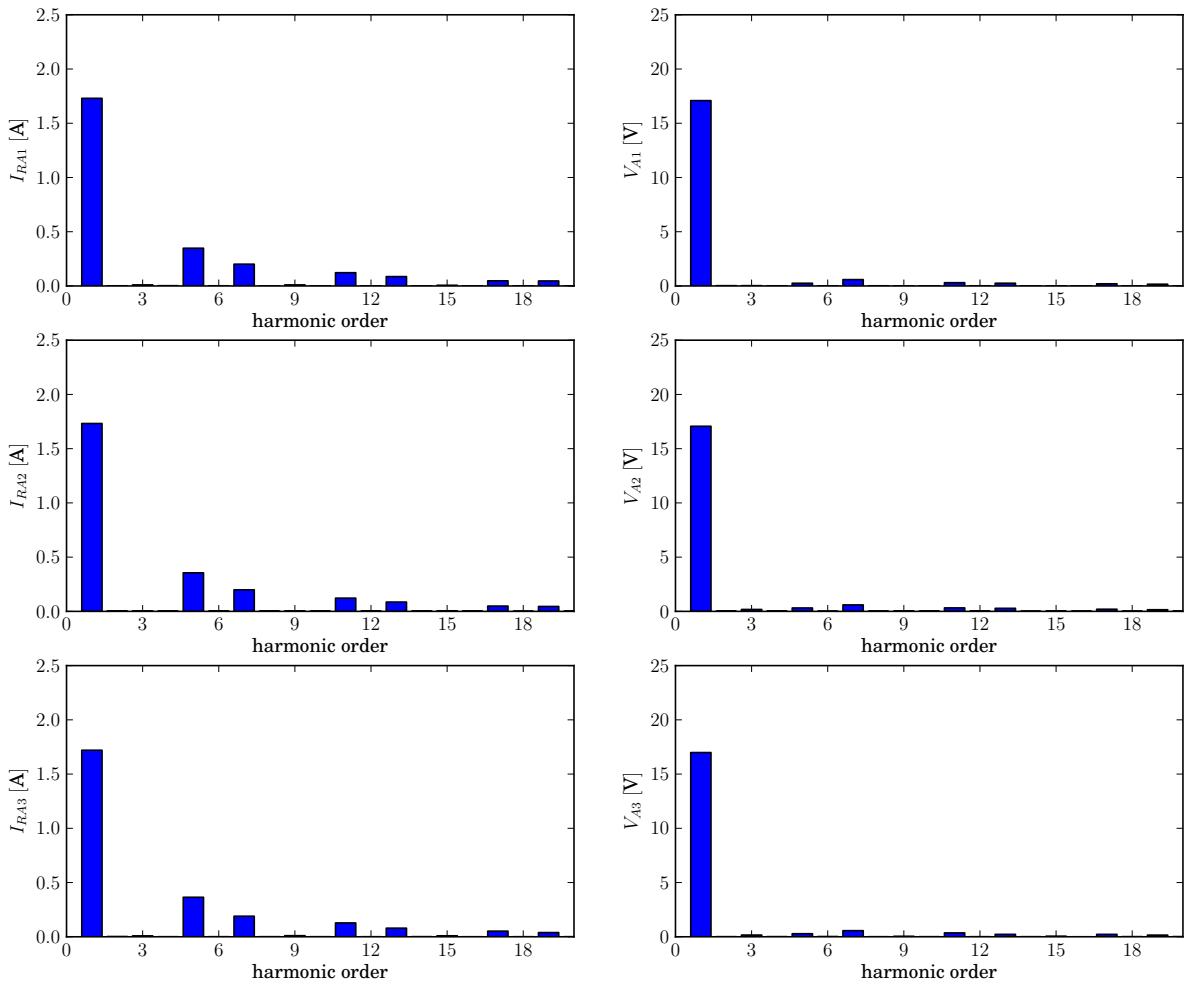
Slika 32: Transformer B waveforms, $I_{OUT} = 1.5$ A.



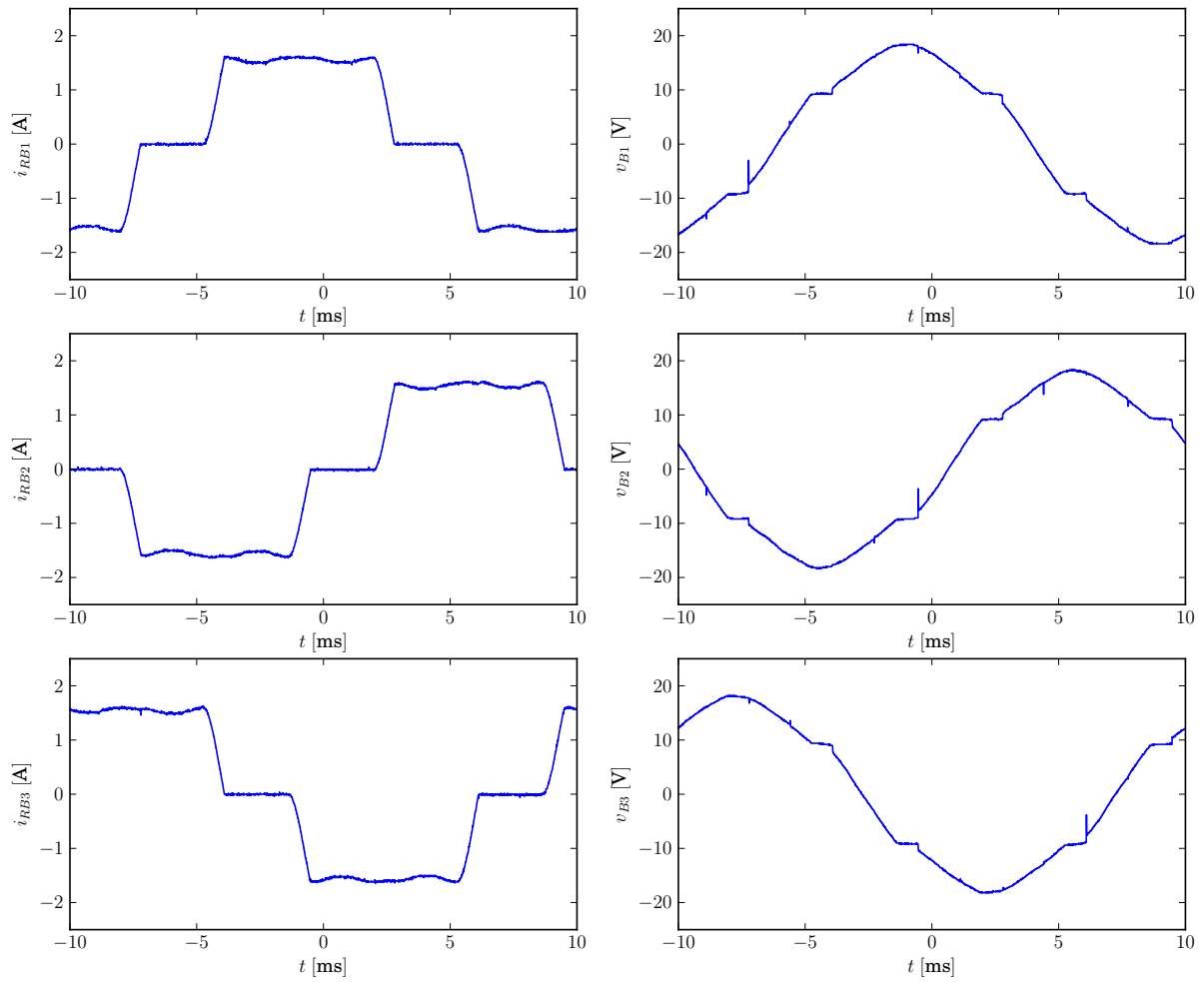
Slika 33: Transformer B spectra, $I_{OUT} = 1.5$ A.



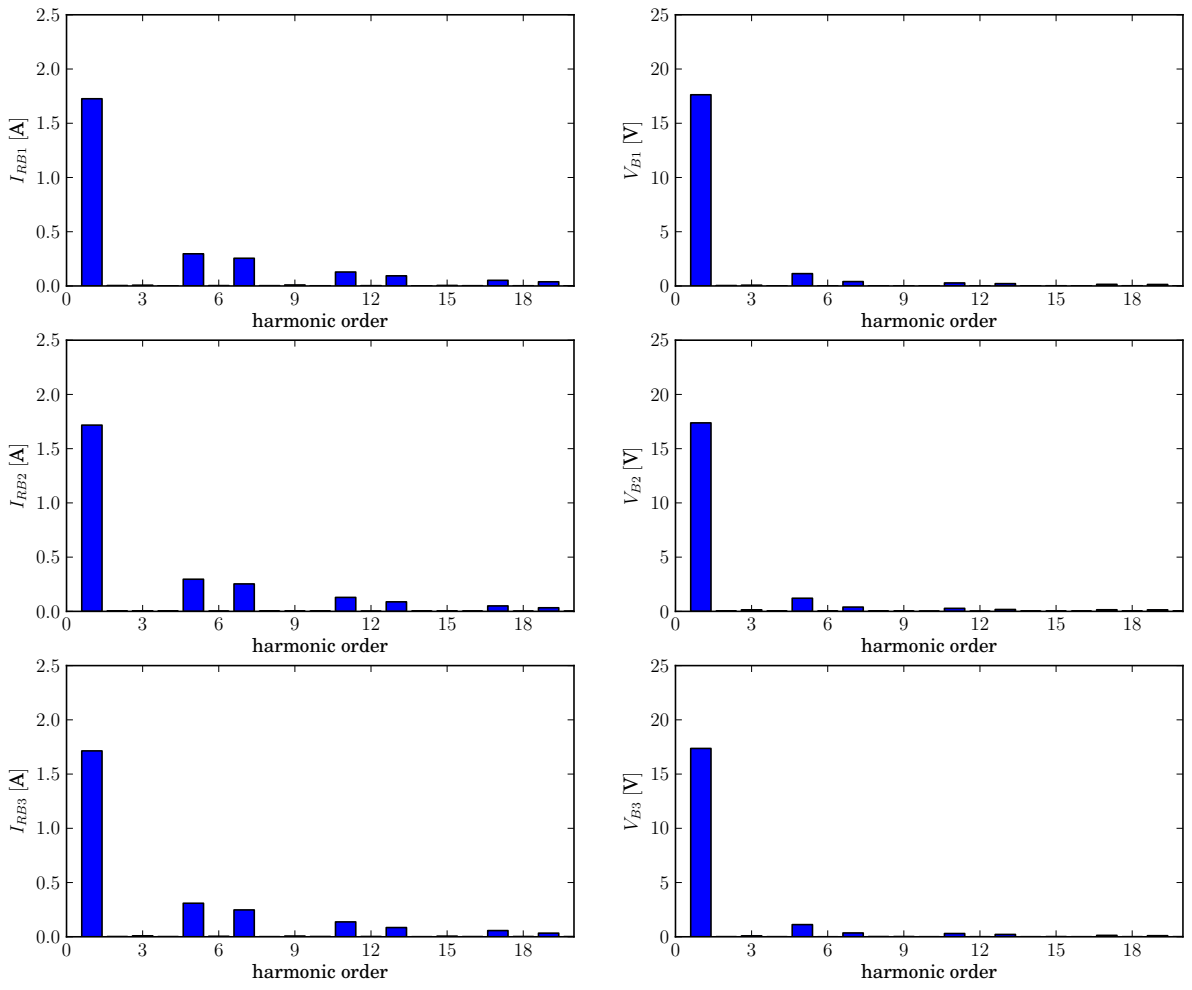
Slika 34: Rectifier A waveforms, $I_{OUT} = 1.5$ A.



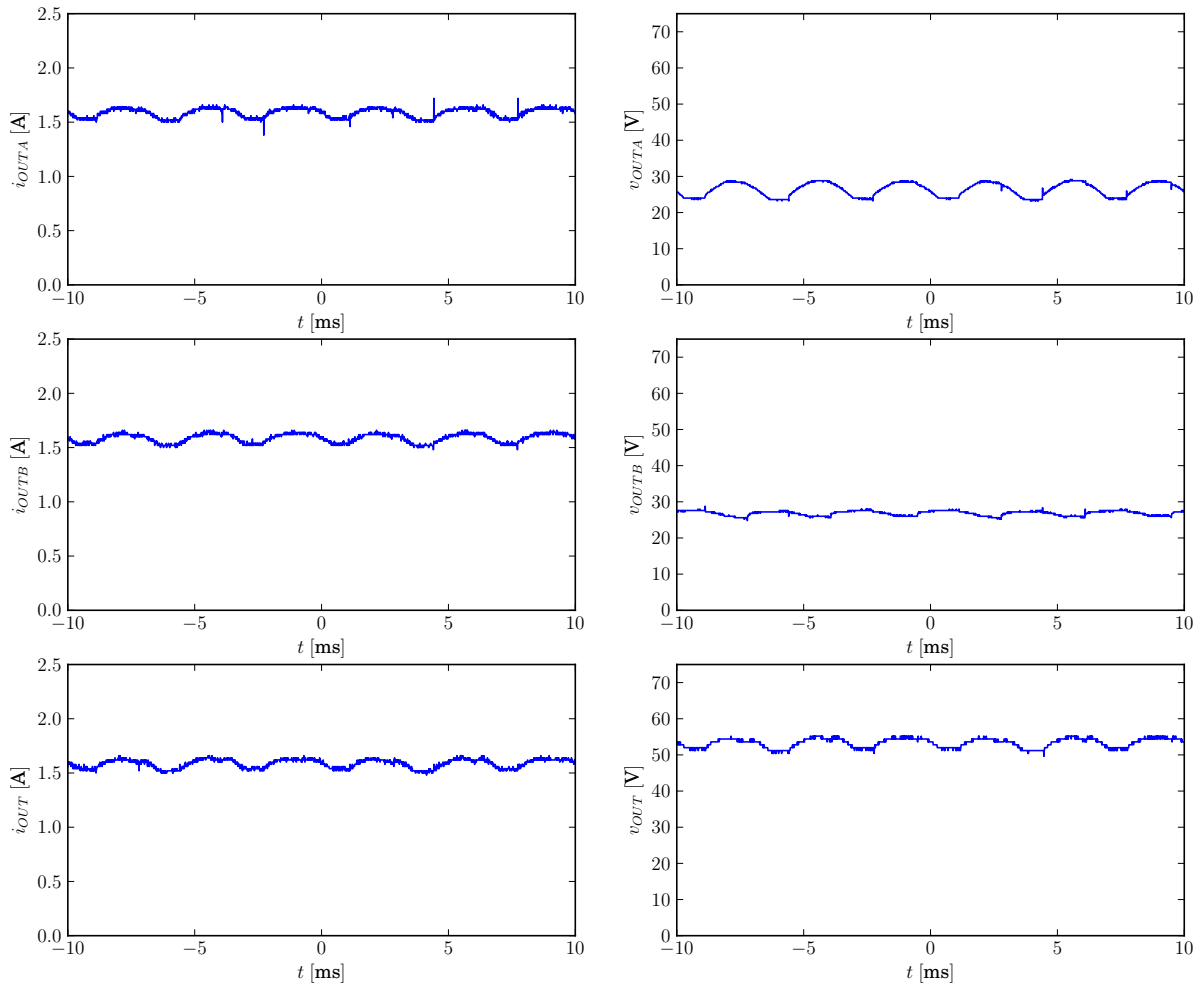
Slika 35: Rectifier A spectra, $I_{OUT} = 1.5$ A.



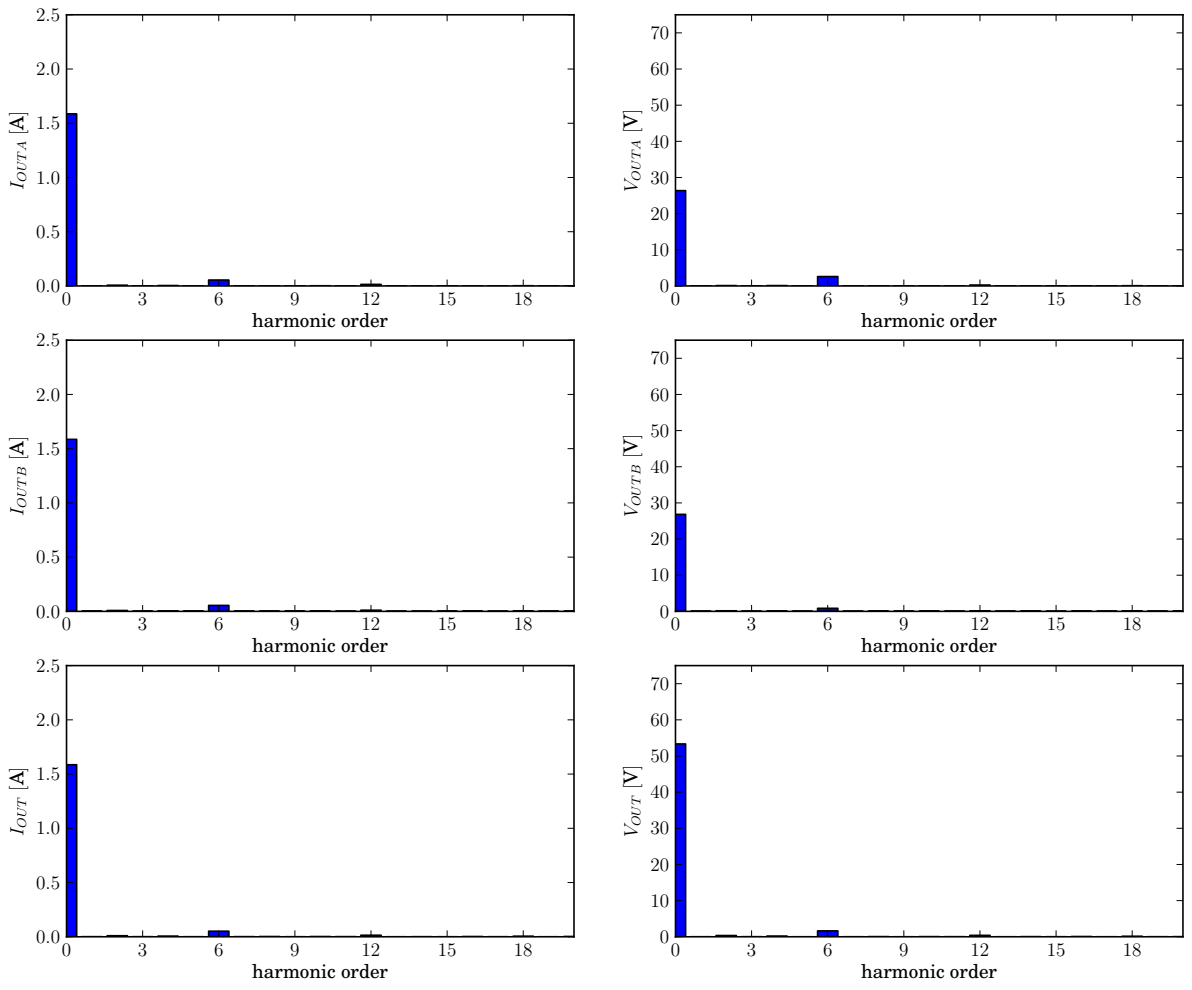
Slika 36: Rectifier B waveforms, $I_{OUT} = 1.5$ A.



Slika 37: Rectifier B spectra, $I_{OUT} = 1.5$ A.

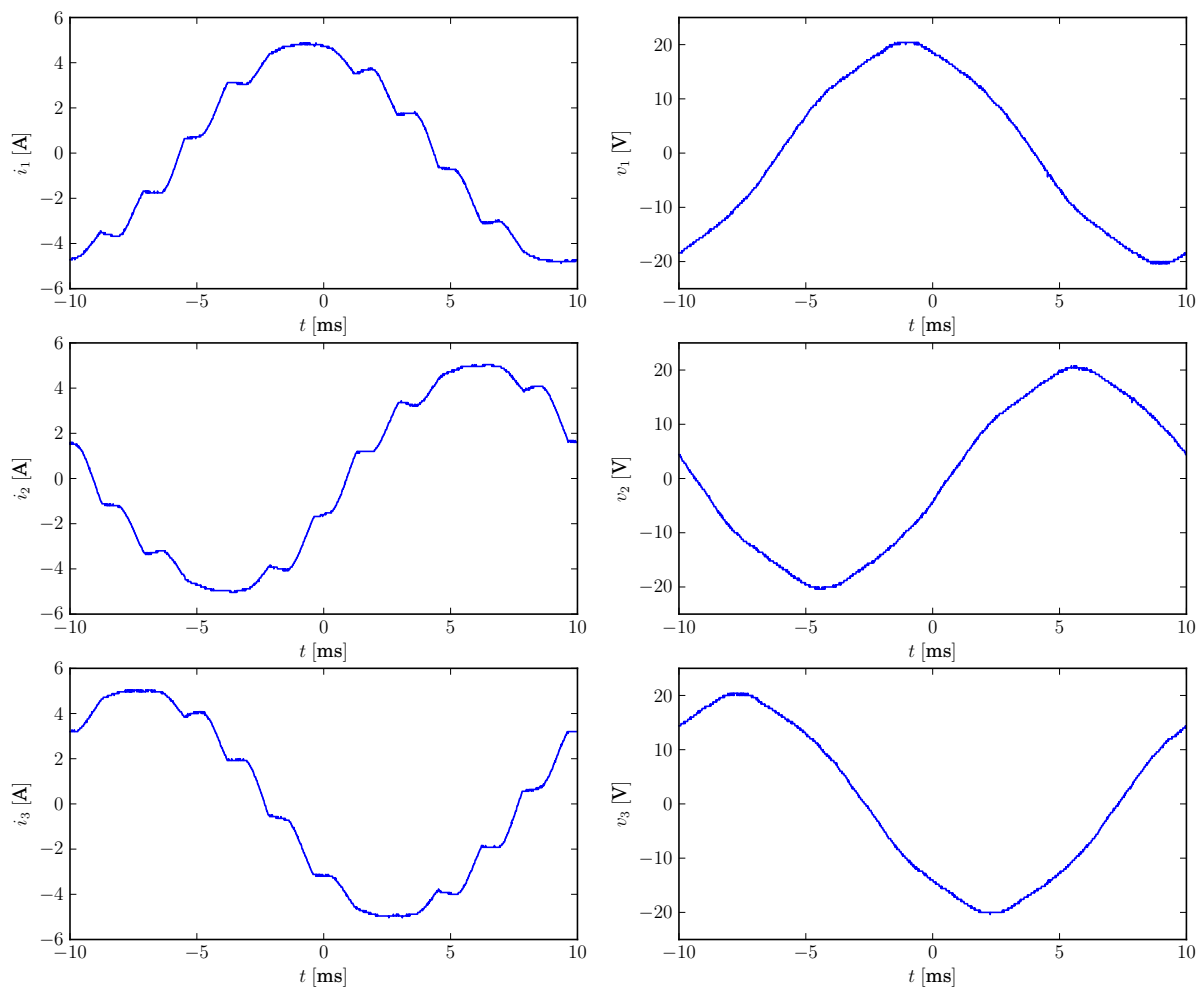


Slika 38: Output waveforms, $I_{OUT} = 1.5$ A.



Slika 39: Output spectra, $I_{OUT} = 1.5$ A.

5 Analiza za $I_{OUT} = 2\text{ A}$



Slika 40: Input waveforms, $I_{OUT} = 2\text{ A}$.

Tabela 22: $I_{OUT} = 2\text{ A}$, input

phase	1	2	3
V_{kRMS} [V]	13.92	13.87	13.83
$THD(v_k)$ [%]	3.20	3.44	3.07
I_{kRMS} [A]	3.37	3.55	3.55
$THD(i_k)$ [%]	8.07	8.12	7.48
P_k [W]	46.27	48.67	48.22
S_k [VA]	46.94	49.24	49.06
PF_k	0.9857	0.9884	0.9828
DPF_k	0.9890	0.9918	0.9859

Tabela 23: $I_{OUT} = 2$ A, transformer A

phase	1	2	3
V_{kRMS} [V]	13.95	13.83	13.81
$THD(v_k)$ [%]	3.17	3.30	3.29
I_{TAkRMS} [A]	1.71	1.85	1.76
$THD(i_{TAk})$ [%]	24.24	23.19	22.51
P_{TAk} [W]	23.07	24.81	23.40
S_{TAk} [VA]	23.81	25.54	24.36
PF_{TAk}	0.9690	0.9712	0.9605
DPF_{TAk}	0.9930	0.9927	0.9803

Tabela 24: $I_{OUT} = 2$ A, transformer B

phase	1	2	3
V_{kRMS} [V]	13.95	13.81	13.82
$THD(v_k)$ [%]	3.29	3.26	2.82
I_{TBkRMS} [A]	1.71	1.74	1.83
$THD(i_{TBk})$ [%]	22.43	23.08	21.66
P_{TBk} [W]	22.85	23.20	24.32
S_{TBk} [VA]	23.92	24.09	25.24
PF_{TBk}	0.9550	0.9632	0.9634
DPF_{TBk}	0.9833	0.9932	0.9891

Tabela 25: $I_{OUT} = 2$ A, rectifier A

phase	1	2	3
V_{AkRMS} [V]	10.92	10.94	10.84
$THD(v_{Ak})$ [%]	6.45	6.54	6.70
I_{RAkRMS} [A]	1.68	1.69	1.67
$THD(i_{RAk})$ [%]	23.72	23.53	24.27
P_{RAk} [W]	17.56	17.71	17.29
S_{RAk} [VA]	18.32	18.44	18.07
PF_{RAk}	0.9585	0.9602	0.9569
DPF_{RAk}	0.9981	0.9977	0.9978

Tabela 26: $I_{OUT} = 2$ A, rectifier B

phase	1	2	3
V_{BkRMS} [V]	11.48	11.35	11.32
$THD(v_{Bk})$ [%]	9.27	9.25	9.33
I_{RBkRMS} [A]	1.67	1.67	1.66
$THD(i_{RBk})$ [%]	22.92	23.04	23.18
P_{RBk} [W]	18.24	18.02	17.87
S_{RBk} [VA]	19.18	18.95	18.80
PF_{RBk}	0.9513	0.9508	0.9505
DPF_{RBk}	0.9986	0.9985	0.9985

Tabela 27: $I_{OUT} = 2$ A, output

output	rectifier A	rectifier B	complete output
I_{OUT} [A]	2.13	2.13	2.13
V_{OUT} [V]	23.41	24.33	47.94
P_{OUT} [W]	49.87	51.79	102.23

Snage:

1. $P_{IN} = 143.15 \text{ W}$
2. $P_{TA} = 71.28 \text{ W}$
3. $P_{TB} = 70.37 \text{ W}$
4. $P_{RA} = 52.56 \text{ W}$
5. $P_{RB} = 54.14 \text{ W}$
6. $P_{OUTA} = 49.87 \text{ W}$
7. $P_{OUTB} = 51.79 \text{ W}$
8. $P_{OUT} = 102.23 \text{ W}$

Gubici:

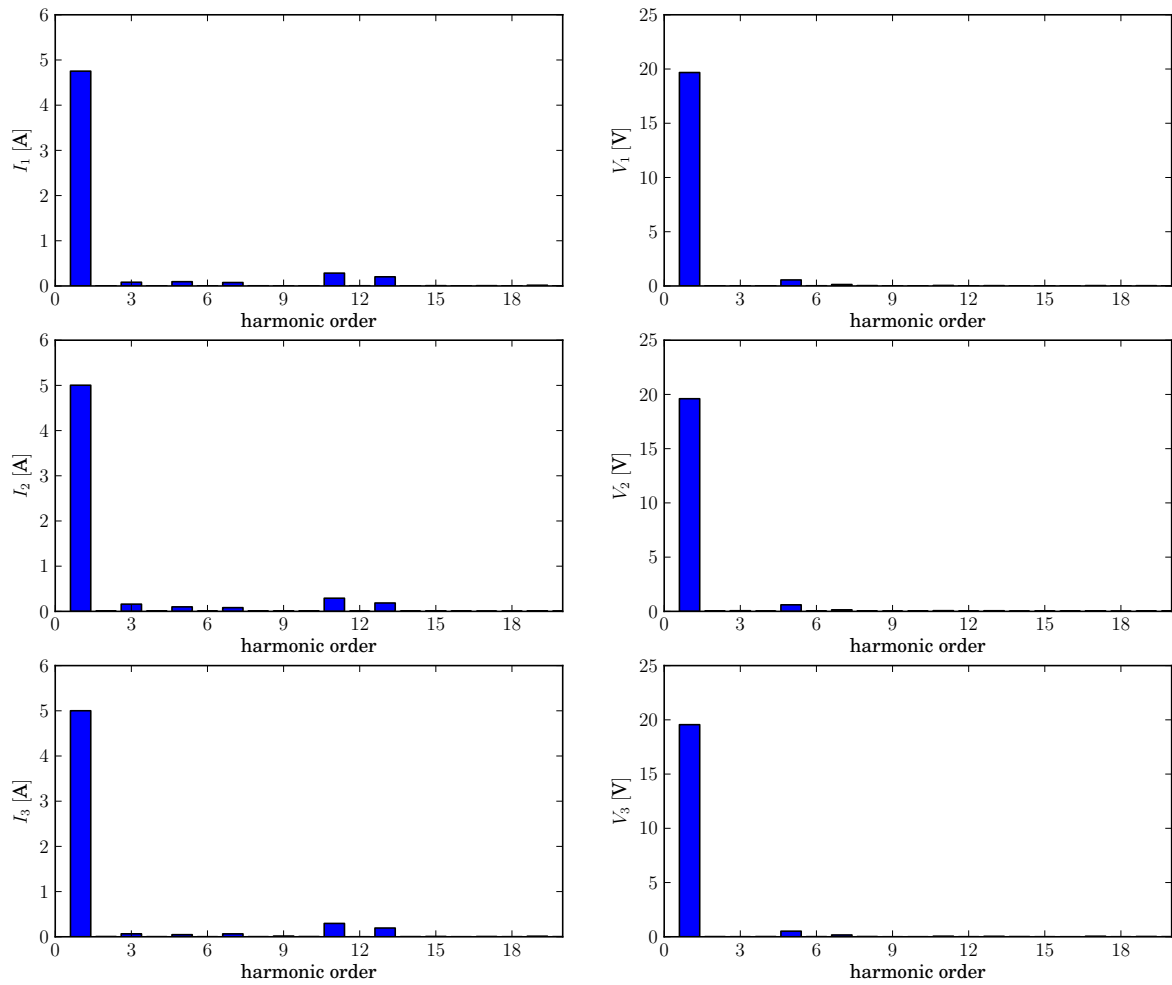
1. $P_{lossTA} = 18.72 \text{ W}$
2. $P_{lossTB} = 16.23 \text{ W}$
3. $P_{lossRA} = 2.68 \text{ W}$
4. $P_{lossRB} = 2.34 \text{ W}$
5. $P_{loss} = P_{IN} - P_{OUT} = 40.93 \text{ W}$

Koeficijenti korisnog dejstva:

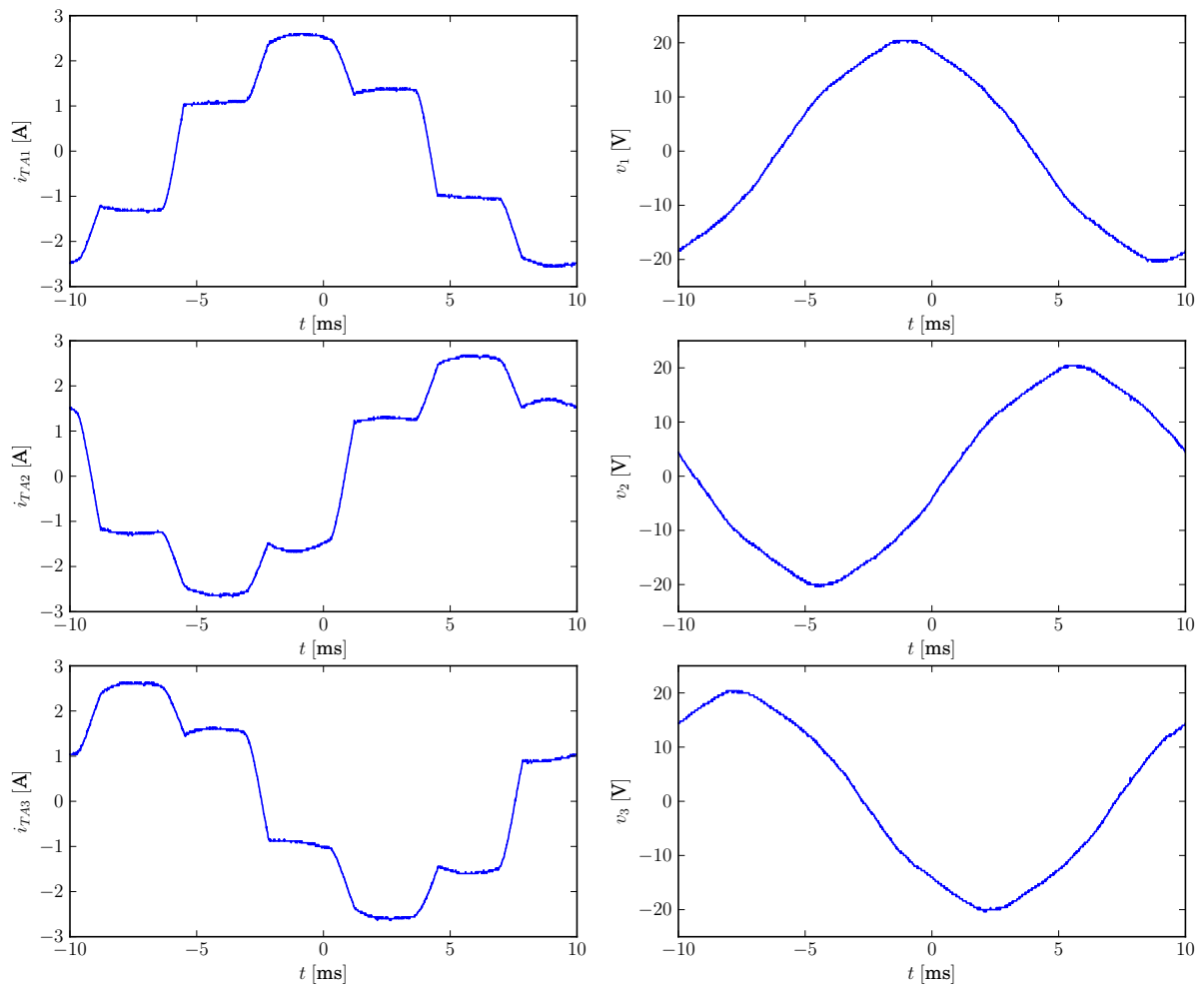
1. $\eta_{TA} = 73.73\%$
2. $\eta_{TB} = 76.94\%$
3. $\eta_{RA} = 94.89\%$
4. $\eta_{RB} = 95.67\%$
5. $\eta = 71.41\%$

Nekonzistentnosti u snagama:

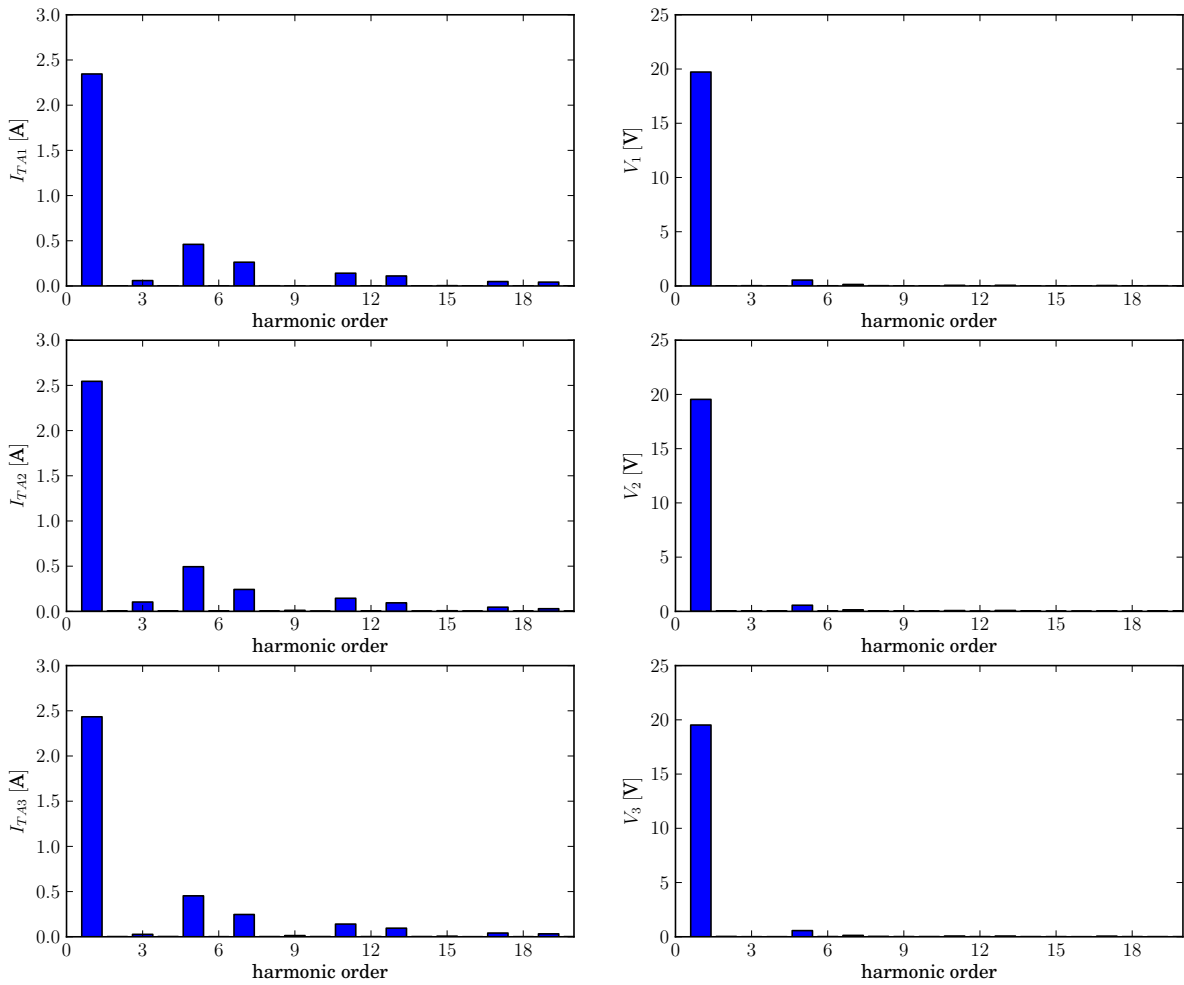
1. $\Delta P_{IN} = P_{IN} - P_{TA} - P_{TB} = 1.51 \text{ W}$
2. $\Delta P_{OUT} = P_{OUT} - P_{OUTA} - P_{OUTB} = 0.56 \text{ W}$
3. $\Delta P_{loss} = P_{IN} - P_{OUT} - \Sigma P_{loss} = 0.94 \text{ W}$



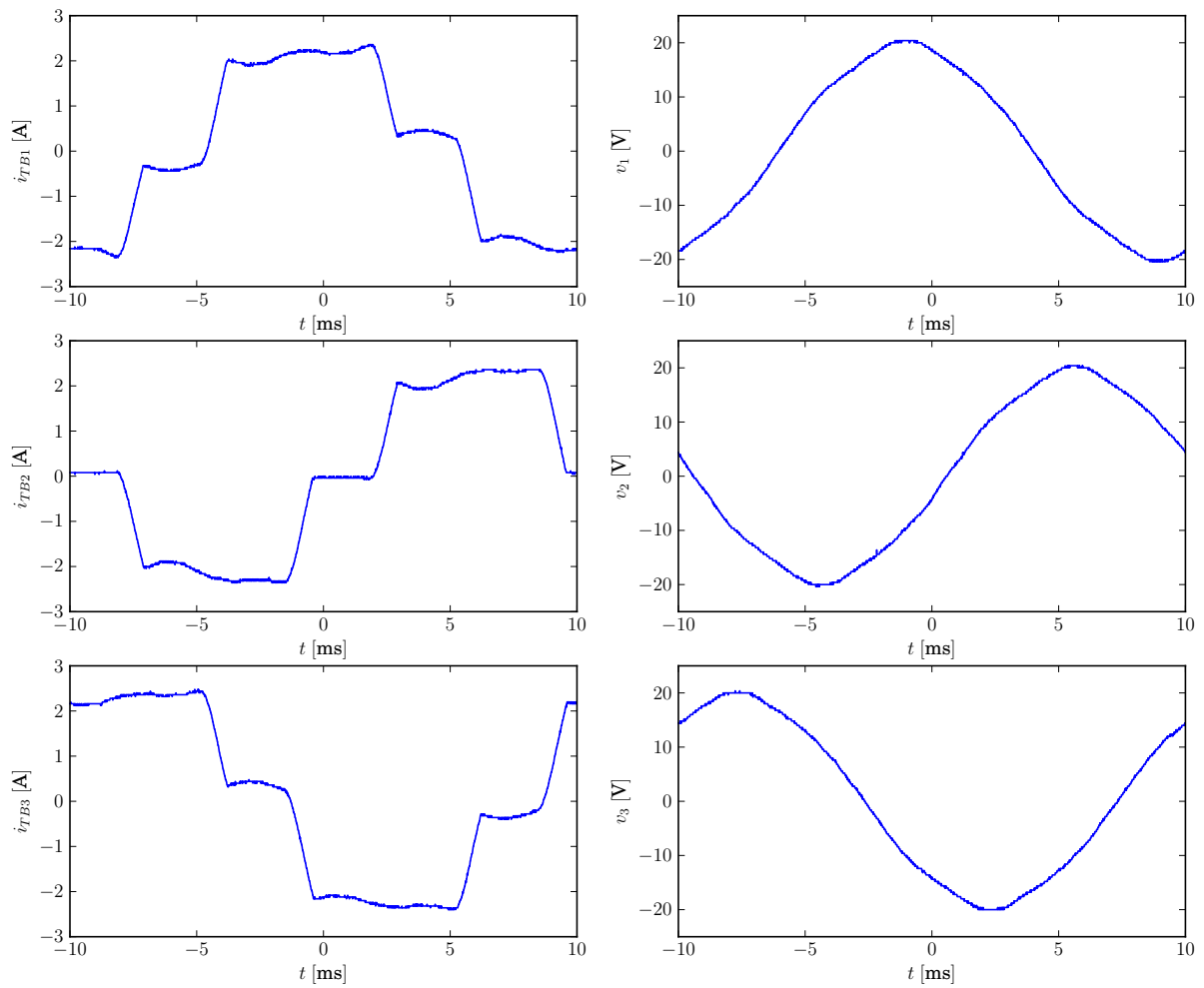
Slika 41: Input spectra, $I_{OUT} = 2$ A.



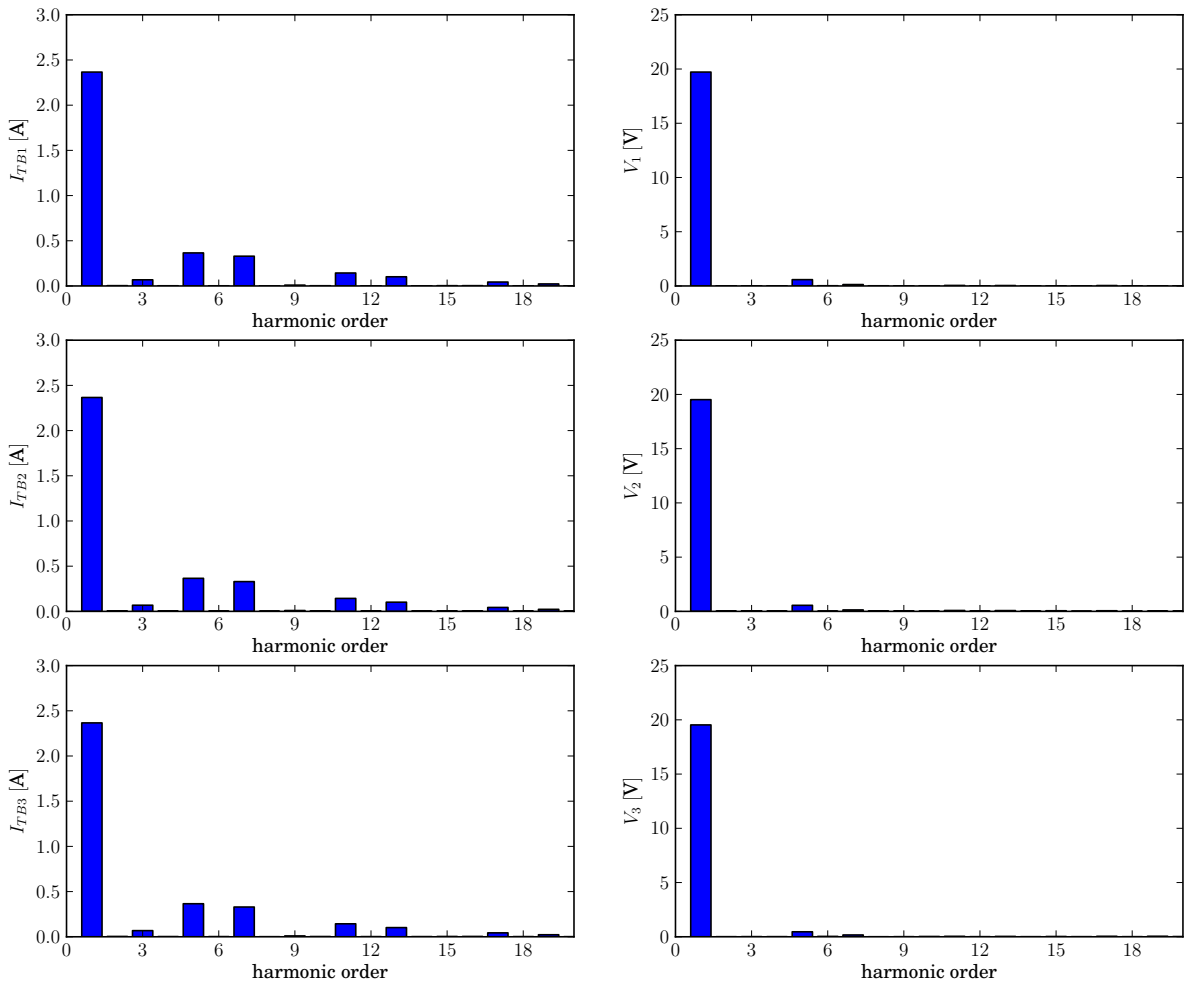
Slika 42: Transformer A waveforms, $I_{OUT} = 2$ A.



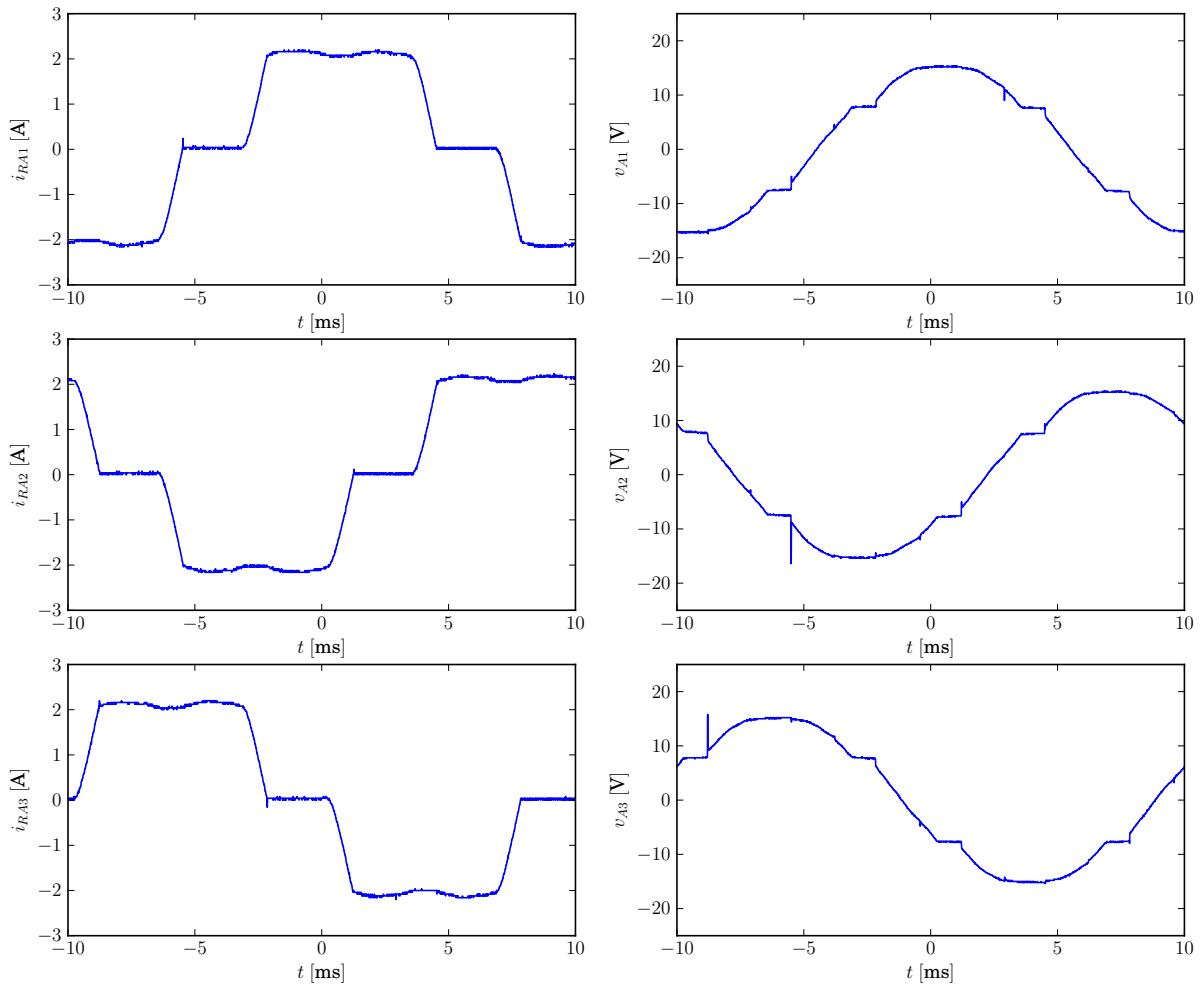
Slika 43: Transformer A spectra, $I_{OUT} = 2$ A.



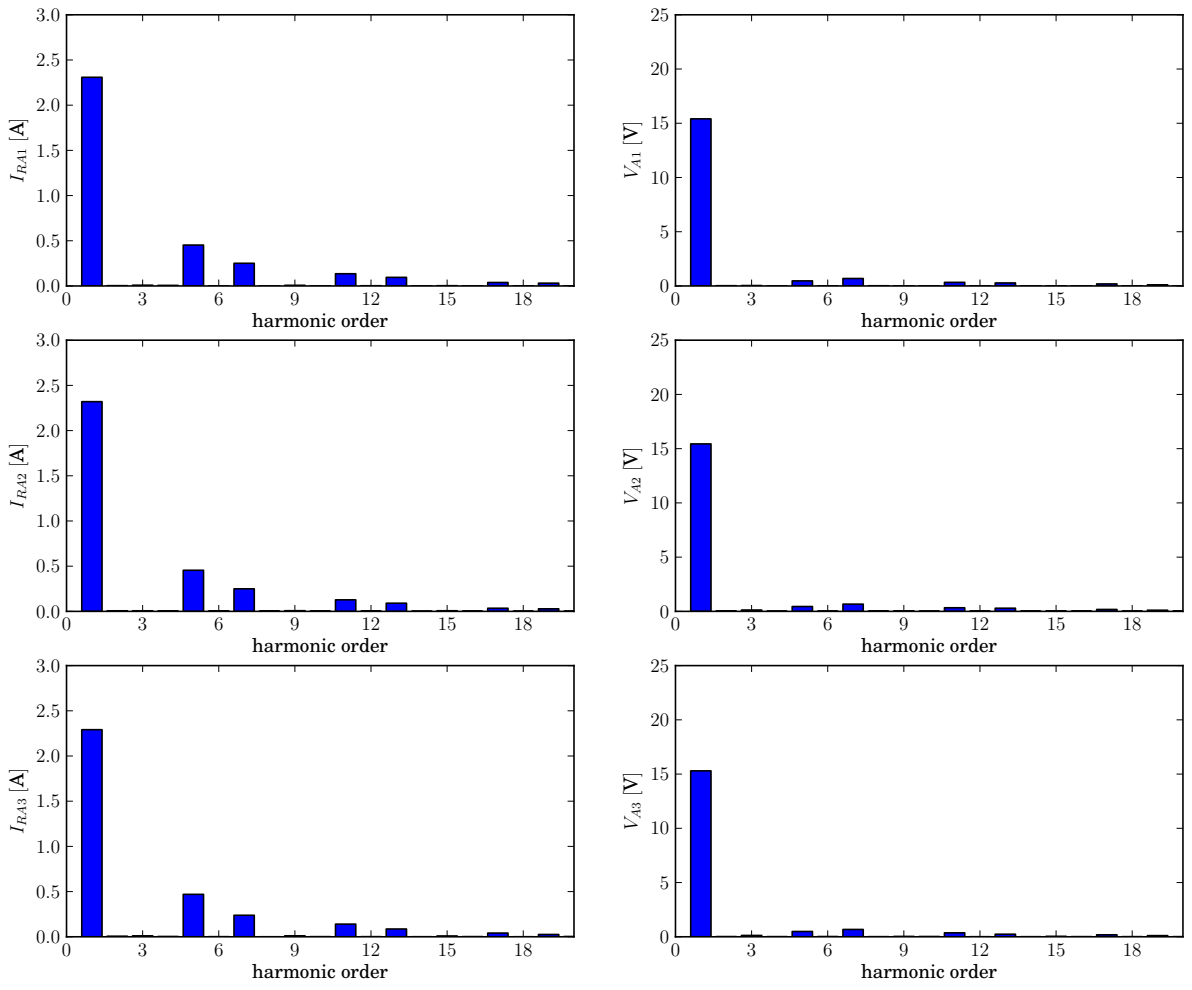
Slika 44: Transformer B waveforms, $I_{OUT} = 2$ A.



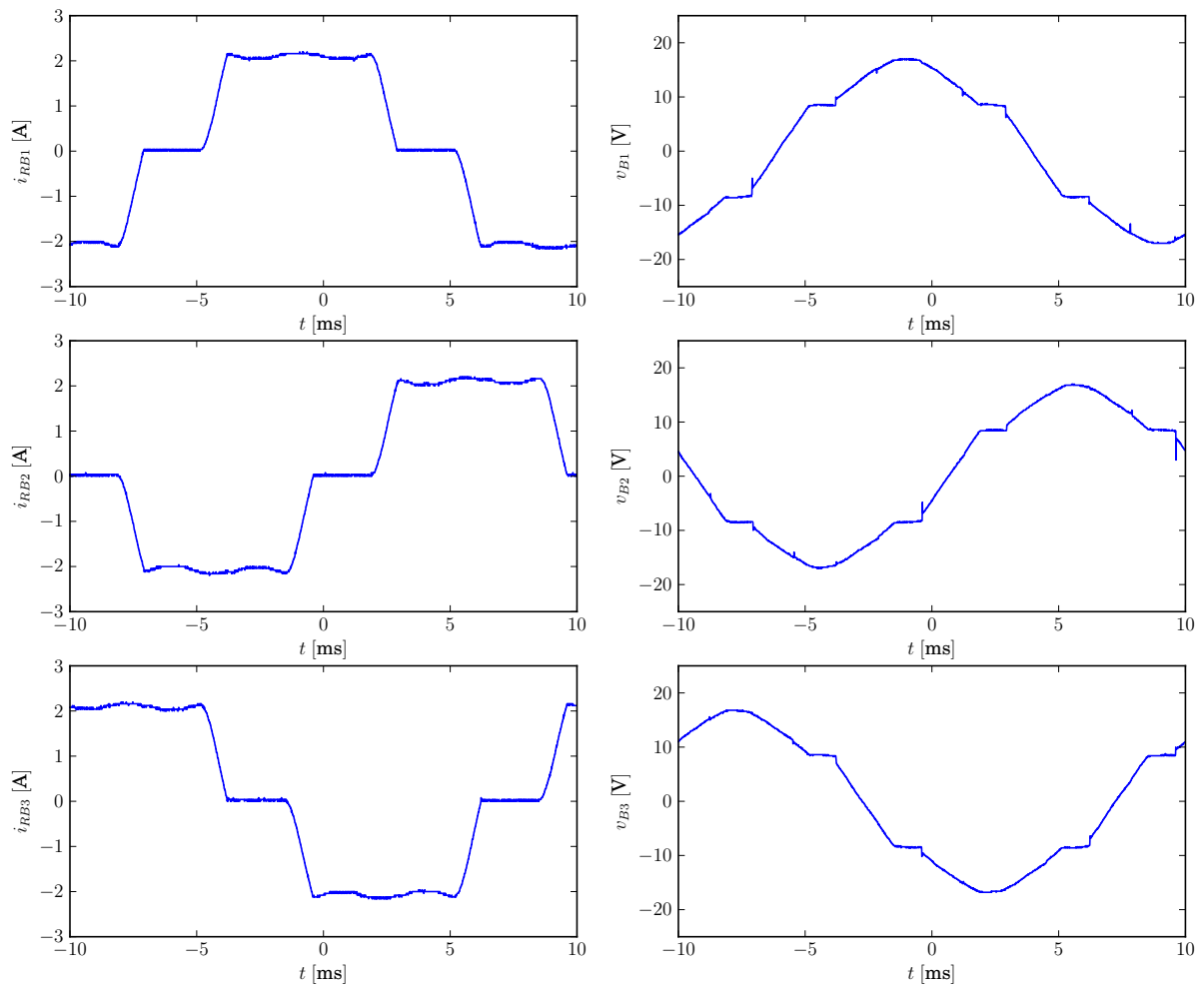
Slika 45: Transformer B spectra, $I_{OUT} = 2$ A.



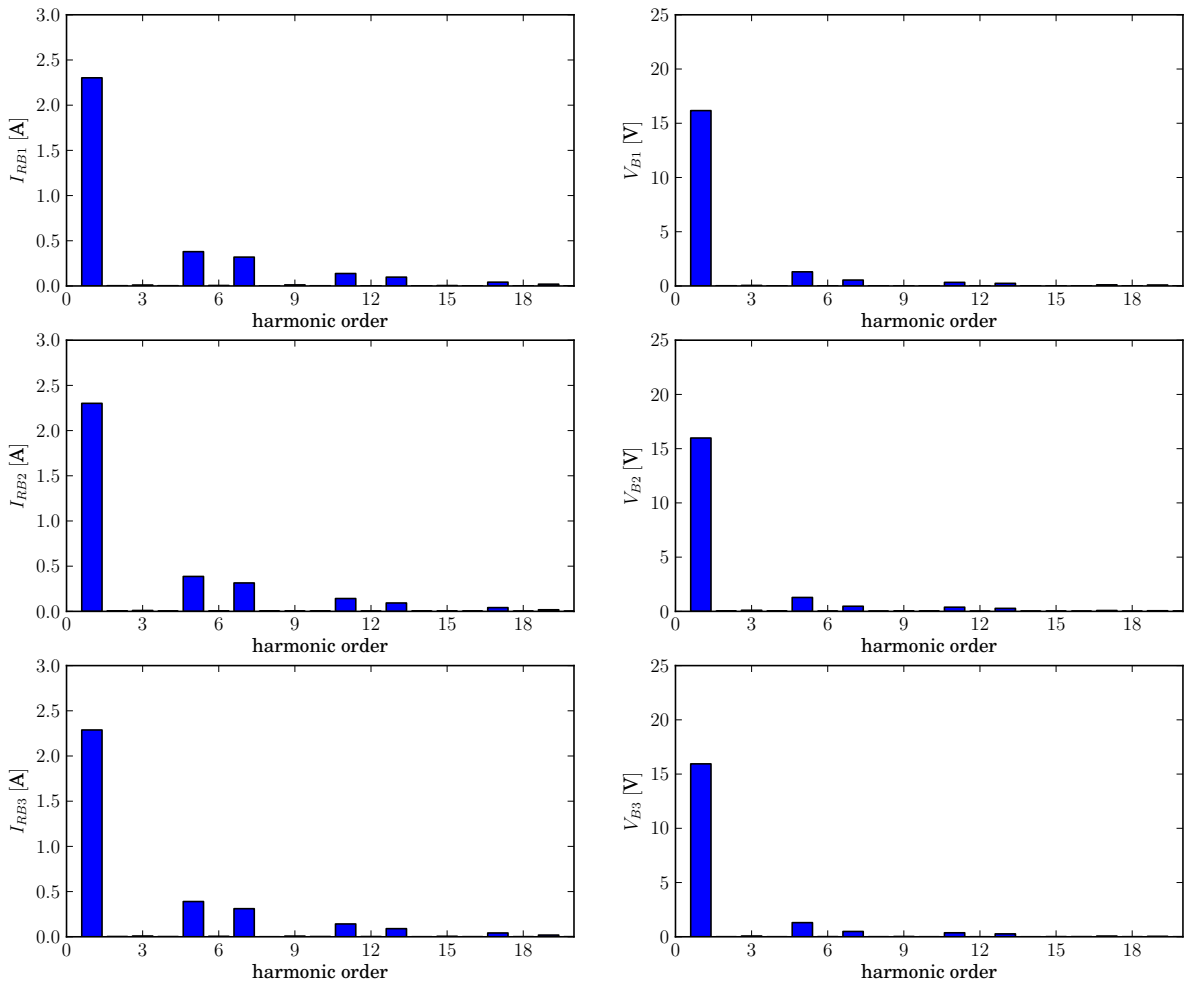
Slika 46: Rectifier A waveforms, $I_{OUT} = 2$ A.



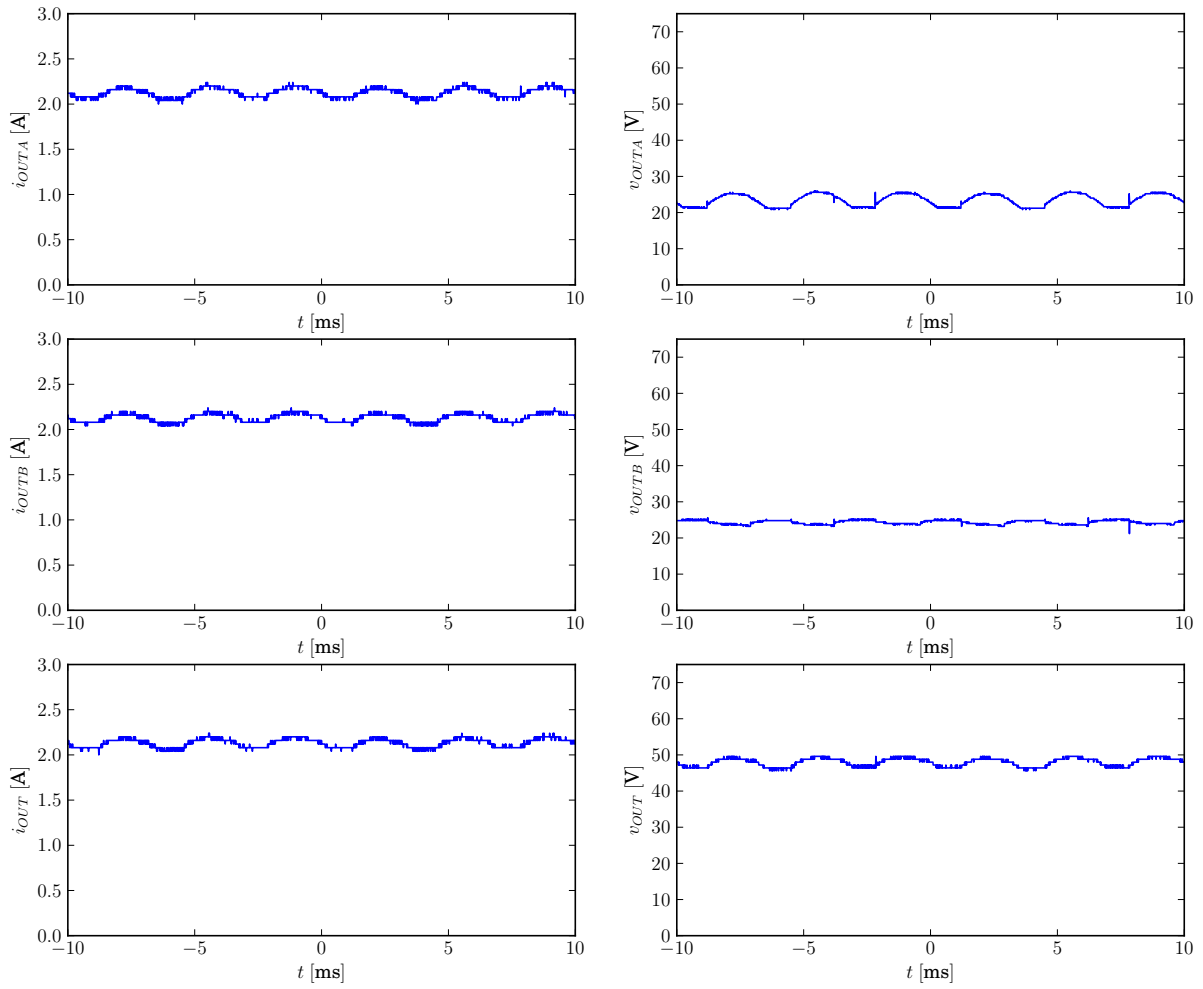
Slika 47: Rectifier A spectra, $I_{OUT} = 2\text{ A}$.



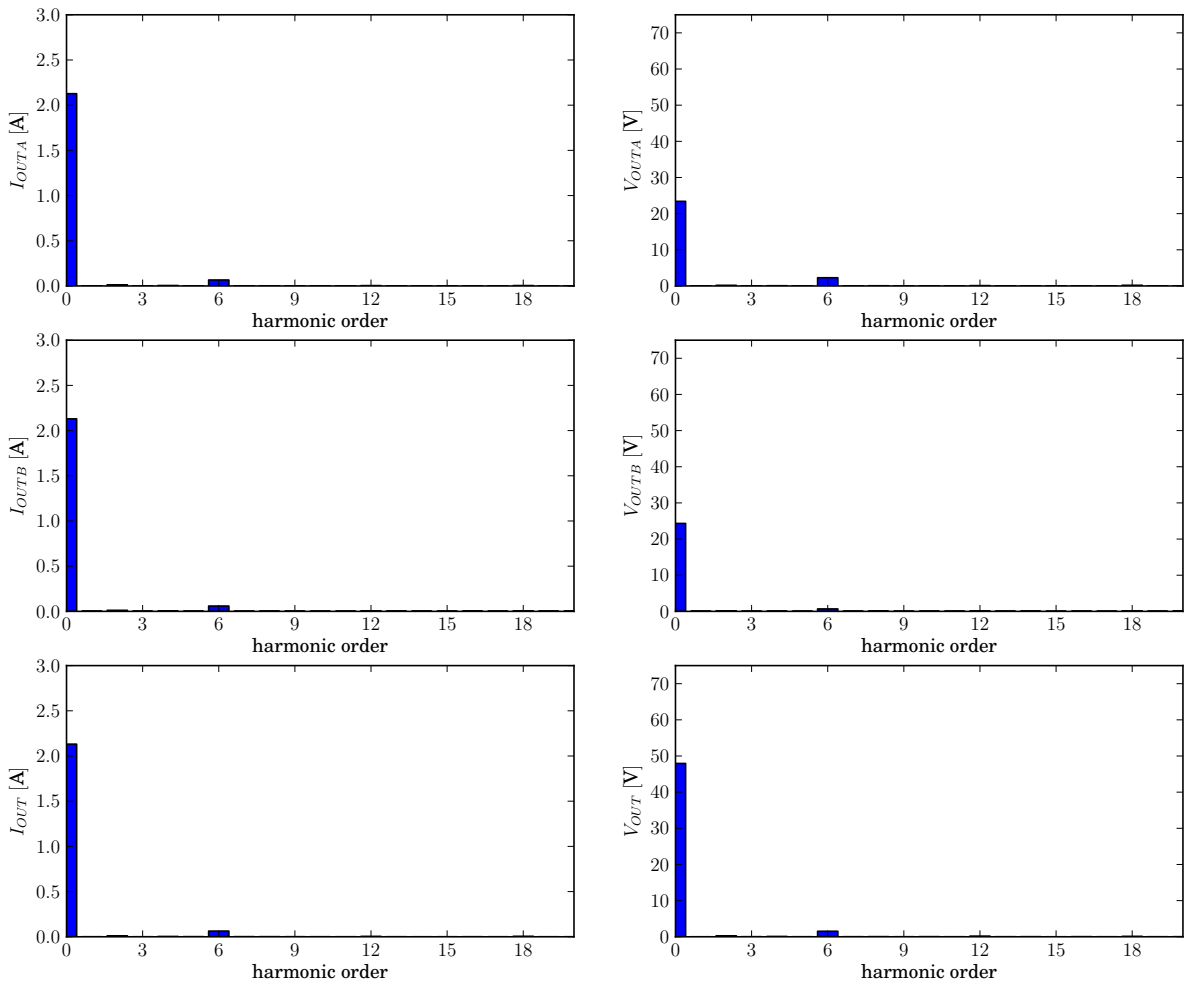
Slika 48: Rectifier B waveforms, $I_{OUT} = 2$ A.



Slika 49: Rectifier B spectra, $I_{OUT} = 2 \text{ A}$.

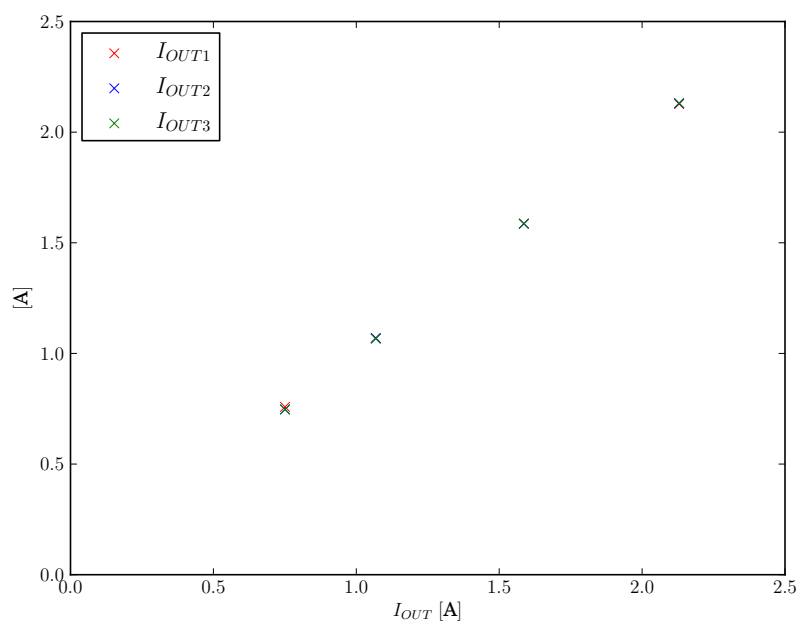


Slika 50: Output waveforms, $I_{OUT} = 2$ A.



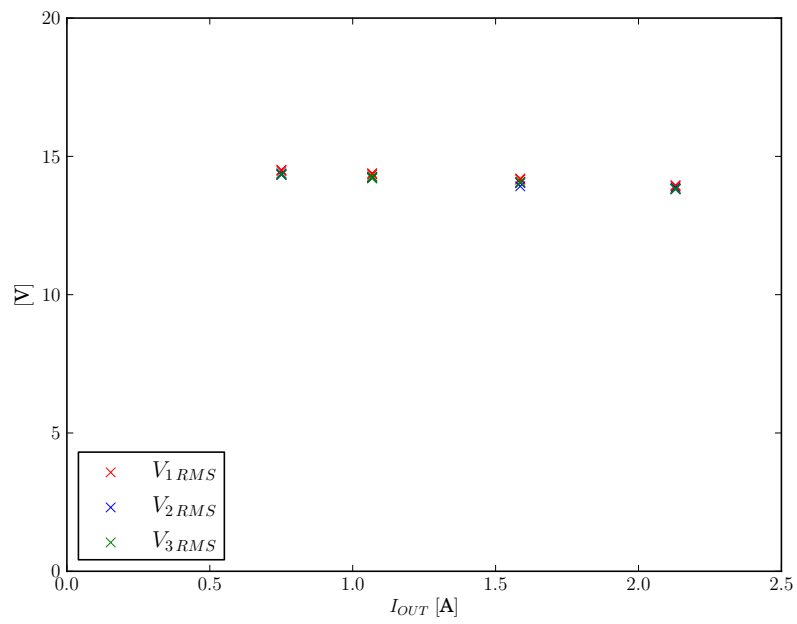
Slika 51: Output spectra, $I_{OUT} = 2$ A.

6 Zavisnosti od I_{OUT}

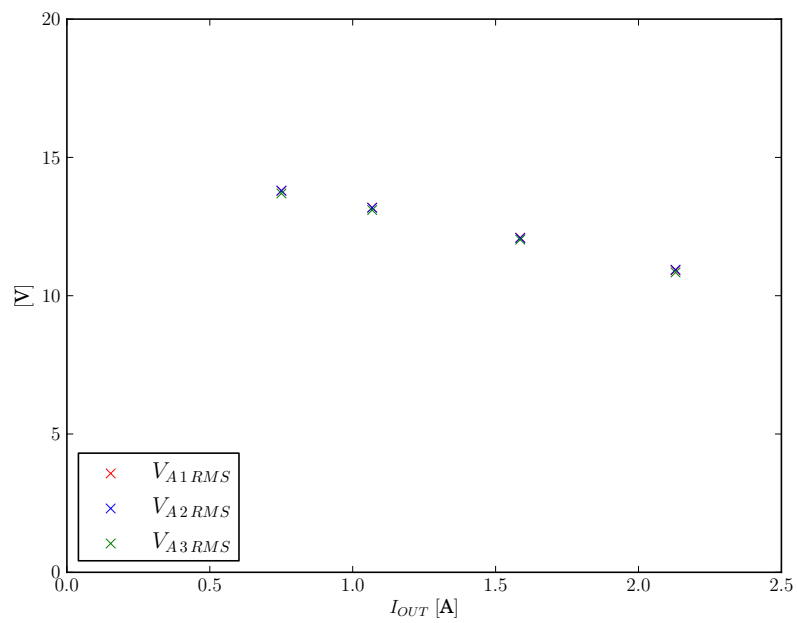


Slika 52: Tri puta merena I_{OUT} u zavisnosti od srednje vrednosti.

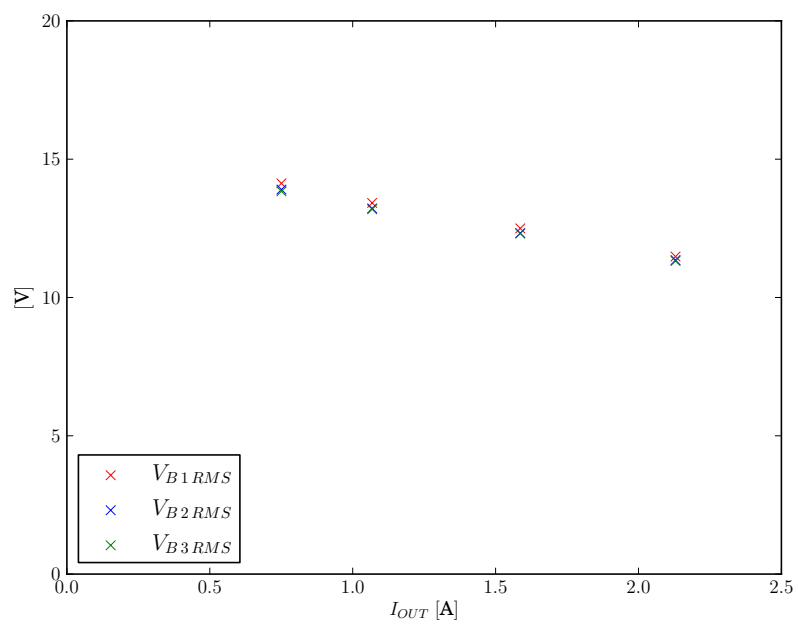
6.1 Efektivne vrednosti napona



Slika 53: Efektivne vrednosti ulaznih napona.

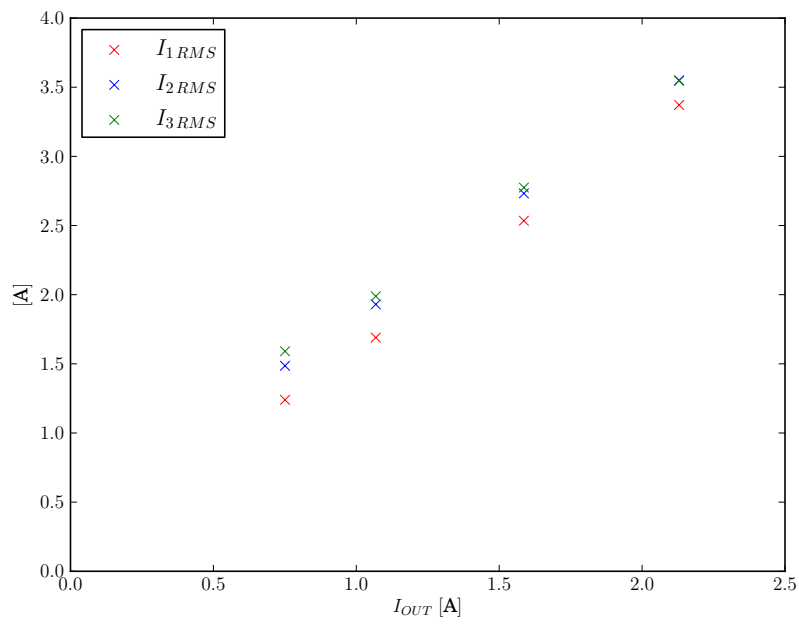


Slika 54: Efektivne vrednosti izlaznih napona transformatora A.

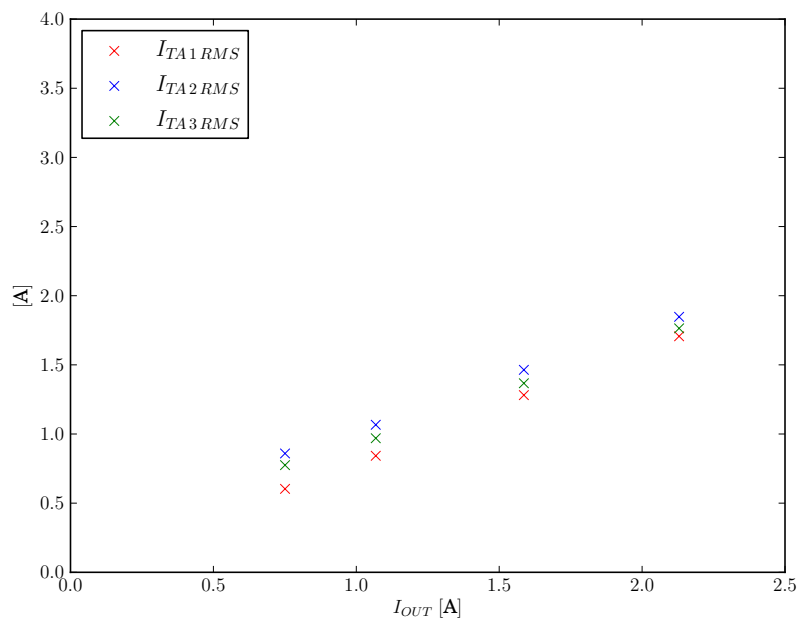


Slika 55: Efektivne vrednosti izlaznih napona transformatora B.

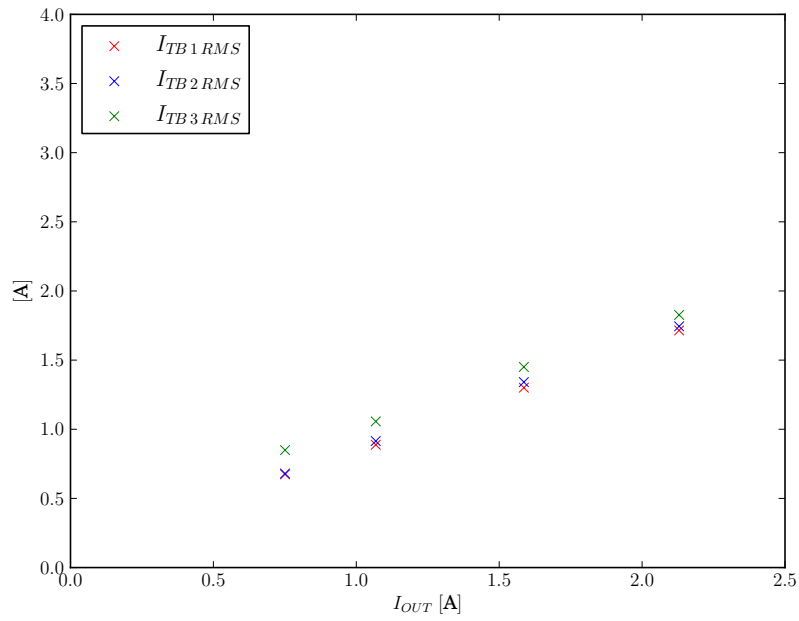
6.2 Efektivne vrednosti struja



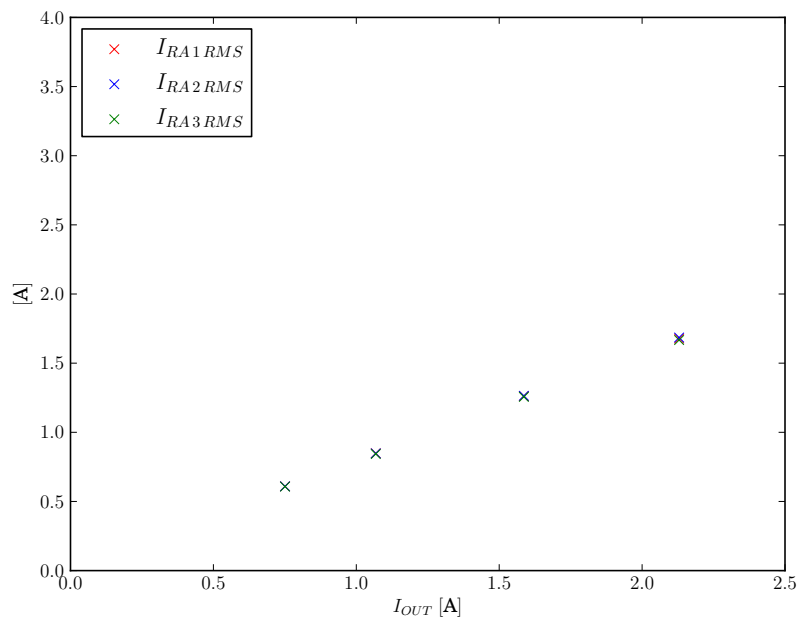
Slika 56: Efektivne vrednosti ulaznih struja.



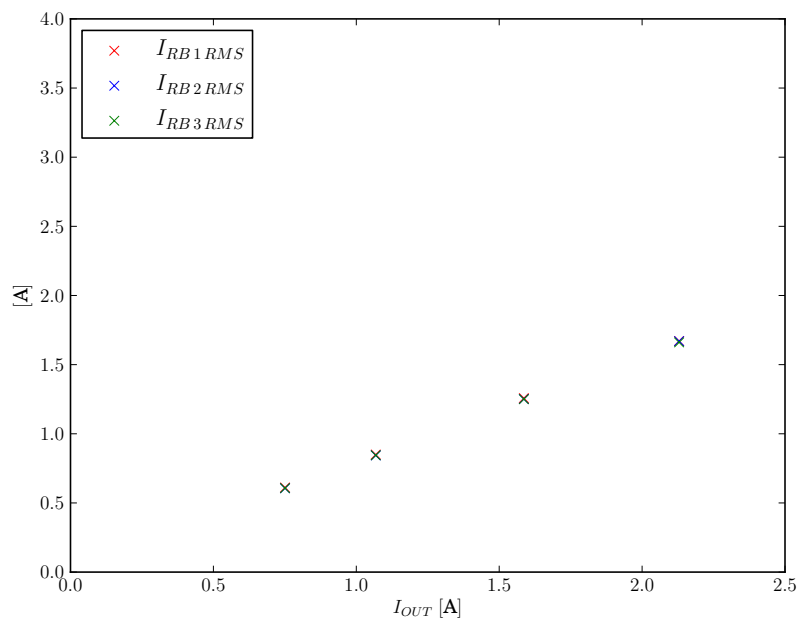
Slika 57: Efektivne vrednosti ulaznih struja transformatora A.



Slika 58: Efektivne vrednosti ulaznih struja transformatora B.

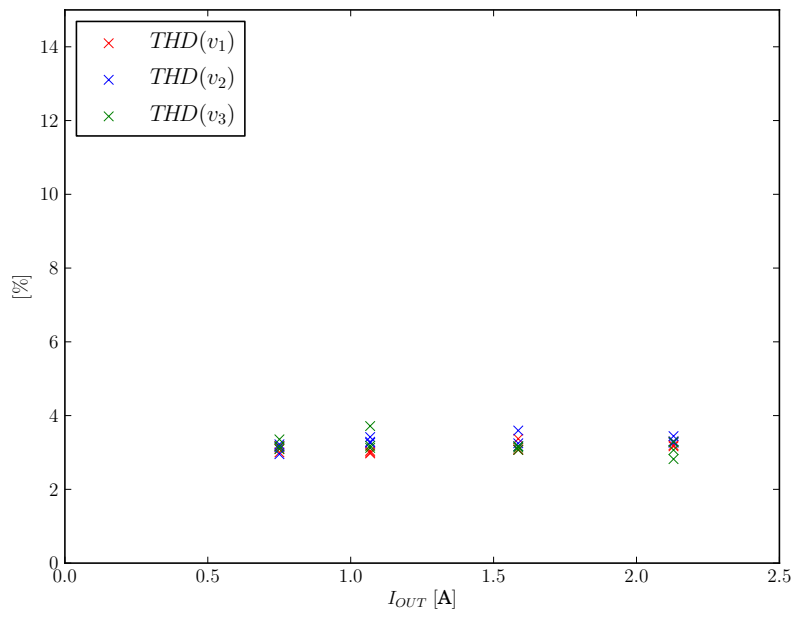


Slika 59: Efektivne vrednosti ulaznih struja ispravljača A.

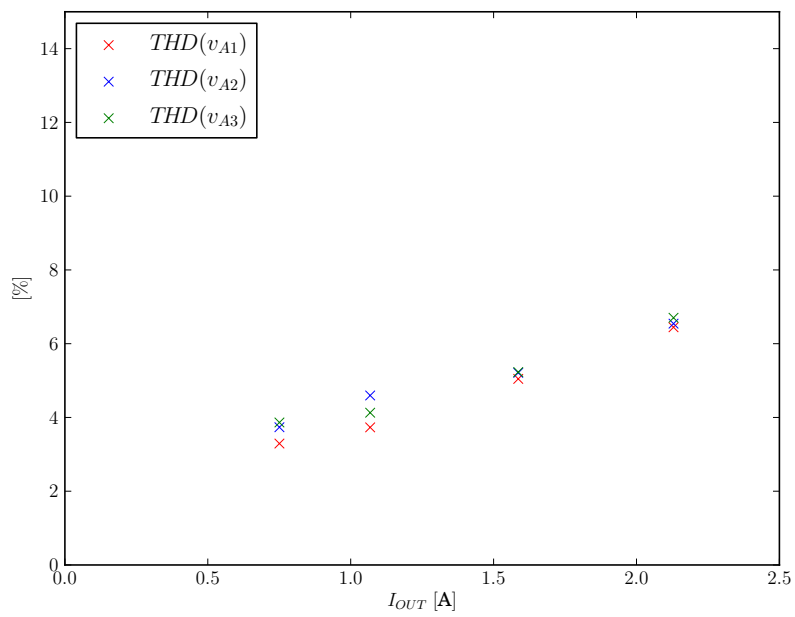


Slika 60: Efektivne vrednosti ulaznih struja ispravljača B.

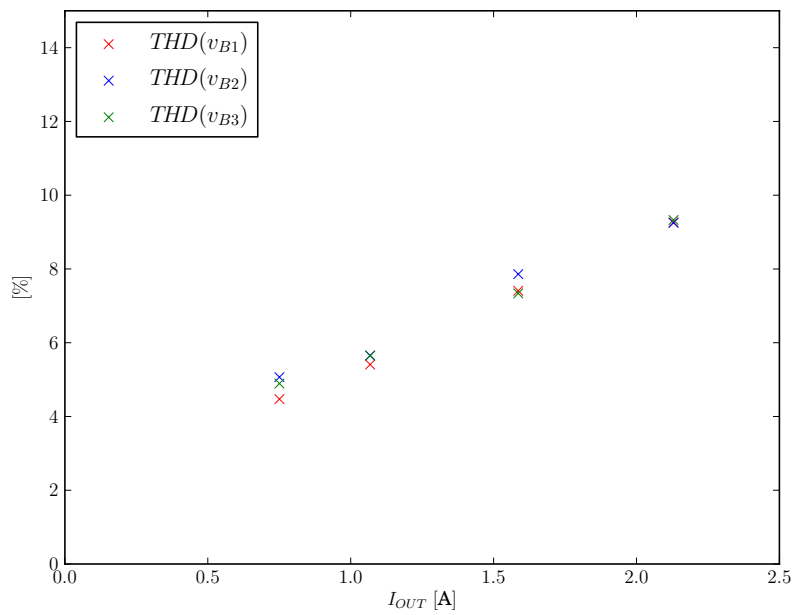
6.3 Izobličenja napona



Slika 61: Izobličenja ulaznih napona.

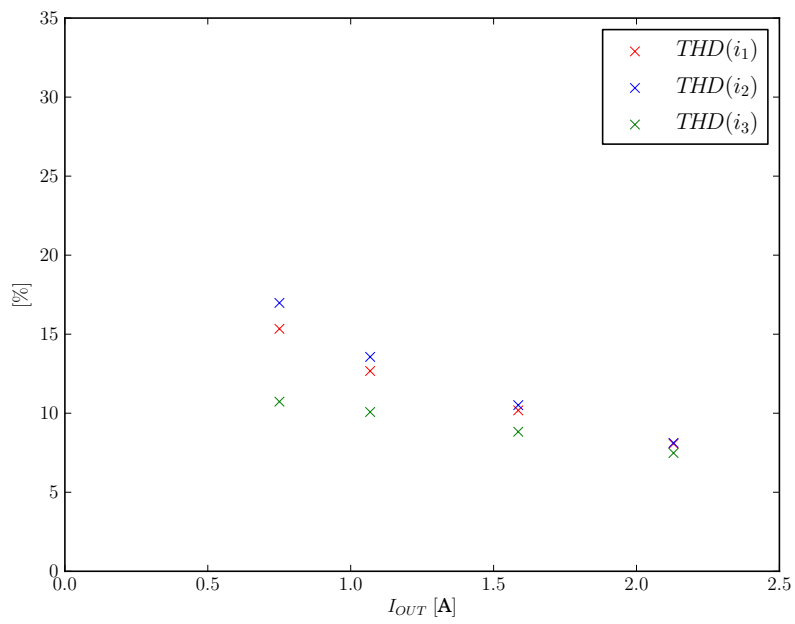


Slika 62: Izobličenja izlaznih napona transformatora A.

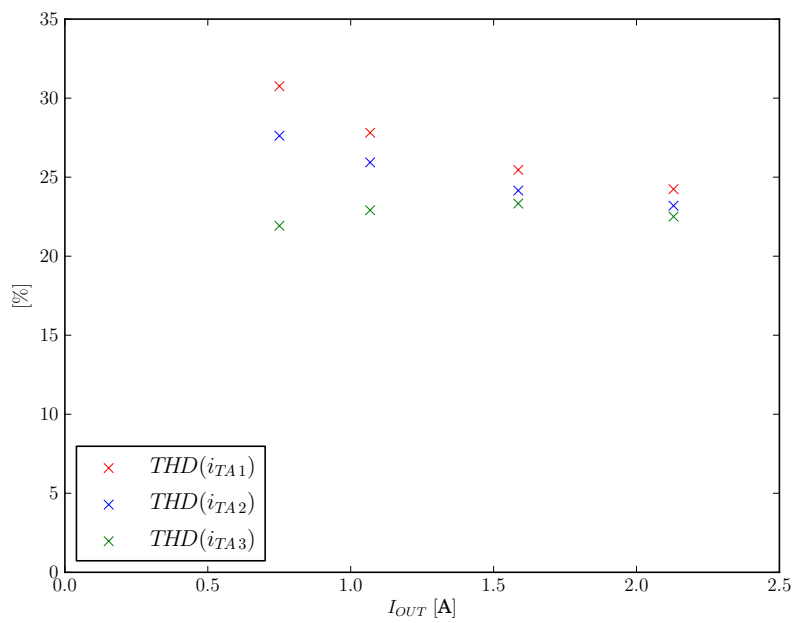


Slika 63: Izobličenja izlaznih napona transformatora B.

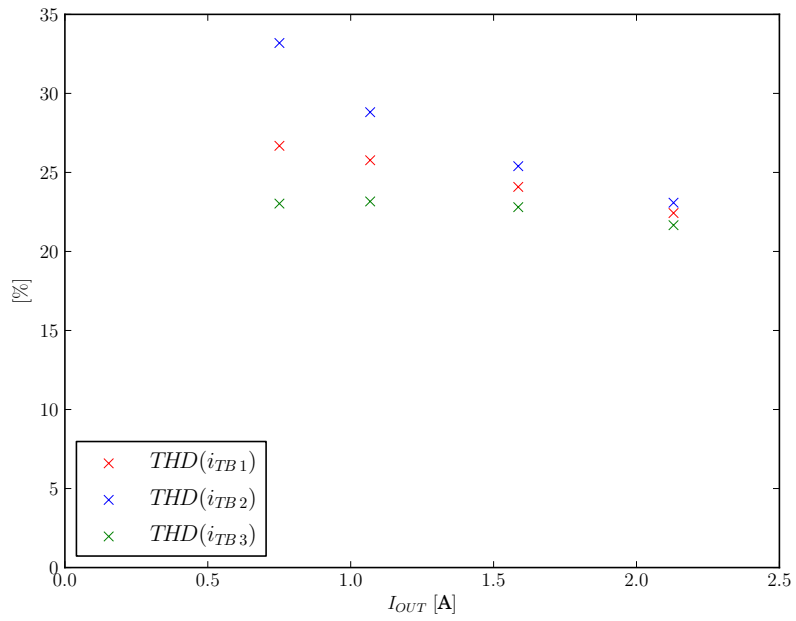
6.4 Izobličenja struja



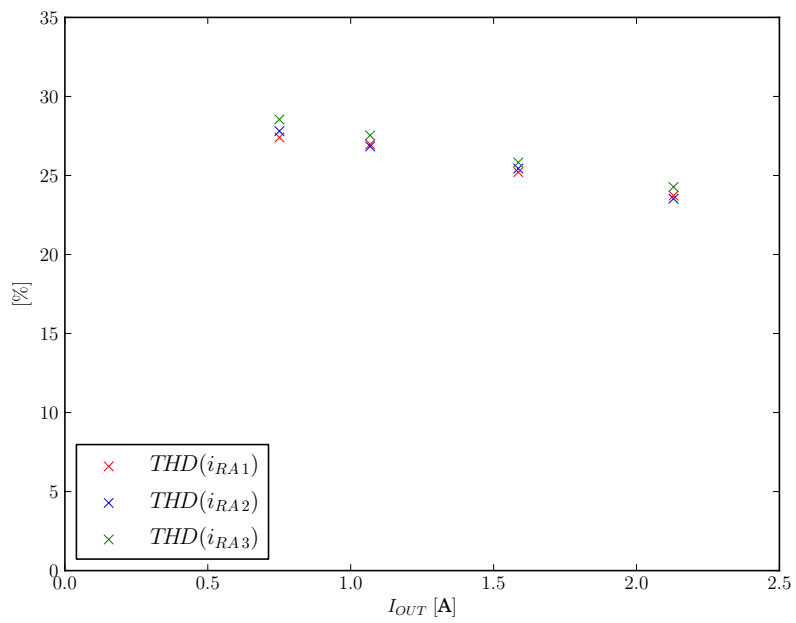
Slika 64: Izobličenja ulaznih struja.



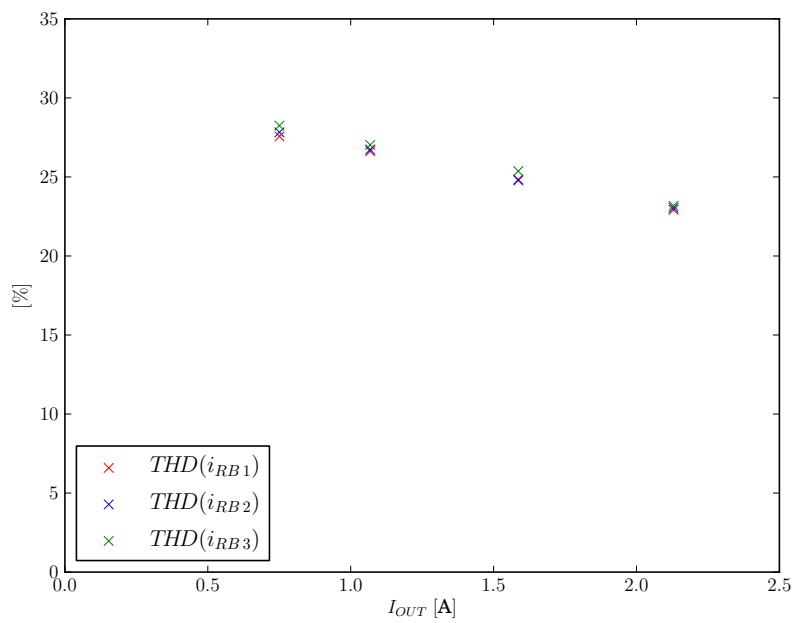
Slika 65: Izobličenja ulaznih struja transformatora A.



Slika 66: Izobličenja ulaznih struja transformatora B.

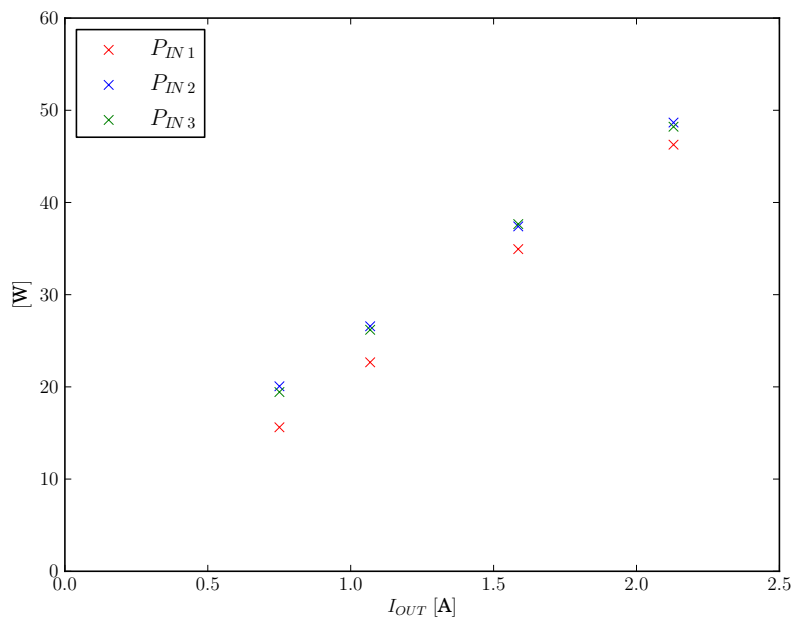


Slika 67: Izobličenja ulaznih struja ispravljača A.

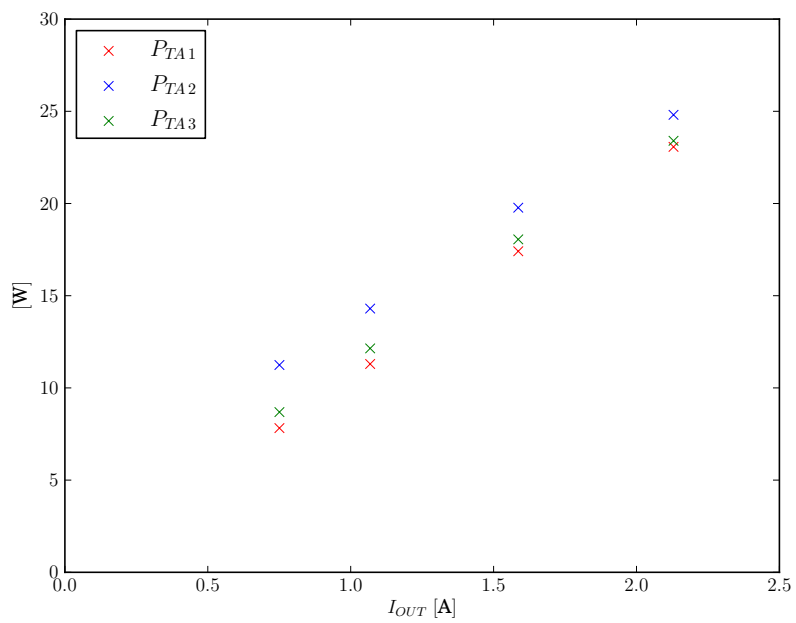


Slika 68: Izobličenja ulaznih struja ispravljača B.

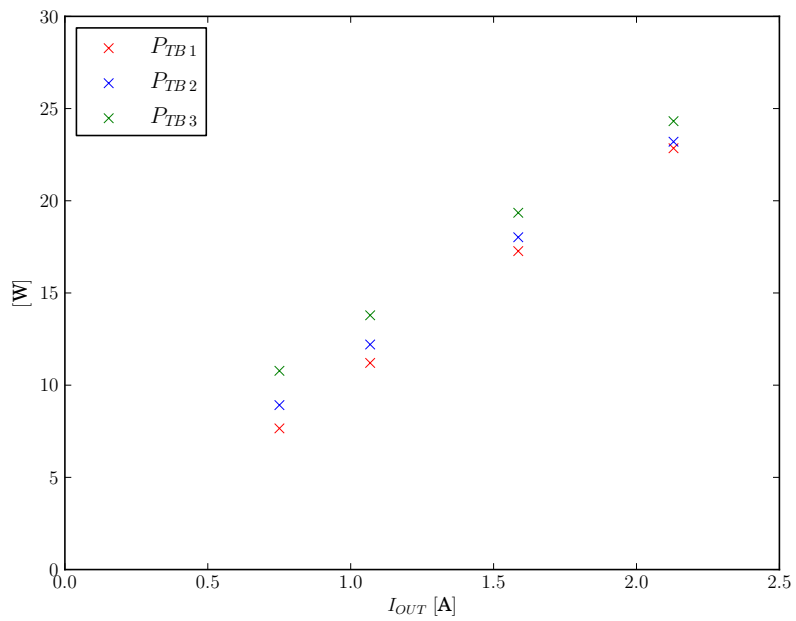
6.5 Aktivne snage



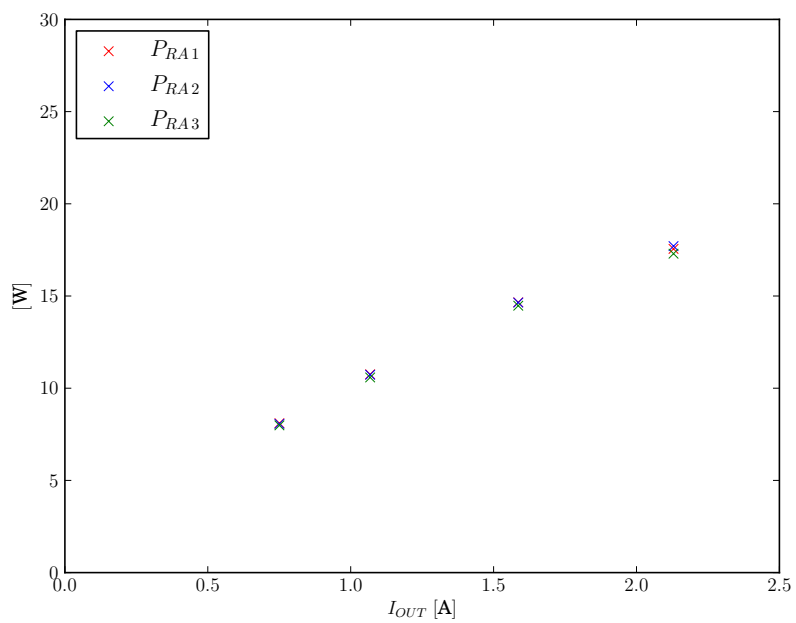
Slika 69: Aktivne snage, ulaz.



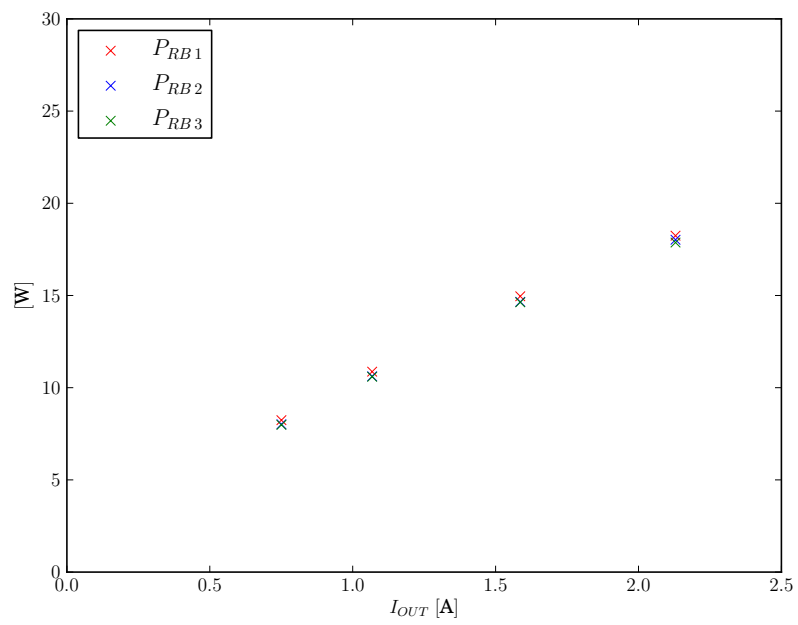
Slika 70: Aktivne snage, ulaz transformatora A.



Slika 71: Aktivne snage, ulaz transformatora B.

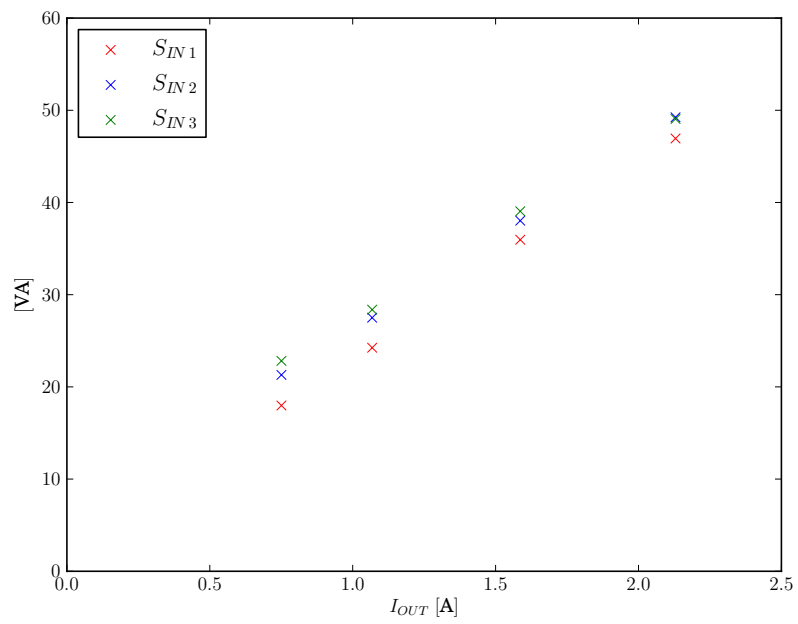


Slika 72: Aktivne snage, ulaz ispravljača A.

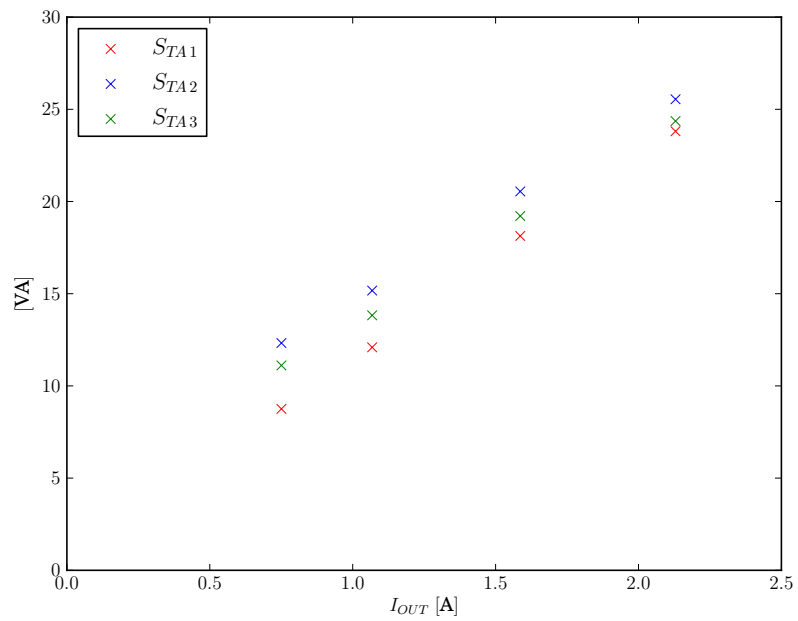


Slika 73: Aktivne snage, ulaz ispravljača B.

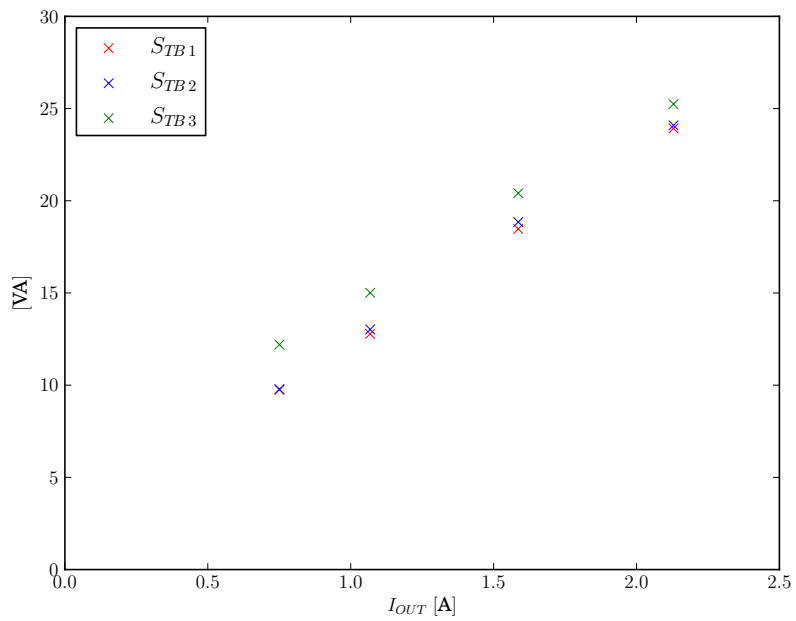
6.6 Prividne snage



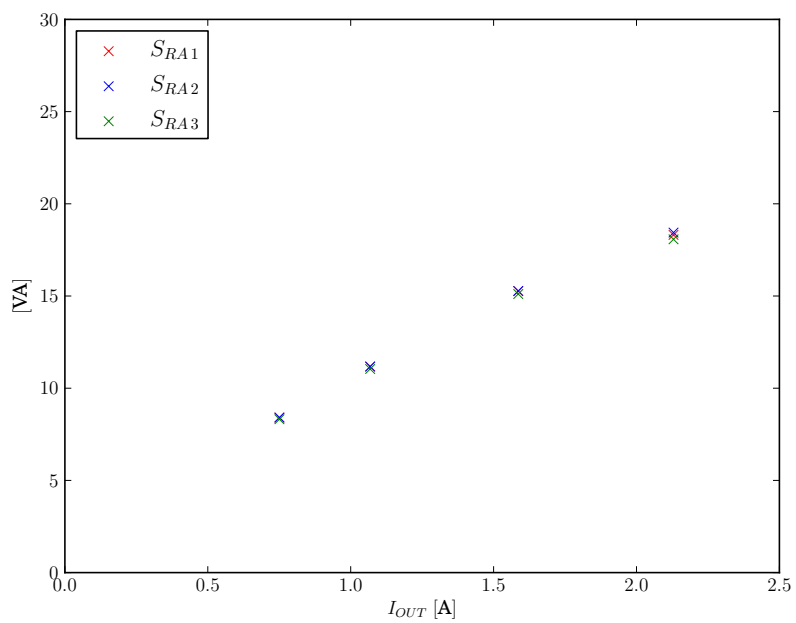
Slika 74: Prividne snage, ulaz.



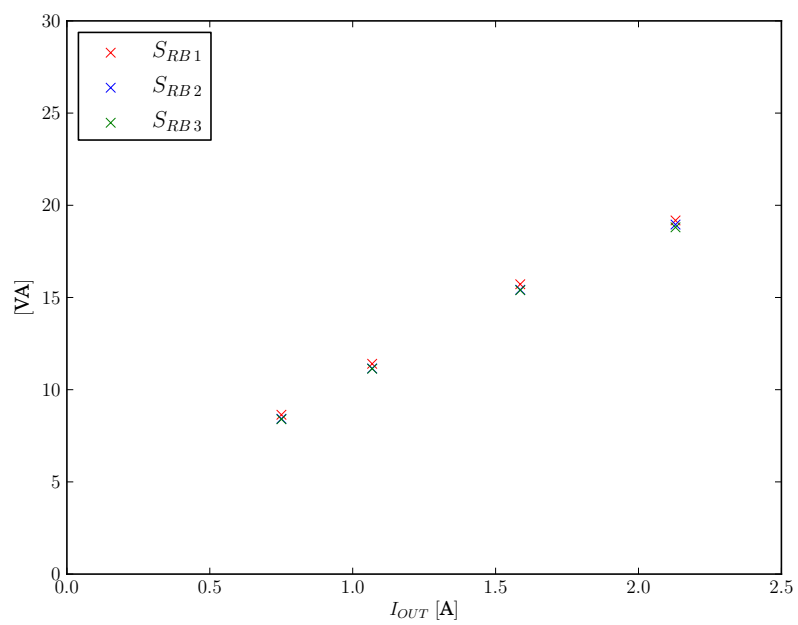
Slika 75: Prividne snage, ulaz transformatora A.



Slika 76: Pravidne snage, ulaz transformatora B.

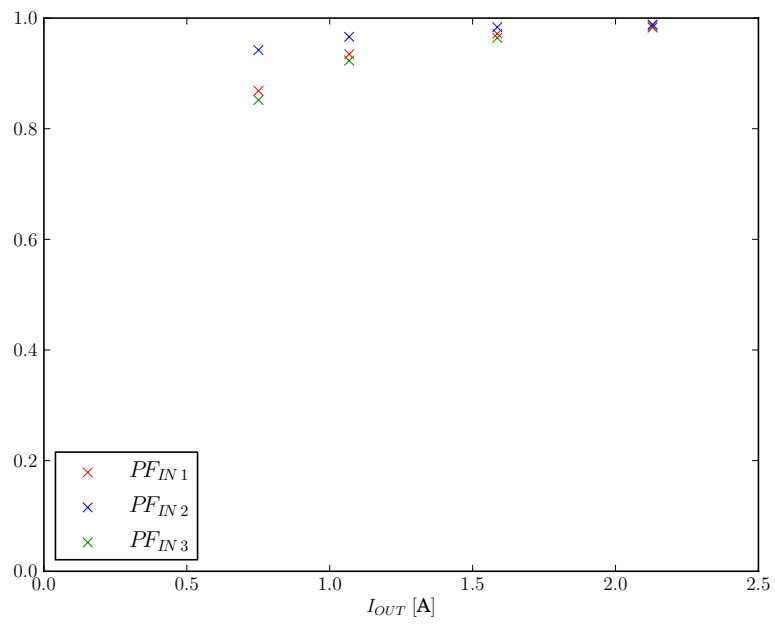


Slika 77: Pravidne snage, ulaz ispravljača A.

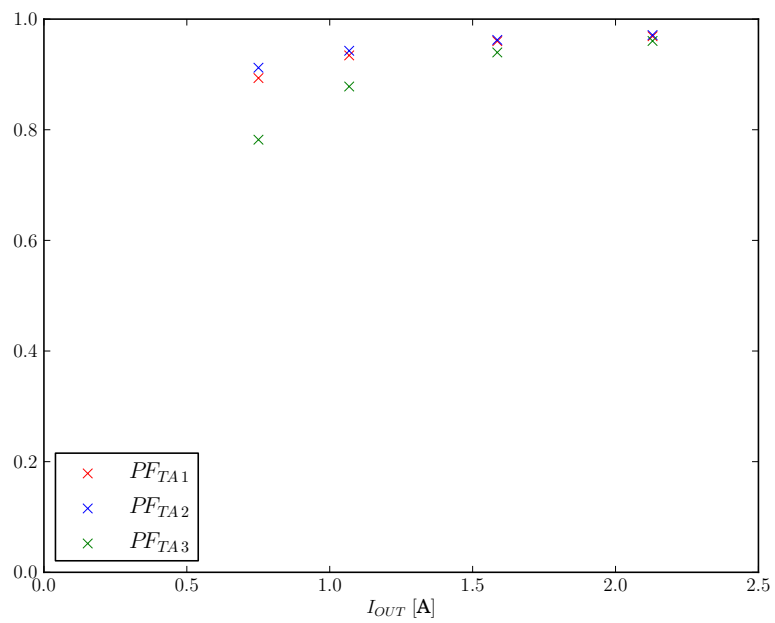


Slika 78: Pravidne snage, ulaz ispravljača B.

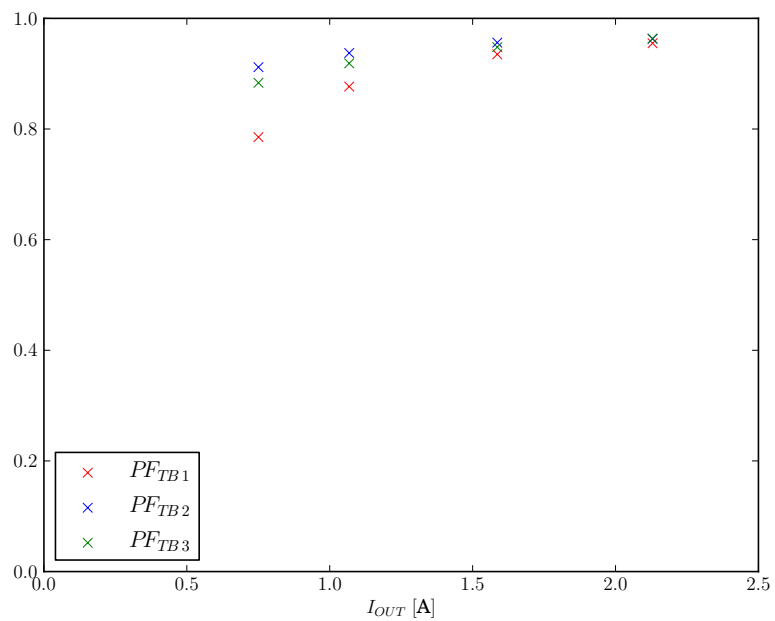
6.7 Faktori snage



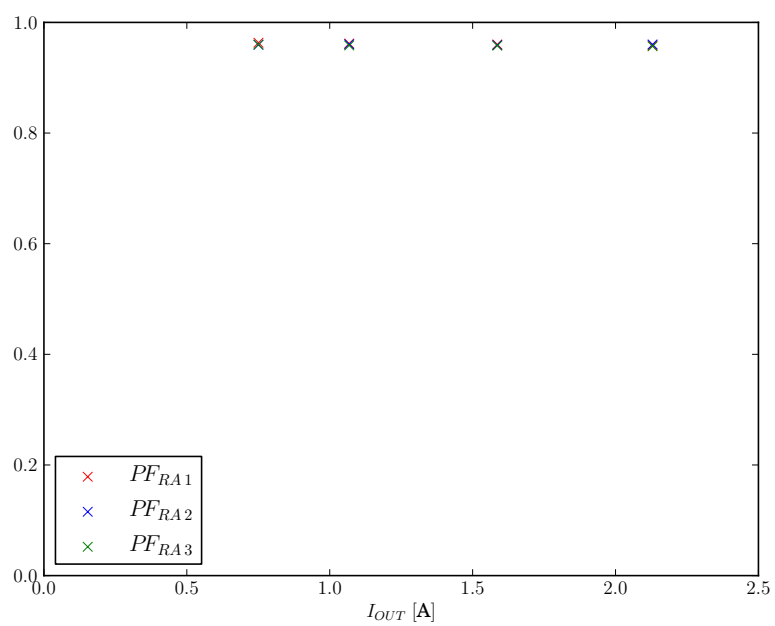
Slika 79: Faktori snage, ulaz.



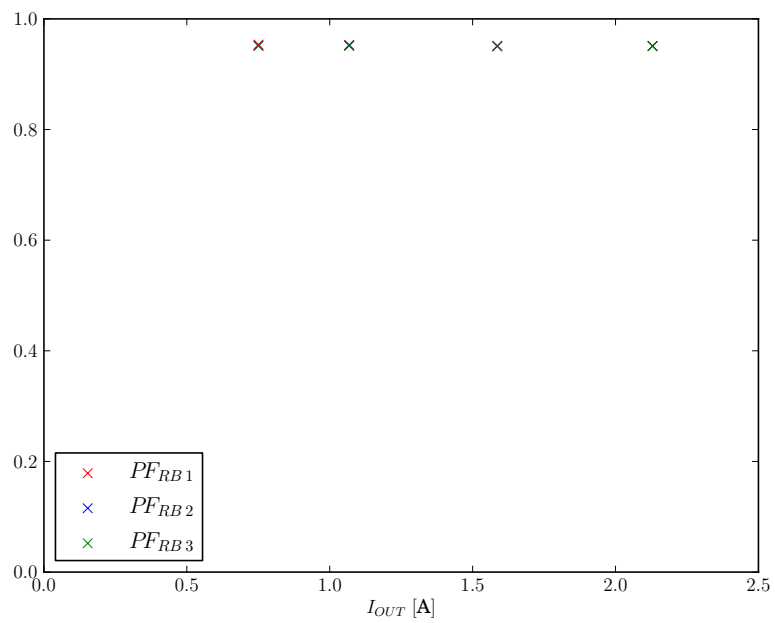
Slika 80: Faktori snage, ulaz transformatora A.



Slika 81: Faktori snage, ulaz transformatora B.

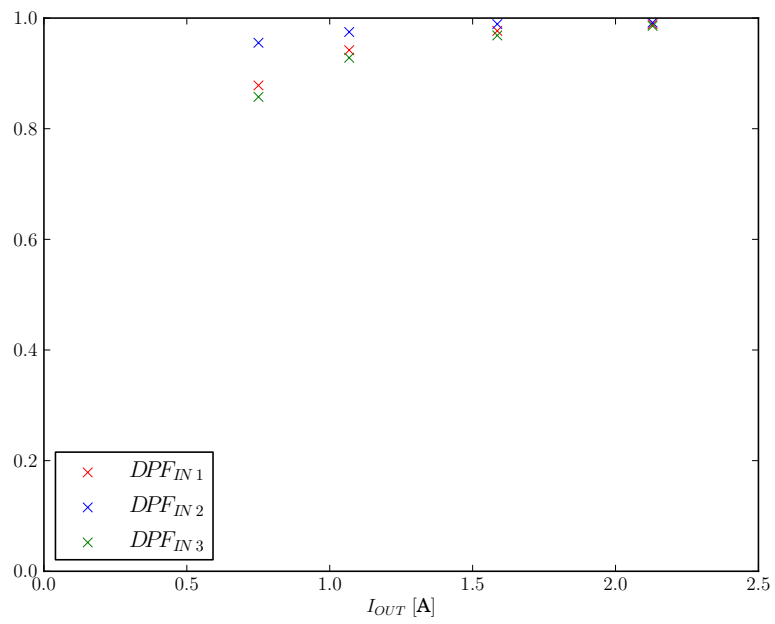


Slika 82: Faktori snage, ulaz ispravljача A.

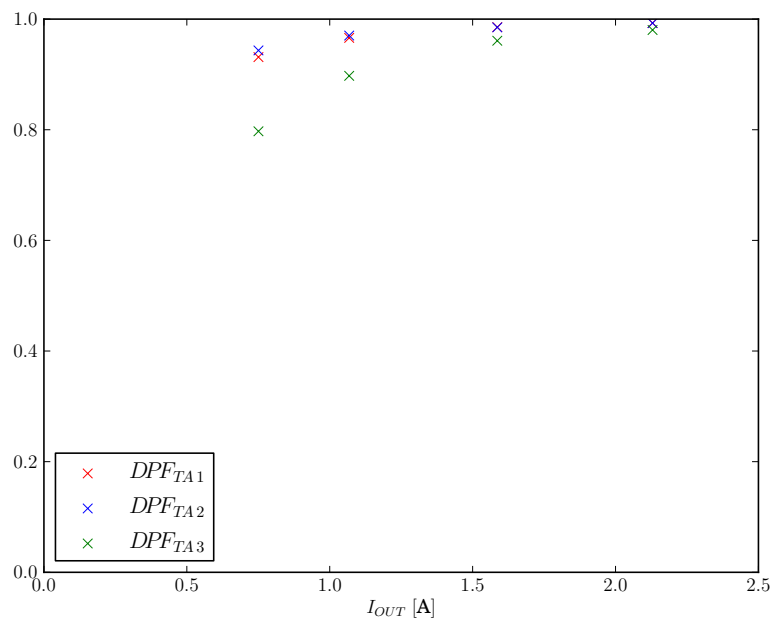


Slika 83: Faktori snage, ulaz ispravljača B.

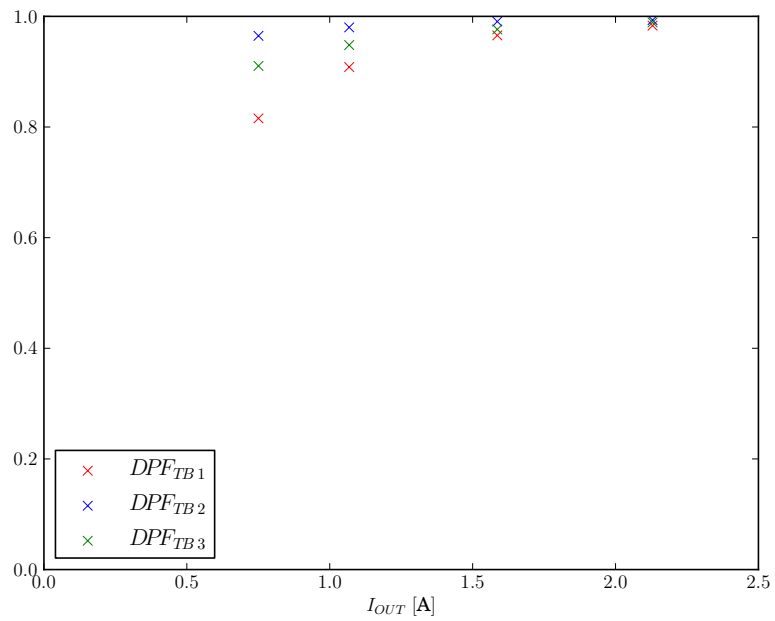
6.8 Displacement Power Factors



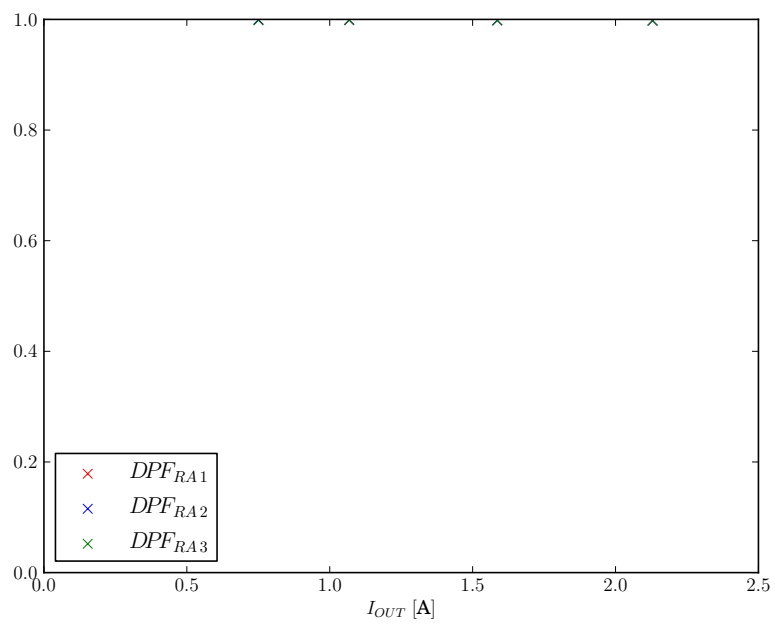
Slika 84: Displacement power factors, ulaz.



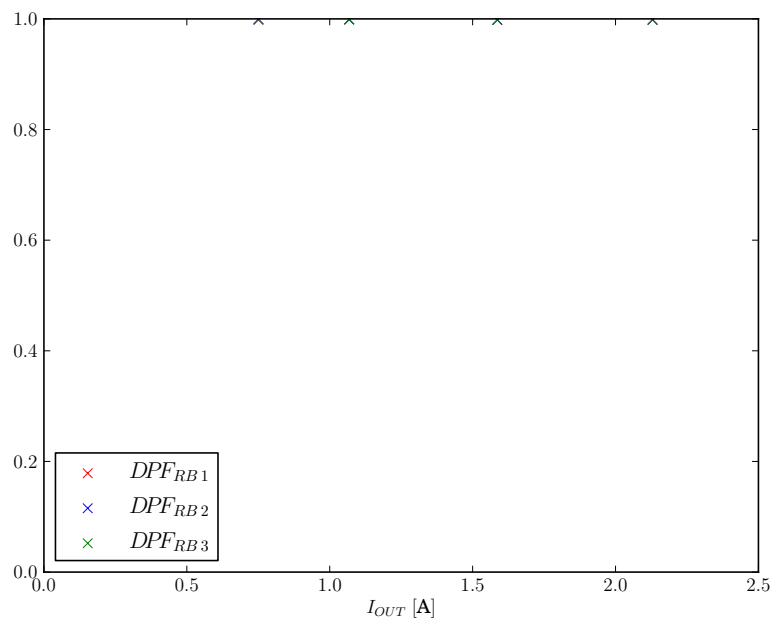
Slika 85: Displacement power factors, ulaz transformatora A.



Slika 86: Displacement power factors, ulaz transformatora B.

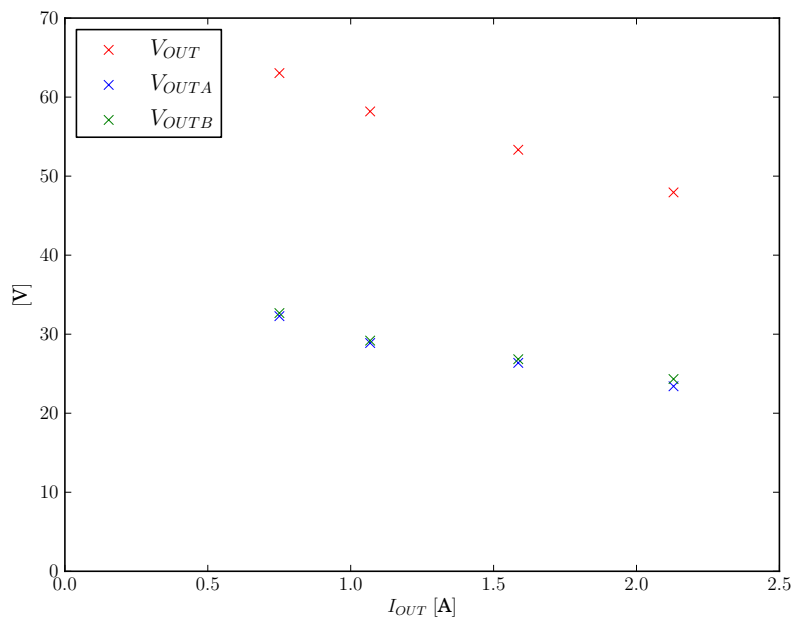


Slika 87: Displacement power factors, ulaz ispravljača A.

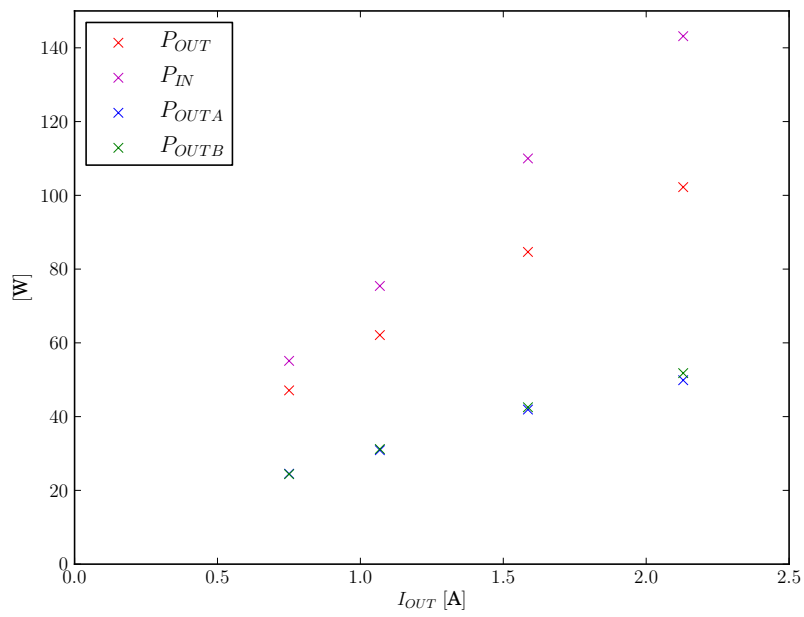


Slika 88: Displacement power factors, ulaz ispravljača B.

6.9 Izlaz ispravljača

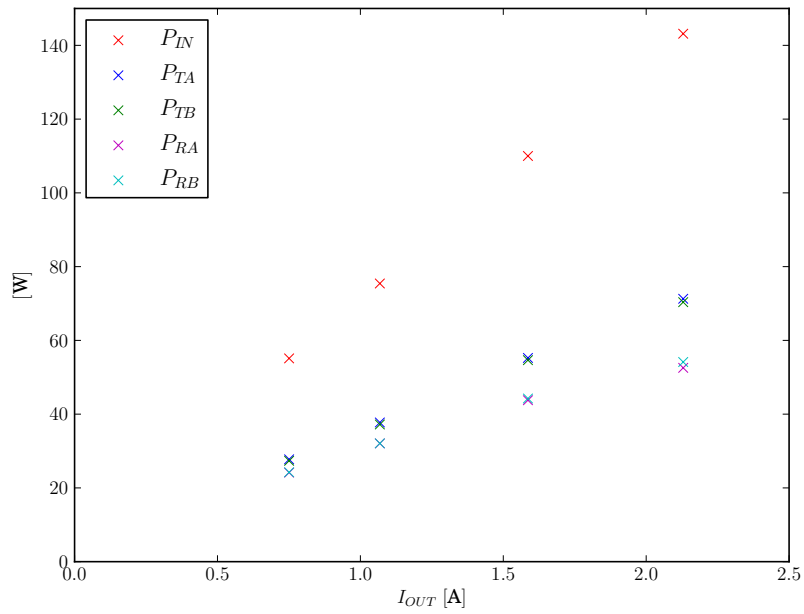


Slika 89: Izlazni naponi.

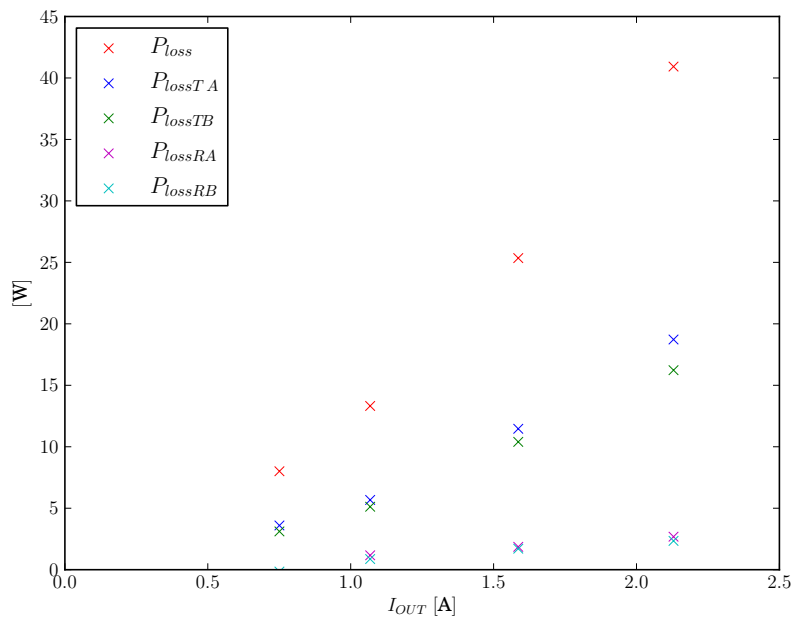


Slika 90: Izlazne snage.

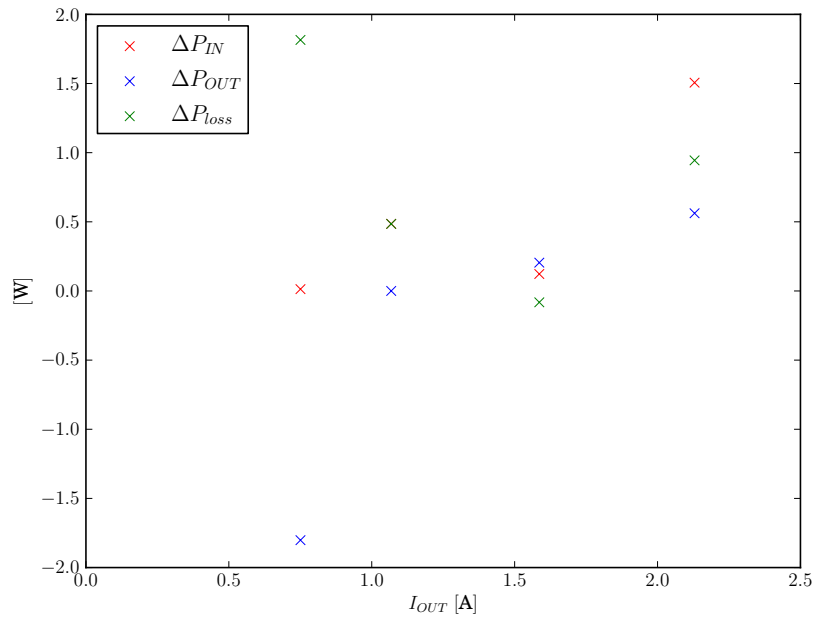
6.10 Rezultati obrade



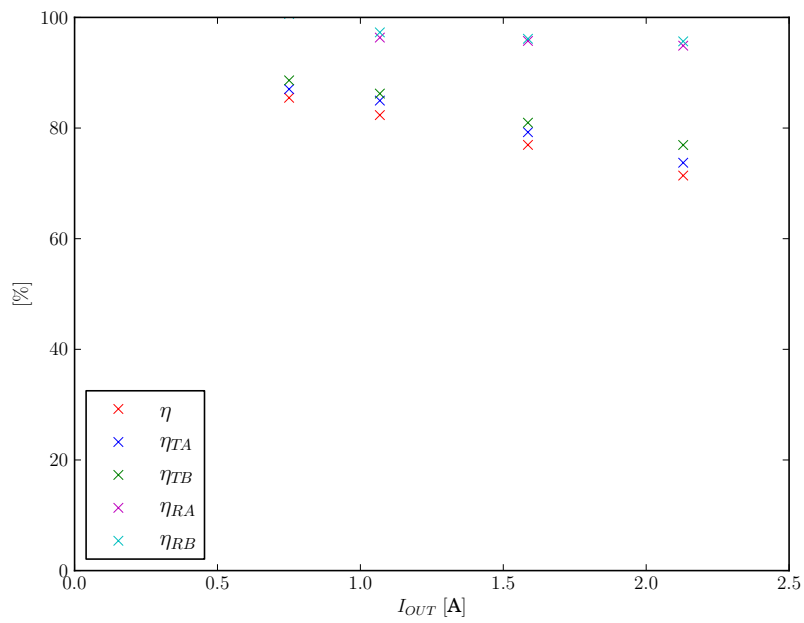
Slika 91: Trofazne snage na ulazima.



Slika 92: Snage gubitaka.



Slika 93: Bilans snage.



Slika 94: Koefficienti korisnog dejstva.

6.11 Tevenenovi ekvivalenti na izlazu

$$E_T = 70.37 \text{ V}$$

$$R_T = 10.65 \Omega$$

$$E_{TA} = 36.24 \text{ V}$$

$$R_{TA} = 6.15 \Omega$$

$$E_{TB} = 36.21 \text{ V}$$

$$R_{TB} = 5.75 \Omega$$